

ЛЕНИНГРАДСКИЙ ГОСУДАРСТВЕННЫЙ
УНИВЕРСИТЕТ

ГЕОЛОГИЧЕСКИЙ ФАКУЛЬТЕТ

ДИАГНОСТИКА
ШЛИХОВЫХ МИНЕРАЛОВ

Методические указания к курсу шлихового анализа

ЛЕНИНГРАД 1991

Утверждено на заседании
кафедры минералогии

Составитель: Г.А.ИЛЬИНСКИЙ

Рецензенты: канд.геол.-мин.наук Л.Н.Копылова,
канд.геол.-мин.наук Л.Я.Крылова

Методические указания по диагностике шлиховых минералов содержат краткую характеристику лабораторной подготовки шлихов, описание распространенных шлиховых минералов, включая их морфологические особенности и важнейшие диагностические свойства, схемы определения минералов и способы количественного анализа шлихов. Описание минералов составлено с учетом многолетнего опыта преподавания курса шлихового анализа на кафедре минералогии ЛГУ и предназначено для студентов съемочно-поисковых и геохимических специальностей при выполнении ими лабораторных заданий. Методические указания могут принести пользу сотрудникам производственных шлиховых лабораторий, студентам и работникам иных специальностей при необходимости самостоятельного сопоставления тяжелых фракций из проб грунтов, почв, речных отложений, продуктов выветривания горных пород, материалов техногенного происхождения.

Ц/К

Подписано в печать с оригинала-макета 13.06.91.
Ф-т 60х90/16. Бум. тип. № 3. Печать офсетная.
Усл.-печ. л. 6, 25. Уч.-изд. л. 5, 15. Тираж 700 экз.
Заказ № 228 . Бесплатно.

РЮ ЛГУ. 199034, Ленинград, Университетская наб., 7/9.

ПМЛ ЛГУ. 199034, Ленинград, наб. Макарова, 6.

Ленинградский ордена Ленина
и ордена Трудового Красного Знамени
государственный университет

ДИАГНОСТИКА ШЛИХОВЫХ МИНЕРАЛОВ

Методические указания к курсу шлихового анализа

Предисловие

Шлиховой анализ, как один из минералогических методов поисков, основан на изучении состава шлиха — концентрата минералов повышенной плотности, получаемого при промывке рыхлых отложений или дробленых пород. Метод шлихового анализа применяется при непосредственных поисках первичных (коренных) и вторичных (россыпных) месторождений полезных ископаемых, при расшифровке геохимических и геофизических аномалий, оценке рудоносности интрузивных комплексов, при решении ряда вопросов петрологического, минералогического, палеогеографического, стратиграфического, геоморфологического плана.

Диагностика шлиховых минералов является важнейшим этапом минералогического анализа шлихов. Важно и выявление индикаторных признаков шлиховых минералов — особенностей их кристалломорфологии, окраски, наличие разных изоморфных примесей, степень окатанности, процессы изменения и т.д. Разнообразие и большая информативность таких особенностей позволяют использовать эти качества минералов для выявления генетического типа первичных источников, оценки уровня эрозионного среза и масштабов оруденения, для корреляции интрузивных комплексов и отдельных магматических тел. Степень сохранности шлиховых минералов и изменение их количественных соотношений дает возможность реконструировать палеогеографические и палеоклиматические обстановки, выявлять области сноса и дальность перемещения шлиховых минералов, уточнять особенности геологического строения питающей провинции и т.п.

В шлихе при промывке пробы в воде концентрируются, как правило, зерна размером от 0,1–0,2 до 1–2 мм, имеющие плотность более 2,8–3,0 г/см³. При промывке удаляются пылевидные частицы и большинство зерен легких порообразующих минералов (кварца, полевых шпатов, слюд, карбонатов и др.). В полученном шлихе должно сохраниться небольшое количество таких минералов, что гарантирует минимальные потери более тяжелых шлиховых минералов. Такой шлих называется

ся "серый" в отличие от "черного", из которого удалены при усиленной промывке и многие минералы с плотностью до $3,5-4,0 \text{ г/см}^3$.

Данные методические указания апробированы в течение ряда лет в ходе лабораторных занятий со студентами и работниками производственных лабораторий, используются они и в ряде других вузов. Здесь рассмотрены лишь те разделы курса шлихового анализа, успешное освоение которых возможно только в ходе учебных и самостоятельных занятий. Источники шлиховых минералов, возникновение ореолов рассеяния, формирование шлиховых минеральных ассоциаций, шлиховое опробование и другие вопросы здесь не рассматриваются. Дополнительно можно использовать методические указания по интерпретации результатов шлихового опробования, издание ЛГУ, 1986 г.

ЛАБОРАТОРНАЯ ОБРАБОТКА ШЛИХОВЫХ ПРОБ

Собранные в период полевых работ "серые" шлихи поступают в шлиховую лабораторию для камеральной обработки. Вместе с коллекцией шлихов передается журнал шлихового опробования, в котором занесены под соответствующим номером данные о точном месте взятия шлиховой пробы, ее весе или объеме, литологических особенностях пробы, дата взятия, фамилия отборщика проб. В бумажный капсиль, где размещен шлих, обязательно вкладывается этикетка с теми же данными. К коллекции шлихов и журналу опробования прилагается карта мест взятия проб, желательна со схемой геологического строения.

Целью лабораторной обработки является подготовка шлиха для качественного и количественного минералогического анализа. Из шлиха необходимо удалить оставшиеся зерна легких минералов, разделить его по размеру зерен, выделить фракции по магнитным свойствам, взвесить все полученные фракции с целью оценки количественных соотношений минералов. Чем на большее число фракций будет разделен шлих по различиям в свойствах минералов, тем проще может оказаться минеральный состав каждой из них, что облегчает диагностику и оценку количества минерала, хотя и увеличивает объем подготовительных работ. Поэтому чаще для изучения шлиха получают 1-2 гранулометрические фракции, разделенные, в свою очередь, на 3-5 фракций по магнитной восприимчивости. Реже при разделении в тяжелых жидкостях получают 2-3 фракции, различающиеся по плотности.

В общем виде процесс камеральной подготовки шлиха включает

ряд операций, часть из которых может быть опущена в зависимости от конкретной ситуации. Примерная последовательность работ: 1) домывка шлиха; 2) рассев на фракции; 3) взвешивание фракций; 4) отбор средней пробы от большого шлиха; 5) взвешивание средней пробы; 6) фракционирование в тяжелых жидкостях; 7) магнитная сепарация; 8) электромагнитная сепарация; 9) взвешивание полученных фракций. Равномернозернистый шлик нет необходимости разделять на ситах; от небольшого шлиха не берут среднюю пробу; только при диагностике минералов не все фракции взвешивают и т.д.

При большом содержании магнетита (или железной стружки в искусственных шлихах - протопочках) удобнее сначала удалить магнитную фракцию, а остаток разделять в жидкости. При высокой концентрации породообразующих силикатов (пироксенов, амфиболов, гранатов и др.) рационально сначала проводить и электромагнитную сепарацию, а затем только из немагнитной фракции удалять легкие минералы. Естественно, что степень загрязненности фракций легкими минералами или их сростками с тяжелыми будет различной в зависимости от очередности фракционирования.

Подготовка шлиха к фракционированию

Домывка шлиха или какой-то фракции проводится при наличии примеси легких минералов до 30-50% объема. Ее осуществляют обычно в небольшой фарфоровой чашке, ссывая легкие минералы на дно более крупного сосуда. Чашку с помещенным в нее шлихом погружают в воду и неоднократно встряхивают. Зерна тяжелых минералов проседают вниз, а верхний слой поступательно-возвратным движением наклоненной чашки ссывают в крупный сосуд. При домывке можно заметно уменьшить объем "серого" шлиха и облегчить дальнейшую обработку. Концентрат аккуратно подсушивают и взвешивают. Реже домывку проводят в разбавленных тяжелых жидкостях (отходах фракционирования), тогда при достаточно аккуратной работе можно почти полностью избавиться от легких минералов. При больших объемах шлихов домывку проводят на концентрационных столах, винтовых сепараторах, гидрокласификаторах (Бергер, Ефимов, 1963; Берлинский, 1975; Осовецкий, 1985).

В процессе промывки шлиховой пробы в полевых условиях теряются зерна тяжелых минералов диаметром менее 0,10-0,05 мм, а очень крупные (более 2-3 мм) затрудняют обработку шлиха. Неоднородный по

размерам зерен шлих разделяют на сите с диаметром отверстий в 1 мм; для дальнейшей обработки, как правило, используется фракция менее 1 мм. Разделение на узкие гранулометрические фракции проводится при необходимости точной оценки содержания некоторых минералов, если их зерна разной величины. В зависимости от особенностей распределения минералов по размерным фракциям и необходимой точности количественного анализа получают фракции 1,0-0,315 и 0,315 - 0,1 мм или 1,0-0,5; 0,5-0,35; 0,35-0,125 и менее 0,125 мм. Некоторые наборы сит позволяют получать фракции 1,25-0,40; 0,40-0,12 и менее 0,12 мм; все фракции взвешиваются.

Если весь шлих или отдельные фракции сохраняют большой объем, то по ним отбирают средние пробы суммарным весом от 4-5 до 15-20 г. Средняя проба должна быть больше с увеличением среднего размера минеральных зерен. Отбор такой пробы проводят квартованием или другим способом (Метод. указания, 1983; Захарова, 1989), следя за соблюдением ее представительности. Дубликат сохраняют до завершения исследований.

Фракционирование в тяжелых жидкостях

Для удаления оставшихся после домывки легких зерен весь шлих или среднюю пробу разделяют в тяжелой жидкости. Так как большинство легких минералов накапливается в немагнитной фракции, то можно разделять лишь ее. В практике шлихового анализа применяют жидкости с плотностью 2,9-3,0 г/см³; жидкости большей плотности разбавляют растворителем до нужной концентрации. Проверить плотность подготовленной жидкости можно взвешиванием известного объема ее, взвешиванием в жидкости специального груза и т.д. (Ильинский, 1975). Используют также зерна индикаторов с плотностью 2,85-3,0 (араконит, ангидрит, пренит, данбурит и др.).

Тяжелые жидкости должны удовлетворять ряду условий: они должны быть стойкими, легкоподвижными, по возможности менее токсичными, не слишком дорогостоящими, разбавляться доступными растворителями. В разной степени этим условиям отвечает ряд жидкостей. Галоидозамещенные углеводороды (бромформ, тетрабромэтан, иодистый бензол) относительно летучи, легкоподвижны, в равной степени токсичны, разбавляются органическими растворителями. Плотность первых двух около 2,9 г/см³; иодистый метилен разбавляют бензолом, толуолом, ксилолом,

ацетоном до нужных значений. Бромформ растворяется в этиловом спирте, бензоле, толуоле. Такие тяжелые жидкости на свету разлагаются, работа с ними возможна лишь при принудительной вентиляции, но стоимость их относительно невысока.

Водные растворы солей тяжелых металлов (жидкости Туле, Рорбаха, М-44 и др.) разбавляются и отмываются раствором иодида калия, нелетучи, более вязкие, в 4-5 раз дороже органических. Работа с ними допустима без принудительной вентиляции, но все соли тяжелых металлов (иодиды ртути, бария, цинка, кадмия) ядовиты и следует предохраняться от попадания такой жидкости на кожу, слизистые оболочки или внутрь организма. Жидкости Туле (плотность до $3,2 \text{ г/см}^3$) и Рорбаха (3,6) разбавляют до нужных значений. Жидкость Клеричи, органическое соединение таллия, разбавляется от $4,2 \text{ г/см}^3$ до нужной плотности; она более дорогостоящая, ядовита, действует на кожу.

Разделение шлиха в тяжелой жидкости проводится в фарфоровых чашечках, низких стаканчиках или специальных делительных воронках. В чашечку наливается жидкость, а затем высыпается проба. Легкие минералы всплывают, тяжелые оседают вниз. Скорость оседания зависит от вязкости жидкости, разности плотностей, от массы зерен. При разности плотностей более $0,3 \text{ г/см}^3$ разделение идет в течение 3-5 минут; мелкозернистая проба отстаивается дольше. Для высвобождения тяжелых зерен, всплывших в массу легких, пробу следует переменять стеклянной палочкой. После разделения легкую фракцию сливают на сухой фильтр, края чашечки очищают бумагой от оставшихся зерен, повторно наливают тяжелую жидкость и удаляют остатки легкой фракции. Тяжелую фракцию переводят на другой фильтр, отфильтрованную жидкость снова используют для разделения. Каждую тяжелую фракцию, а периодически и легкую, промывают разбавителем на фильтре или в чашечке и подсушивают.

При использовании делительных воронок следует учитывать возможность задержки зерен предыдущей пробы на стенках, что вызывает загрязнение другой пробы, хотя процесс разделения идет быстрее. Удобнее воронки, имеющие резиновую трубку с зажимом, так как стеклянный кран часто засоряется.

При разделении шлихов накапливается большое количество промывных растворов - смеси тяжелой жидкости и растворителя, имеющей пониженную плотность. Водные растворы регенерируют, выпаривая воду

до получения нужной плотности. Смесь бромоформа с этиловым спиртом разбавляют трехкратным количеством воды. Тяжелая жидкость образуется в этой смеси эмульсию, затем накапливается внизу и отделяется в делительной воронке. Иодистый метилен регенерируют фракционной перегонкой или добавляют концентрированную жидкость.

Магнитная и электромагнитная сепарация

Разделение минералов в магнитном поле связано с взаимодействием внешнего поля с индуцированным в зернах минералов собственным магнитным полем. Магнитная индукция B в общем случае зависит от магнитной проницаемости μ и напряженности магнитного поля: $B = \mu \cdot H$. Интенсивность намагничивания J связана с магнитной восприимчивостью χ : $J = \chi \cdot H$.

Магнитная проницаемость и восприимчивость взаимосвязаны; для вакуума приняты $\mu = 1$ и $\chi = 0$, это безразмерные величины. Магнитная восприимчивость может быть отнесена к единице объема или массы; отношение удельной магнитной восприимчивости к плотности вещества дает относительную удельную восприимчивость, которая приобретает размерность $\text{см}^3/\text{г}$ (CGS) или $\text{м}^3/\text{кг}$ (СИ).

Магнитная восприимчивость может быть определена как степень ориентации результирующих магнитных моментов атомов, входящих в состав минерала, под влиянием внешнего поля. Такой результирующий момент определяется в основном наличием в атоме или ионе неспаренных электронов, а также прецессией электронных орбиталей и магнитными моментами ядер атомов. За счет прецессии орбиталей индуцируется магнитный момент, противоположный направлению внешнего поля (диамагнитный эффект, свойственный всем веществам). Зерна диамагнитных минералов (с отрицательным значением χ) вследствие этого эффекта выталкиваются из магнитного поля. Главной причиной увеличения магнитной восприимчивости до положительных значений является наличие холостых электронов, что определяется строением электронных оболочек и типом химической связи. Магнетоторами чаще являются d -элементы (хром, железо, марганец, никель, кобальт), реже - f -элементы (лантаноиды и актиноиды).

Вхождение в состав минерала магнетоторов (они обычно являются и хромоторами) приводит к появлению парамагнитного эффекта. Под влиянием внешнего магнитного поля в парамагнетиках происходит переориентация результирующих магнитных моментов атомов (ионов) и

зерна минералов втягиваются в магнитное поле. Сила взаимодействия зависит от напряжения поля, массы зерен и их магнитной восприимчивости. Эта сила превышает диамагнитный эффект; удельная магнитная восприимчивость парамагнетиков варьирует от $+0,1 \cdot 10^{-6}$ до $+150 - 300 \cdot 10^{-6}$ единиц СГС (или 10^{-9} СИ).

К парамагнитным минералам относятся многие породообразующие силикаты (оливин, пироксены, амфиболы, гранаты), оксиды железа и т.д. Их магнитная восприимчивость пропорциональна концентрации магнетитов. Ферромагнитные минералы отличаются более высокими значениями магнитной восприимчивости (свыше $300 \cdot 10^{-6}$). Упорядоченность магнитных моментов у ферромагнетиков происходит спонтанно в результате взаимодействия магнитных моментов атомов под влиянием слабого земного магнитного поля. В табл. I приведены значения удельной магнитной восприимчивости ряда шлиховых минералов (Бергер, Ефимов, 1963; Захарова, 1989).

В практике шлихового анализа принято выделять 3 фракции по магнитной восприимчивости - магнитную, электромагнитную и немагнитную, реже выделяют отличающиеся по составу электромагнитные фракции. Достичь четкого разделения минералов по магнитным свойствам, как правило, не удастся из-за переменного содержания магнетитов, наличия сростаний и включений, анизотропии свойств, различий в размерах зерен. В частности, пироксены, амфиболы, гранаты, эпидот, турмалины из-за разной железистости попадают в разные фракции. Наличие мельчайших включений магнетита может переместить минерал в более высокую по магнитности фракцию. Неполные псевдоморфозы (лимонит по пириту, лейкоксен по ильмениту, гематит по магнетиту) в зависимости от степени замещения также распределяются по разным фракциям. В неравномернозернистом шлихе мелкие зерна парамагнетиков остаются в немагнитной (диамагнитной) фракции из-за большого расстояния до полюсов магнита при сепарации.

Сначала отделяют ферромагнитные минералы (магнитную фракцию) с помощью обычных постоянных магнитов или специальных магнитов типа РМЧ, С-5, МРМ-1, МРК и др. Шлих или среднюю пробу тонким слоем рассыпают на бумаге или предметном стекле и, проводя над ним или по нему магнитом, защищенным бумагой или пленкой, переносят притянувшиеся зерна на другой лист. При удалении магнита зерна легко отстают от чехла; без него работать не следует. Магнитную фракцию лучше перечистить 2-3 раза и убрать в отдельный пакет.

Удельная магнитная восприимчивость шлиховых минералов

Минералы	$\chi \cdot 10^{-6}$	Минералы	$\chi \cdot 10^{-6}$
Ферропиннелиды	800-150000	Сидерит	20 - 125
Пирротин	230-675	Биотит	9 - 116
Ильменит	23-700	Глауконит	30 - 70
Хромпиннелиды	20-125	Ортит	24 - 50
Вольфрамит	30-130	Монацит	10 - 30
Гематит	14-630	Титанит (сфен)	10 - 22
Манганит	50 - 70	Турмалин	0,2- 97
Пирролизит	25-32	Оливины	0,1- 40
Псиломелан	13-65	Рутил	0,2- 19
Гетит	21-42	Анастаз	0,2- 0,4
Лимониты	10-125	Касситерит	-0,5-+10
Диопсид-геденбергит	2-100	Шпинель	-0,6-+15
Авгит	12-120	Пирохлор	0,6- 4
Щелочные пироксены	40- 80	Кианит	0,1-0,9
Актинолит	0,1-40	Барит	-1,0 - 0
Роговые обманки	10- 130	Тселит	0 - 1,0
Щелочные амфиболы	25- 90	Пирит	-0,2- 8
Пироп-альмандин	1-135	Марказит	0 - 4
Гроссуляр-андрадит	1-135	Халькопирит	0,4-12
Клиноцоизит-эпидот	1- 75	Киноварь	-0,2- 2
Ставролит	17-21	Галенит	-0,4- 3
Сподумен	1-8	Сфалерит	-5 - +65
Малахит	1-8	Корунд	-0,3-10
Уранинит	1-9	Топаз	-0,7-+1
Колумбит	25-45	Силлиманит	-0,2-+0,2
Циркон	-9,0-+10	Олюрит	-0,6-+10
Родохрозит	80-140	Апатит	-6,0-+10

Парамагнитные минералы взаимодействуют с магнитным полем лишь при высокой его напряженности. Такое поле получают с помощью электромагнитов различных конструкций (УЭМ-1, СИМ-1, СМД), а также специальных постоянных магнитов типа С-5 или МРМ-1. Четыре стороны колодки магнита С-5 позволяют отделить ферромагнитные минералы и 3 группы парамагнитных минералов (электромагнитные фракции с разной магнитной восприимчивостью), на стекле ор-

таются диамагнитные минералы. В течение часа магнитом С-5 можно разделить серию проб общей массой от 10 до 100-120 г. Магнит типа МРМ-I используется и для разделения минералов, и для приближенной оценки магнитной восприимчивости отдельных зерен. В стационарных шлиховых лабораториях использование электромагнитов более удобно, особенно при разделении крупных проб или больших серий шлихов.

Описание стационарных электромагнитов имеется в литературе (Бергер, Ефимов, 1963; Берлинский, 1975, Методич. указания, 1983; Захарова, 1989 и др.).

Примерное распределение минералов по фракциям с разной магнитной восприимчивостью приводится ниже.

Немагнитная фракция: золото, медь, свинец, амальгамы, алмаз, галенит, киноварь, сфалерит светлый, халькопирит, пирит, марказит, арсенопирит, корунд, касситерит, рутил, лейкоксен, анатаз, брукит, бадделлит, уранинит, шпинель светлая, хризоберилл, неровскит, пирохлор, форстерит, циркон, гроссуляр, сфен, кианит, силлиманит, андалузит, топаз, тремолит, волластонит, цоизит, клиноцоизит, парагонит, турмалин светлый, апатит, пироморфит, вульфенит, шеелит, барит, целестин, церуссит, флюорит. В этой фракции могут остаться зерна кварца, полевых шпатов, кальцита.

Слабо-электромагнитная фракция: сфалерит, рутил, касситерит, лейкоксен, шпинель (плеонаст, пикотит), гетит, лимонит, пиролюзит, циркон, оливин (хризолит), сфен, эвдиалит, пироксены и амфиболы маложелезистые, турмалин (индиголит, дравит), везувиян, эпидот, ортит, уваровит, гессонит, монацит, ксенотим, колумбит, танталит, перовскит, карбонаты редких земель.

Средне-электромагнитная фракция: платина, осмирид, пироксены и амфиболы железистые, биотит (частично), лепидомслан, глауконит, турмалин (шерл), эпидот, ставролит, андрадит, пироп, альмандин, оливин (гортонолит), лядвигит, сидерит, родохрозит, вольфрамит, гетит, манганит, лимонит по пириту.

Сильно-электромагнитная фракция: гематит, мартит, хромшпинелиды, ильменит, ферроплатина.

Магнитная фракция: магнетит, титаномagnetит, пирротин, метеорное железо, (железная стружка).

ДИАГНОСТИЧЕСКИЕ СВОЙСТВА ШЛИХОВЫХ МИНЕРАЛОВ

Каждый минерал характеризуется сочетанием различных физических свойств, по которым он и отличается от других. Чем реже проявляется какое-либо свойство у других минералов, тем легче осуществляется диагностика по нему данного минерала. Информативность отдельных свойств различна и роль их при диагностике минерала неоднозначна. Главная задача при диагностике минерала - обнаружить то сочетание свойств, которое необходимо и достаточно для определения минерала. Количество таких свойств и простота или сложность их установления для каждого минерала индивидуальны.

Разделение шлиха на фракции предопределяет использование магнитной восприимчивости и плотности в качестве диагностических признаков при определении шлиховых минералов. Эти свойства для отдельных зерен или мономинеральных фракций могут быть определены достаточно точно, но в практике диагностики шлиховых минералов применима и грубая градация этих свойств.

Визуальная оценка свойств минерала

Определение минерального состава шлиха начинается, как правило, с немагнитной фракции, в ней больше зерен полезных ископаемых и их спутников, меньше породообразующих силикатов. Фракцию или часть ее высыпают на большое предметное стекло, выравнивают в виде полоски и просматривают под биноклем. Сначала ориентировочно оценивают по внешнему виду количество разных минералов и их разновидностей, а затем поочередно их определяют.

Многие физические свойства минералов взаимосвязаны друг с другом и далеко не всегда необходимо их все устанавливать. Кроме того, степень детализации характеристики каждого свойства может быть различной. Чаще ограничиваются грубой градацией значений любого признака-свойства. Кроме того, ряд свойств простыми приемами изучения оценить достаточно точно нельзя и приходится довольствоваться грубой оценкой, некоторыми градациями данного признака.

При просмотре фракции под бинокляром сразу обнаруживаются зерна минералов, различающиеся по густоте или насыщенности окраски: черные, ярко окрашенные и светлые, белые или прозрачные. Для черных или темноокрашенных минералов важно установить степень прозрачности по цвету порошка или просвечиваемости мелких осколков под микроскопом. В электромагнитной фракции черных и темноокрашенных зерен обычно больше, чем в немагнитной. Даже выделение двух групп минералов — темноокрашенных и светлоокрашенных — позволяет сократить перечень предполагаемых минералов. Один и тот же минерал может иметь разную густоту окраски.

Тон окраски минералов является легко устанавливаемым и часто используемым диагностическим признаком. Среди темноокрашенных минералов можно различить черную, темно-серую, буровато-черную, зеленовато-черную и близкие к ним тона окраски. Бесцветные, белые, светлосерые и бледно-окрашенные минералы слагают другую градацию окрасок, особенно характерных для минералов немагнитной фракции. Ярко окрашенные минералы характеризуются визуально оцениваемым тоном и оттенком: фиолетовые; чисто синие и голубые; синевато-зеленые, зеленые, желтовато- и буровато-зеленые; желтые, оранжевые, розовые; красные, малиновые; бурные, коричневые.

Для некоторых минералов тон и оттенок окраски бывает стабильным, становясь важным диагностическим признаком; у других — окраска изменчива и зависит от вариаций состава. Иногда окраска распределяется зонами или пятнами, что характерно для немногих минералов. Для ряда минералов, особенно из метаморфических пород, свойственна аллохроматическая окраска, обусловленная тонкодисперсными примесями гидроокислов железа, гематита, хлоритов, актинолита и т.д.

При просмотре минералов под бинокляром оценивается также блеск минерала: металлический, сильный (полуметаллический, алмазный) или слабый (стеклянный, жирный, матовый). Блеск надежно устанавливается на гранях кристаллов, спайных плоскостях или очень хорошо окатанных зернах. Минералы со спайностью при окатывании приобретают неровную поверхность и жирный блеск (рутил, ставролит, оливин и др.). Правильность оценки степени блеска можно подтвердить по просвечиваемости минерала (и наоборот): минералы с металлическим блеском непрозрачны и, как правило, дают черную че-

рту, минералы просвечивающие дают окрашенную черту. Для достаточно прозрачных минералов со слабым блеском применимы кристаллооптические методы изучения и диагностики.

По степени просвечиваемости минералы можно разделить на непрозрачные, просвечивающие и прозрачные. Выше рассмотрена взаимосвязь этого признака с блеском. Некоторые темноокрашенные минералы могут показаться непрозрачными в крупных зернах. Плохо просвечивают и мелкозернистые агрегаты, обычно вторичного происхождения (лейкоксен, лимонит, клиноцоизит, эпидот), из-за рассеяния света на границах зерен. Влияют на прозрачность и включения, нередко придающие необычную окраску зернам минералов.

Важное диагностическое и поисковое значение имеют кристалло-морфологические особенности минералов. Акцессорные минералы в элюзии, а многие из них и в аллювии сохраняют первоначальную форму кристаллов. Часть шлиховых минералов легко узнается по их морфологии; в других случаях можно предполагать принадлежность к какой-либо сингонии. Следует обращать внимание и на форму поперечного сечения зерен с плохой огранкой.

Габитус кристаллов нередко зависит от условий их образования, что при детальном анализе позволяет сделать выводы о генетическом типе источника, использовать эти данные в целях корреляции. Необходимо учитывать, что мелкие зерна, перемещаясь водным потоком во взвешенном состоянии или при высоком потолке сальтации, чаще сохраняют свою огранку по сравнению с крупными зернами. Для последних сохранение формы кристаллов характерно при близком переносе или при очень высокой абразивной стойкости. Сложности в выявлении источников шлиховых минералов возникают при переносе материала в виде обломков горных пород с последующей их дезинтеграцией уже в зоне аккумуляции.

Изучение механических свойств минералов

После просмотра минералов под биноклем и появления предположений о принадлежности зерен какому-то минералу необходимо подтвердить версию проверкой некоторых механических свойств или по оптическим признакам. В любом случае возникает необходимость отбора 1-2 зерен для дальнейших исследований. Зерно преларовальной иглой отодвигают на свободный участок предметного стекла и

аккуратно перемещают на малое предметное стекло. Удобно чуть-чуть смазать иглу жиром или водой, зерно легче прилипает к игле, а при вращении ее на стекле оно легко отстает. Эту операцию лучше проводить, наблюдая зерно под бинокляром.

Если зерно — спайный обломок, то при его переворачивании заметны плоскости спайности, дающие отблески; иногда отблеск виден при перемещении осветительной лампочки. У хорошо окатанного зерна или целого кристалла заметить спайность труднее. Для выявления у такого зерна спайности его накрывают другим малым стеклом и стараются раздавить, прилагая усилие к верхнему стеклу. Необходимое усилие зависит от твердости, вязкости, упругости и спайности минерала. Не очень твердые зерна можно раздавить на 2-3 обломка, наблюдая этот процесс под бинокляром. При наличии спайности на обломках заметны зеркальные отблески, а сами обломки могут принять правильную форму. Минерал без спайности раздавить труднее, а твердые минералы оставляют при этом выщерблины на стекле. Зерна могут раздавиться на очень мелкие осколки, а стекло — лопнуть. Таким образом, раздавливаемость — свойство, зависящее от ряда механических характеристик минерала — часто используется при диагностике. Мелкозернистые агрегаты раздавливаются легко, даже если сам минерал отличается высокой твердостью и отсутствием спайности.

Зерна твердых и хрупких минералов можно раздавливать в миниатюрной ступке, сделанной из обрезка стеклянной трубки и стеклянной палочки меньшего диаметра. Здесь не удастся наблюдать разделение зерна на спайные обломки, а мелкие осколки нередко теряются. Твердые минералы со спайностью при окатывании приобретают неровную, шероховатую поверхность и специфический жирный блеск.

Для определения твердости зерно минерала при небольшом сдавливании перемещают между двумя стеклами. Появление мелких царапин свидетельствует о твердости больше 5 по шкале Мооса. Мелкий порошок растирают на стекле и наблюдают царапинки под бинокляром. У минералов со спайностью и твердостью не выше 6 царапины иногда не появляются. Твердые минералы без спайности (циркон, шпинель, корунд, турмалин и др.) оставляют на стекле царапины или выбоины, а при их раздавливании слышен щелчок-хруп. Ковкие минералы, даже твердые, царапин не оставляют; они расплющиваются между стеклами и не рассыпаются в порошок.

Раздавливание зерен необходимо и для проверки степени просвечиваемости минерала, и для оценки окраски его порошка. Черные и темноокрашенные зерна всегда необходимо раздавливать в относительно тонкий порошок. Цвет порошка является важным признаком для минералов, объединяемых под названием рудных. Если при раздавливании цвет порошка заметно светлее по сравнению с окраской зерна, то такой минерал хорошо просвечивает и можно определить его кристаллооптические свойства. Для большинства темноокрашенных минералов следует проводить проверку просвечиваемости и окраски в тонких осколках под микроскопом, нередко с линзой Лазо.

Определение свойств минералов под микроскопом

При необходимости определения кристаллооптических констант или уточнения некоторых свойств шлиховых минералов зерна изучают в иммерсионных препаратах. Целые зерна или их обломки на предметном стекле накрывают покровным стеклом (5x5 мм) и вводят капли соответствующей иммерсионной жидкости. Введение жидкости обязательно при исследовании любого свойства, так как в воздушной среде появляются блики, искажающие свойства, и сильный рельеф, уменьшающий просвечиваемость. Во избежание ошибок не следует помещать в препарат зерна нескольких минералов - сочетание свойств, определенных на отдельных обломках, может стать противоречивым.

Иммерсионный метод удобен тем, что позволяет определить минерал или подтвердить правильность его диагностики по нескольким свойствам даже при наличии одного зерна. Похожие минералы легко отличаются по 2-3 характерным особенностям и нет необходимости определять все их свойства. Не останавливаясь на общих вопросах таких кристаллооптических исследований, подробно рассмотренных в специальных пособиях (Татарский, 1965; Сахарова, Черкасов, 1970 и др.), осветим лишь некоторые особенности применения этой методики при диагностике шлиховых минералов.

Если минерал неизвестен, то в препарат сначала вводят иммерсионную жидкость с показателем преломления около 1,54 или любую из середины набора ИЖ-I. Рекомендуют также использовать глицерин с $n = 1,47$, доступный и нелетучий (Захарова, 1989), хотя смена жидкости тогда затрудняется. В препарате выясняют, изотропен или анизотропен минерал, по характеру рельефа оценивают показатель преломления

зерна, а по интерференционной окраске с учетом толщины - двупре-
ломление; у окрашенных минералов наблюдают плексроизм. Для крис-
таллов и спайных обломков важно установить характер погасания.

Если существует версия - какой это минерал, то необходимо
проверить правильность предположения, сразу вводя в препарат жид-
кость, соответствующую конкретному показателю преломления минера-
ла (если он в пределах стандартного набора). У изотропного мине-
рала единственный показатель преломления - n , у оптически одно-
осных проще измерить n_o , а у оптически двусосных - n_m в большин-
стве сечений (табл. 2). Определение случайного значения показателя
преломления, особенно у сильно двупреломляющих минералов, не позво-
ляет их уверенно различать.

Т а б л и ц а 2

Ориентация главных показателей преломления

Осность, оптический знак и значе- ние показателя преломления Разрез	Одноосные минералы					
	Оптич. +			Оптич. -		
	n_o	n_e		n_o	n_e	
Перпендикулярно оптической оси	n_p	-		n_g	-	
Косые сечения	n_p	n_g'		n_g	n_p'	
Параллельно оптической оси	n_p	n_g		n_g	n_p	
	Двусосные минералы					
	Оптич. +			Оптич. -		
	Т.Б.	n_m	О.Б.	Т.Б.	n_m	О.Б.
Перпендикулярно оптической оси	-	n_m	-	-	n_m	-
Перпендикулярно острой биссектрисе	n_p	n_m	-	n_g	n_m	-
Перпендикулярно тупой биссектрисе	-	n_m	n_g	-	n_m	n_p
Перпендикулярно n_m	n_p	-	n_g	n_g	-	n_p

Чем темнее и гуще окраска минерала, тем сильнее необходимо
измельчать зерно и оценивать оптические свойства в просвечиваю-
щих зернах, вводя линзу Лазо. У части минералов удается лишь уста-
новить, просвечивает зерно в тончайших осколках или нет, изотропен
минерал или анизотропен, однороден он или это физическая смесь.

Для просвечивающих и прозрачных минералов с сильным блеском,
имеющих высокие показатели преломления, подобрать нужную жидкость
из стандартного набора невозможно. Поэтому ряд свойств таких мине-
ралов устанавливают в препарате с любой жидкостью из середины на-
бора - в любой жидкости сохранится сильный рельеф. Иредка исполь-

зуют наборы ВИЖ на базе иодистого метилена с серой и соединениями мышьяка с показателями преломления от 1,74 до 2,0-2,10. Применяются также иммерсионные сплавы сера - селен (ТИСС) и галогенидов таллия (ТИГТ). Высокопреломляющие иммерсионные среды редки и их используют для диагностики минералов в особо сложных случаях.

При определении показателей преломления шлиховых минералов в иммерсионных препаратах иногда возникают трудности. В частности, при большой разнице показателей преломления минерала и среды из-за очень сильного рельефа зерна кажутся непрозрачными, особенно мелкие (рутил, анатаз, хромшпинелиды и др.). Лишь при расфокусировке микроскопа становится видно, что они пропускают свет; заметна и анизотропия. Полоска Бекке наиболее четко проявляется у зерен линзовидной формы или сужающихся по толщине хотя-бы с одной стороны - края зерен, как призма, преломляют световые лучи в сторону среды с более высоким показателем преломления. Поэтому при подъеме тубуса микроскопа полоска Бекке движется на минерал, если $n_m > n_{ж}$, и на жидкость при $n_m < n_{ж}$. На некоторых кристаллах и зернах со спайностью на границе минерал - жидкость, ориентированной перпендикулярно предметному стеклу, часть лучей не преломляется, а отражается и светлая полоска (при плохой видимости истинной полоски Бекке) при подъеме тубуса перемещается независимо от соотношения показателей преломления. Изменение освещенности иногда ликвидирует осложнение. Окатанные зерна "работают" как короткофокусная линза и отклоняют лучи к центру зерна.

В сомнительных случаях, когда полоска Бекке наблюдается плохо, удобнее применять метод заслонки (эффект косого освещения). При перекрытии части поля зрения оправой анализатора микроскопа затемняется край зерна со стороны заслонки при $n_m > n_{ж}$, а при $n_m < n_{ж}$ - с противоположной стороны (Татарский, 1965). При близости показателей преломления из-за разной дисперсии минерала и жидкости возникают цветовые эффекты; затемненный край зерна приобретает синеватый оттенок, а полоска Бекке становится окрашенной. При наблюдении цветных полосок следует учитывать, что наименее подвижна полоска того цвета, при котором показатели преломления минерала и жидкости наиболее близки. Полоску Бекке лучше наблюдать при размещении зерна близ центра поля зрения и при диафрагмировании конденсора; используют также объективы с кольцевой диафрагмой.

В иммерсионных препаратах нередко сложно оценить силу двупреломления, особенно для минералов со средним двупреломлением из-за разной толщины зерен. В подобных случаях необходимо учитывать соотношение толщины и размеров зерен, принимать во внимание наличие спайности, просматривать несколько зерен, измерять показатели при разных ориентациях зерна. Возникают ошибки и при отличии серых или желтых тонов интерференционной окраски при слабом двупреломлении от белого цвета высших порядков при очень сильном; полезно использовать гипсовую пластинку или кварцевый клин.

У минералов с совершенной спайностью часто образуются обломки постоянной толщины, их интерференционная и собственная окраски равномерны по всей площади зерен. Если же спайность пересекается под острым углом, то в спайных обломках интерференционная окраска закономерно понижается к краям зерна в связи с уменьшением толщины. Это особенно характерно для амфиболов, в удлинённых спайных обломках которых окраска постепенно ослабляется в направлении, перпендикулярном удлинению. У минералов с высоким двупреломлением при близости одного из показателей преломления к показателю жидкости часто хорошо наблюдается псевдоабсорбция (карбонаты, монацит, ксенотим). Так как в препаратах спайные обломки приобретают определенную ориентировку относительно предметного стекла, углы погасания занижаются (у пироксенов на $8-10^{\circ}$ ниже истинного, кианит иногда имеет почти прямое погасание).

При диагностике ряда минералов важным признаком становится осность и оптический знак. Для получения коноскопической фигуры удобнее использовать крупные зерна или кристаллы шлиховых минералов, выбирают обломки с небольшим двупреломлением. Следует помнить, что удлинённые зерна и кристаллы с прямым погасанием чаще будут давать разрез, параллельный оптической оси одноосного кристалла. Такой разрез трудно отличить от некоторых разрезов двuosных минералов. На рис. I приведены некоторые схемы определения оптического знака (Татарский, 1965). При низком двупреломлении удобнее применять пластинку, а при высоком - кварцевый клин.

Показатели преломления жидкостей со временем изменяются, причем не всегда в одну сторону. Это зависит от условий их хранения (температура и длительность хранения, разная испаряемость компонентов и плотность закрытия флакона). В жидкостях с высокими показате-

лями (более 1,74) при испарении выпадают кристаллы серы, что снижает показатель преломления даже в процессе работы с препаратом. Проверка иммерсионных жидкостей должна проводиться периодически с помощью рефрактометров типа РЛУ, РДУ, ИРФ-23, ИРФ-457 и др. Некоторые жидкости можно проверить сравнением показателей преломления при использовании минералов со стабильными оптическими свойствами.

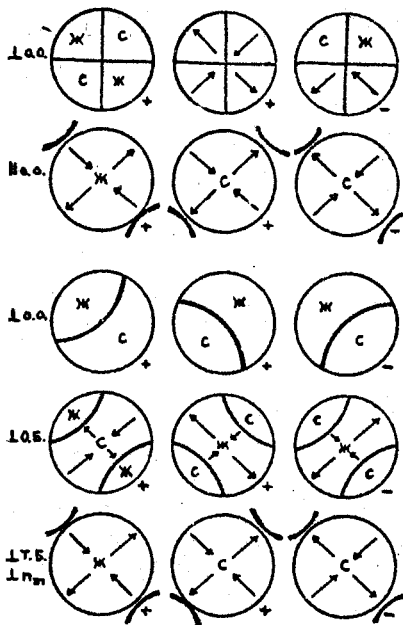


Рис. 1. Схемы определения оптической оси и оптического знака одноосных (вверху) и двuosных (внизу) кристаллов по conoscopic фигурам с помощью гипсовой пластины (С - прямая параллельность, Ж - обратная) и кварцевого клина (стрелки показывают направление движения полосок при движении клина).

Високопреломляющие жидкости набора ИХ-1 на основе иодистого метилена имеют повышенную плотность: при $n = 1,74$ - около 3,3; а при $n = 1,70$ - 2,9-3,0 г/см³. Это позволяет оценивать плотность зерен в незакрепленных препаратах при вращении наклоненного столика. Легкие зерна всплывают (в поле зрения перемещаются вниз - перевернутое изображение), а мелкие тяжелые - тонут (поднимаются вверх).

В иммерсионных препаратах плохо просвечивают гематит, гетит, пиролюзит, перовскит, пирохлор, пикроильменит, хромшпинелиды, ладвигит, вольфрамит, лейкоксен, рутил. С анализатором заметно агрегатное двупреломление у лимонита, лейкоксена, эпидота, клиноцоизита (соссурита), глауконита, фосфатизированных обломков раковин. Прозрачны и изотропны алмаз, сфалерит, шпинель, гранаты, пирохлор, флюорит. Кажутся непрозрачными турмалин, авгит, роговые обманки, колумбит, перовскит.

Люминесценция минералов

Для обнаружения и диагностики некоторых минералов в шлихах используется их способность люминесцировать. Это свойство позволяет также оценивать распространенность ряда минералов в отдельных фракциях. Люминесценция - способность минералов преобразовывать энергию излучений или другого воздействия в энергию видимого свечения. Такое свечение возникает в результате неравновесного излучательного перехода ионов или молекул из возбужденного электронного состояния в основное или промежуточное, но с меньшей энергией. Люминесценция может быть вызвана воздействием ультрафиолетового или рентгеновского излучения, потоком электронов, трением, нагревом, электрическим полем и др. В практике шлихового анализа чаще используется фотолюминесценция, вызываемая воздействием на минерал ультрафиолетовых лучей разной энергии. Минерал при этом начинает светаться в оптическом диапазоне; люминесценция минералов различается по оттенку и интенсивности.

Люминесценция возникает, как правило, только в тех минералах, которые содержат в небольших количествах изоморфные примеси элементов - активаторов люминесценции или электронно-дырочные центры. Именно такие собственные дефекты кристаллической решетки легче возбуждаются при энергетическом воздействии и вызывают свечение. Среди активаторов наиболее распространены Sr , Fe , Mn , Pb , Ce , Dy , Th , U , Mo и др. Высокая их концентрация (более 1-2 %) приводит к гашению люминесценции в результате резонансного переноса энергии. В чистых кристаллах, не содержащих примеси активатора, свечение не возникает. Центрами люминесценции могут быть вакансии катионов и анионов в решетке, межузельные анионы и электронно-дырочные центры.

Люминесценция шлиховых минералов проявляется, следовательно, по-разному в зависимости от типа и концентрации центров свечения. Оптимальное содержание некоторых типов центров в ряде минералов наблюдается весьма часто (циркон, шеелит, флюорит), что помогает обнаружению их в шлихах. Другие же минералы могут светиться изредка, что связано с неустойчивым содержанием в них примесей (корунд, шпинель, диопсид, форстерит, тремолит, фенакит, сфалерит и др.).

Следует учитывать, что один и тот же минерал, попавший в шлик из разных источников, может различаться набором изоморфных приме-

ой. Поэтому наблюдения над цветом и интенсивностью люминесценции позволяют различать зерна разного происхождения. В загрязненном шлихе могут люминесцировать зерна кварца и полевых шпатов, волокон полимеров и разная органика. Все люминесцирующие зерна проверяются по другим свойствам, так как свечение помогает обнаружить минерал, но не диагностировать его однозначно. При поисках шеедита и ряда других минералов просмотр фракций в ультрафиолетовых лучах обязателен.

В табл. 3 приведены цвета люминесценции ряда шлиховых минералов; наиболее характерные и часто встречающиеся цвета люминесценции подчеркнуты.

Т а б л и ц а 3

Люминесценция шлиховых минералов

Минерал	Цвета фотолюминесценции
Алмаз	Синий, <u>голубой</u> , желто-зеленый, желтый
Корунд	Малиново-красный
Шпинель	Красный
Циркон	<u>Желто-оранжевый</u> , красный
Кисунит	Красный
Топаз	Зелено-голубой, зелено-желтый, красный
Сподумен	Оранжевый
Шеелит	<u>Голубой</u> , зелено-голубой, розовый
Апатит	Сине-фиолетовый, <u>голубой</u> , <u>желто-зеленый</u> , розовый
Отунит	<u>Желто-зеленый</u> , желтый
Барит	Фиолетовый, желто-зеленый, желто-оранжевый, красный
Смитсонит	Голубой, желтый, оранжевый, красный
Церуссит	Голубой, желтый
Флюорит	Сине-фиолетовый, <u>голубой</u> , <u>зеленый</u> , <u>желто-зеленый</u>
Кварц	Голубой
Полев. шп.	Синий, голубой, кирпично-красный
Кальцит	Синий, голубой, желтый, оранжевый, красный

Нагревание минералов до 100-360°C приводит к активизации электронов, находящихся в центрах захвата (ловушках), что вызывает термолюминесценцию. При высушивании шлиха иногда наблюдается свечение зерен флюорита, апатита, полевых шпатов, кварца, некоторых карбонатов. Оттенок термолюминесценции с повышением температуры нагрева может

меняться, так как поочередно возбуждаются разные типы электронно-дырочных центров. Перегрев шлиха при сушке после промывки может снять способность к термолюминесценции.

Диагностические реакции

Подтвердить правильность определения шлиховых минералов, особенно непрозрачных и плохо просвечивающих, можно с помощью характерных химических реакций. В ряде случаев этот метод приобретает и самостоятельное значение при диагностике рудных минералов, несмотря на его трудоемкость. Более удобны те химические реакции, которые могут осуществляться на 1-2 зернах и без длительной подготовки. Некоторые качественные реакции (на касситерит, вольфрамит, апатит, колумбит, танталит и др.) проводятся иногда со всей фракцией для количественной оценки содержания минералов.

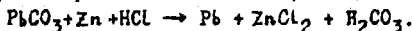
Все диагностические реакции могут проводиться или с разложением минерала (мокрые и сухие методы), или путем получения пленок на поверхности зерен. Разлагают минерал растворением в кислоте; при предварительном сплавлении с содой или пиросульфатом калия и последующем растворении в воде; при взаимодействии нагреваемого зерна с расплавом буры или фосфорной соли (пирохимические реакции); при растирании зерен с сухими реактивами.

Наиболее часто используемые и достаточно простые диагностические реакции ниже сгруппированы по сходству методики их проведения. При возможности отбора 10-15 зерен минерала для определения его состава прибегают к методике эмиссионного спектрального анализа или рентгено-спектрального анализа.

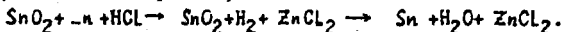
Реакции окрашивания перлов: на кончике платиновой проволоочки (или проволоочки из нити электролампы) крупинки буры ($\text{Na}_2\text{B}_4\text{O}_7$) или фосфорной соли ($\text{NH}_4\text{NaHPO}_4 \cdot 4\text{H}_2\text{O}$) сплавляют в бесцветную каплю в пламени паяльной трубки. В этот перл вводят зерно или порошок минерала, сплавляют в прозрачную каплю и наблюдают окраску, вызванную хромофорами. В окислительном пламени Mn окрашивает перлы в фиолетовый цвет, Cr - в зеленый, Co - в синий, Si - в голубой, Se - в желтый; перл буры с Fe окрашен в желто-зеленый цвет, а фосфорной соли - бесцветен. Перл фосфорной соли, получаемый в окислительном и восстановительном пламени, позволяет раздельно устанавливать Fe и Mn . Перл NaF , содержащий уран, люминесцирует зеленым.

Разложение при нагревании: сернистые соединения мышьяка при нагревании дают тетучий оксид мышьяка с чесночным запахом. При разложении в закрытой с одного конца стеклянной трубке зерна киновари чернеют; пирит в такой трубке разлагается с выделением серы. Сера в минералах определяется после сплавления порошка с содой (к сульфатам полезно добавить угольный порошок). Спекшуюся массу помещают на кусочек фотобумаги или серебряную пластинку и смачивают водой. Через 2-5 минут появляется бурое или черное пятно, не смываемое водой: при наличии Na_2S образуется Ag_2S .

Пленочные реакции с восстановлением металла применяют при диагностике ряда минералов. Свинец в церуссите, вульфените, пироморфите определяют при обработке зерна каплей HCl на цинковой пластинке. Зерно покрывается пленкой серого цвета:



Олово в касситерите устанавливают по специфической реакции восстановления при взаимодействии зерна с цинком, смоченным каплей HCl (1:1). Под биноклем при бурном выделении H_2 наблюдают появление светло-серой, а на гранях - блестящей пленки олова ("оловянное зеркало"):



При избытке кислоты пленка может раствориться. Темноокрашенный касситерит сначала кипятят с HCl ; на бесцветных мелких кристаллах реакция идет лучше при прикосновении к ним стальной иглой.

Окрашенные пленки получают на зернах при их взаимодействии с соответствующими реактивами. Для определения Nb и Ta в сложных оксидах зерна сплавляют на платиновой проволочке с пиросульфатом калия, растворяют при нагревании на стекле в 5%-ной серной кислоте, на поверхности зерна появляется голубовато-серая пленка. Такая же пленка появляется на ильмените и вольфрамите. Поэтому зерна высушивают, смачивают 1%-ным раствором таннина в 5%-ной серной кислоте и нагревают. Минералы ниобия при этом покрываются оранжево-красной пленкой, а тантала - ярко-желтой. Для диагностики вольфрамитовые зерна 5-10 минут прогревают в расплавленной смеси CaCl_2 и NaCl . Освобожденные от солей зерна покрыты пленкой шеелита и обычно люминесцируют. В шеелите вольфрам определяют по синей пленке, образующейся при кипячении зерна с оловом (опилки, фольга) в концентрированной HCl .

Для определения Ве в берилле зерна держат 1-2 минуты в содовом расплаве, затем при смачивании водным раствором хинализарина наблюдают ярко-синюю пленку. Увинец в сульфидах устанавливают при кипячении зерна в 5%-ном растворе KJ , насыщенном иодом. При наличии свинца образуется желтовато-зеленая пленка иодида свинца. Висмут в сульфидах в ходе такой реакции дает желто-оранжевую пленку.

Реакции в растворах проводятся при растворении минерала в кислотах или при предварительном сплавлении его с содой. Марганец в пиролюзите устанавливают при нагревании зерен в HCl , раствор при этом окрашивается в темно-бурый цвет. Для определения меди зерно обрабатывают HCl , при нейтрализации раствором аммиака появляется голубой осадок. При определении V минерал растворяют в соляной или азотной кислоте, после добавления H_2O_2 появляется красно-бурое окрашивание.

При определении фосфора в апатите зерна смачивают HNO_3 , в раствор добавляется крупинка $(NH_4)_2MoO_4$ - вокруг зерен апатита появляется желтое окрашивание. Прочие фосфаты дают такую же реакцию после предварительного сплавления с содой. Аналогично проводится реакция с арсенатами. При определении Fe^{3+} минерал растворяют в HCl , в каплю раствора на фильтре добавляют каплю раствора $KCNS$, появляется кроваво-красная окраска. Для установления Fe^{2+} крупинку минерала растворяют в $HNO_3(1:1)$, добавляют $HCl(1:5)$, раствором смачивают фильтр, быстро синеющий от капли красной кровяной соли.

Кремний в силикатах определяют после сплавления зерен с содой, растворения в HCl и выпаривания. Желтоватый хлопьевидный осадок окрашивается при подсушивании в розоватый цвет. Титан-содержащие минералы сплавляют с содой, растворяют в HCl , добавляют олово и после кипячения наблюдают фиолетовую окраску. Ниобий в ходе такой реакции окрашивает раствор в голубой цвет. Другая реакция на Ti осуществляется после сплавления зерна с содой или $K_2S_2O_7$ и растворения сплава в $H_2SO_4(1:1)$. Каплю раствора переносят на фильтр, добавляют каплю крепкой фосфорной кислоты и каплю 3-10%-ной H_2O_2 . Наличие титана приводит к появлению быстро исчезающей светло-желтой окраски. Цирконий определяют после сплавления зерна с содой и растворения сплава в 10% растворе HCl . На смоченный раствором фильтр добавляют каплю

спиртового раствора мизарина; образуется красно-бурый хлопьевидный осадок. В парах аммиака смоченный растворами фильтр приобретает малиновый цвет.

Реакции окрашивания пламени - хлориды щелочных и ряда других металлов окрашивают бесцветное пламя паяльной трубки или газовой горелки. Порошок обрабатывают HCl , раствором смачивают платиновую проволочку и быстро вносят ее в пламя. Литий окрашивает пламя в карминово-красный цвет сразу после ввода проволоки. Натрий дает устойчивое желтое пламя. Стронций окрашивает пламя в малиново-красный цвет, но иногда вначале появляется голубое окрашивание. Барий дает желто-зеленый цвет, а медь - голубой. Минералы бора обрабатывают серной кислотой, смачивают спиртом и вносят в пламя, дающее зеленую окраску.

Метод растирания порошков основан на образовании окрашенных продуктов реакций между минералом и соответствующим реактивом. В частности, при растирании титановых минералов с NH_4VO_3 порошок приобретает оранжево-красный цвет. Минералы бора растирают с HgCl_2 , при смачивании водой появляется красная окраска бората ртути.

МИНЕРАЛЫ НЕМАГНИТНОЙ ФРАКЦИИ

Минералогический анализ шлиха начинают обычно с немагнитной фракции, где концентрируется большинство рудных и аксессуарных минералов. Они несут много информации, а состав самой фракции более стабилен. В ней присутствуют диамагнитные и очень слабо парамагнитные минералы: простые вещества, сульфиды, безжелезистые оксиды и силикаты, многие фосфаты, сульфаты, карбонаты.

Простые вещества и сульфиды

Алмаз в шлихах встречается, конечно, очень редко, но обнаруживается в шлихах из разных регионов. Природные алмазы по происхождению разделяются на земные и космогенные. Алмазы встречаются в кимберлитах, лампроитах, эглогитах и других породах, накапливаются в россыпях. Космогенные алмазы могут быть привнесены с метеоритами или образуются на поверхности планеты как продукты ударного (импактного) метаморфизма. С расширением областей применения природных и синтетических алмазов как абразивов возрастает и вероятность заражения ими обломочных пород.

Среди алмазов встречаются монокристаллы, их сростки и поликристаллические агрегаты. Монокристаллы могут быть плоскогранными (октаэдры, ромбододекаэдры, гексаэдры и их комбинации) и кривогранными (октаэдрониды, додекаэдрониды и др.). В импактитах встречаются и таблитчатые или линзовидные параморфозы алмаза по лонсдейлиту. Обычны обломки кристаллов, спайные выколки со ступенчатой поверхностью. При длительном переносе зерна окатываются, приобретая мелкобугорчатую матированную поверхность и жирный блеск. Для природных алмазов характерны микроямчатая поверхность куба, треугольные выступы и углубления на гранях октаэдра, бороздки или черепитчатый узор на гранях додекаэдра. Синтетические алмазы имеют плоские ровные грани, иногда со спиральями роста, непритупленные ребра.

Кристаллы размером более 1-2 мм чаще бесцветные, среди мелких зерен нередко желтые, зеленые, розовые, серые и черные. Окраска иногда пятнистая, из-за графита порошок может быть серым. На ровных плоскостях блеск алмазный, у агрегатов и на неровных гранях - жирный или шелковистый. Раздавливается алмаз, несмотря на хорошую спайность, с большим трудом - при одноосном сжатии прочность алмаза в 7 раз больше чем кварца, в 4-5 раз больше циркона или альмандина. Для проверки правильности диагностики зерна алмаза изучают в иммерсионном препарате - в любой жидкости наблюдается сильный рельеф, а мелкие зерна кажутся непрозрачными. Иногда алмаз слабо двупреломляет, но чаще наблюдается отражение света от наклонных плоскостей, искажающее картину изотропного минерала. Зерна алмаза на предметном стекле легко оставляют царапины.

Похожие на алмаз по ряду свойств шпинель, гранат, корунд, сфалерит, флюорит отличаются либо более низкими показателями преломления, либо твердостью. Циркон, касситерит, сфен, карбид кремния отличаются высоким двупреломлением. В шлихах алмазы из кимберлитов ассоциируют с пиропом разной окраски, хромдиопсидом, пикроильменитом. В россыпях они накапливаются совместно с цирконом, хромшпинелидами, кианитом, турмалином. Выявление ассоциаций и морфологических особенностей алмазов помогает уточнить их происхождение и направление поисковых работ.

Золото в единичных зернах встречается в шлихах сравнительно часто в областях развития гранитоидов. Вблизи от коренных источников оно имеет дендритовидную, губчатую, почковидную, пластинчатую

форму ("рудное" золото). При небольшом переносе зерна становятся округлыми, расплюснутыми или скрученными, с мелкобугорчатой поверхностью ("пластовый металл"). Повышенную миграционную способность имеет "косовое" золото - листочки или чешуйки округлой формы, нередко выпукло-вогнутые, размером менее 1 мм в поперечнике. Очень мелкие зерна (менее 0,1 мм) могут быть и изометричными. Из-за уплощенности "косовый металл" по гидродинамической крупности близок к циркону с диаметром зерен 0,4-0,5 мм и к кварцу размером в 1-2 мм. Цвет золота красновато-желтый, при наличии серебра - светлее, медистое золото - зеленовато-желтое. Иногда золото приобретает бурый цвет из-за пленок лимонита. Определяют золото по цвету, блеску, форме зерен, низкой твердости и ковкости. От похожих на него пирита и халькопирита отличается ковкостью, блестящей чертой и оттенком. От самородной меди оно отличается цветом и нерастворимостью в кислотах; похожий на золото гидратированный биотит дает просвечивающие спайные пластинки.

В некоторых золотоносных районах встречается амальгама - сплав Hg и Au, образовавшийся при извлечении золота из концентратов. Амальгама имеет вид округлых зерен, лепешек серого цвета со слабым блеском, которые легко расплющиваются на стекле.

Медь встречается лишь вблизи от зон окисления медно-сульфидных месторождений в ассоциации с другими минералами меди. Она образует сростки зерен, дендритные и пластинчатые обособления. В шлихах встречаются и цилиндрические агрегаты, обычно являющиеся обрезками проволоки. Медь быстро покрывается пленками вторичных минералов разного цвета; характерную же красную окраску самой меди удастся увидеть лишь на свежем изломе или черте. Минерал мягкий, ковкий, черта блестящая. Раствор в кислотах синеет от аммиака.

Свинец, цинк, олово присутствуют в шлихах чаще всего в виде неправильных зерен, зазубренной стружки, чешуек, дробинок. Эти металлы обычно имеют техногенное происхождение и точная их диагностика затруднена.

Галенит в шлихах присутствует только вблизи коренных источников, чаще в виде прямоугольных или ступенчатых спайных обломков. Цвет серый, блеск металлический; галенит хрупкий и легко раздавливается по спайности. При окислении зерна тускнеют, на них появляются светлые корочки англезита или церуссита. Из-за высокой плотности

ти, небольшой абразивной стойкости и, следовательно, низкой миграционной способности галенит практически не окатывается. От похожих антимонита и висмута он отличается иной спайностью, от арсенопирита - низкой твердостью, от сульфосолей - наличием спайности.

Сфалерит, как и большинство других сульфидов, неустойчив, присутствует недалеко от рудных тел. Он образует изометричные и угловатые обломки, ограниченные плоскостями спайности, реже - слабо окатанные зерна. В зависимости от содержания железа и других изоморфных примесей сфалерит может быть светлым желтым, зеленоватым, красноватым, светло-бурым, присутствующим в немагнитной фракции. Бурые, коричневые, коричнево-черные разновидности уходят в электромагнитные фракции. Сфалерит из-за включений пирротина может быть и в магнитной фракции.

Светлый сфалерит (клеюфан) прозрачный, с алмазным блеском, железистый (марматит) просвечивает в тонких осколках. Сфалерит изотропен, в обычных жидкостях с очень сильным рельефом. Клеюфан похож на алмаз, от которого отличается низкой твердостью и хрупкостью; похожие на него сфен и рутил имеют высокое двупреломление. Марматит можно спутать с гематитом, вольфрамитом, которые анизотропны, с хромпикелидами, которые твердые и не имеют спайности.

Киноварь легко диагностируется благодаря красному с разными оттенками цвету, низкой твердости и сильному блеску на ровных плоскостях. Она встречается в виде слегка окатанных ромбоэдрических, призматических или уплощенных зерен, а также землистых масс. Раздавливается киноварь легко и дает порошок красного цвета, чем отличается от рутила, имеющего светлый порошок. Показатели преломления и двупреломление очень высокие, рельеф сильный, а интерференционная окраска заметна лишь в мелких зернышках. От похожего куприта киноварь отличается анизотропией, от рутила - низкой твердостью и цветом порошка. При разделении шлихов жидкостью Туле при плохой отмывке фракции иногда выпадают кристаллы Hg_2J_2 , также красного цвета, но изотропные. При нагревании зерна киновари темнеют.

Халькопирит обычно определяется по зеленовато-желтому цвету, сильному металлическому блеску на свежей поверхности, пестрым пленкам побежалости или примазкам. Он давится легко, порошок почти чер-

тый, твердость 4. Неизмененный халькопирит похож на пирит, у которого твердость выше и чаще встречаются кристаллы. При затруднении помогают качественные реакции на медь.

Молибденит в шлихах очень редок, но в протоочных пробах более обычен. Он встречается в чешуйках или пластинчатых агрегатах светлого стального-серого цвета с металлическим блеском. Минерал мягкий, легко расщепляется на чешуйки по спайности. При окислении молибденит покрывается пленками вторичных минералов желтого или светло-серого цвета. Он похож на графит, у которого цвет темно-серый до черного и более темная блестящая черта.

Пирит - наиболее распространенный в шлихах сульфид, часто встречающийся в виде кристаллов, их обломков или сростаний, реже он образует остроугольные зерна или тонкозернистые агрегаты. Кристаллы пирита - октаэдры, кубы, пентагондодекаэдры и их комбинации (рис.2). В некоторых кварцево-золотоносных жилах октаэдры пирита приурочены к верхним частям жильных тел, комбинации с пентагондодекаэдром - к средним, а кубические кристаллы, обычно с четкой штриховкой - к нижним горизонтам. В метаморфизованных осадочных породах преобладают искаженные кубы пирита, часто принимаемые за кристаллы не кубической сингонии (рис.2,б); в глинистых толщах обычно кубы и кубо-

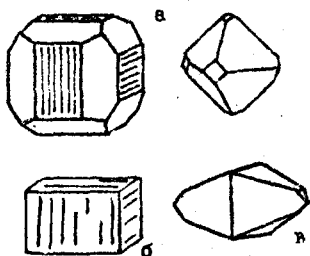


Рис.2. Кристаллы пирита (а), искаженный куб (б); кристалл марказита (в).

октаэдры. Информативны данные о распространенности разных типов кристаллов пирита в шлихе, а также содержание в них примесей золота и цветных металлов.

Неизмененный пирит легко узнается по форме кристаллов, светло-желтому цвету, металлическому блеску и повышенной твердости. Похожий на него марказит можно отличить лишь по морфологии кристаллов (рис.2,в).

При окислении пирит покрывается черными, коричневыми или бурными пленками оксидов и гидроксидов железа. Такой пирит внешне похож на ториацит, перовскит, темноокрашенный рутил, от которых отличается цветом черты и непрозрачностью даже в тонких ос-

колках. Замещение пирита оксидами переводит такие псевдоморфозы в другие фракции. Соотношение пирита из разных фракций зависит от степени его окисления. Красного цвета псевдоморфозы по пириту иногда принимаются даже за гранат. При раздавливании неполных псевдоморфоз удаётся на свежем изломе увидеть цвет и блеск пирита. Отколовшиеся пленки вторичных минералов просвечивают, иногда двупреломляют, чаще всего это гетит. В условиях сухого климата по пириту образуются пленки или полные псевдоморфозы ярозита, имеющие светлый цвет и слабый блеск.

Марказит по своим свойствам очень похож на пирит, от которого отличается обычно по форме кристаллов с ромбической симметрией (см. рис. 2, в) и по обычным для марказита лучистым агрегатам. Марказит и пирит из одного источника, как правило, различаются по степени окисления.

Арсенопирит в шлихах редок и встречается в обломках неправильной формы, на которых иногда можно заметить плоскости спайности. Кристаллы призматические или псевдодипирамидальные со штриховкой комбинационного типа (рис. 3). Короткопризматические или уплощенные кристаллы более характерны для среднетемпературных полиметаллических, скарновых и других типов месторождений (Кухаренко, 1961). Цвет арсенопирита светло-серый, серый, обычны на поверхности почти черные или зеленоватые пленки вторичных минералов, желтоватая побежалость. От пирита арсенопирит отличается цветом и более легкой раздавливаемостью из-за спайности. Напоминает он также металлы платиновой группы, не дающие черты черного цвета. При затруднениях в диагностике можно провести качественные реакции (запах при нагревании или реакция с молибденово-кислым аммонием после обработки азотной кислотой).

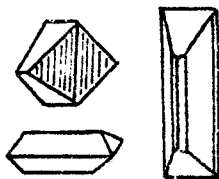


Рис. 3. Форма кристаллов арсенопирита.

Оксиды, гидрооксиды

Корунд - устойчивый при выветривании и механически прочный минерал, в шлихах встречающийся спорадически. Обычны угловатые обломки корунда белого, светло-серого, реже голубоватого, розового или рубинового цвета. Окатанные зерна очень редки. Кристаллы

корунда имеют веретеновидный и боченкоподобный облик (плагноклазиты, сиенит-пегматиты), столбчатый и призматический (основные породы, амфиболиты, роговики), короткопризматический и изометричный (гранитоиды, гнейсы и сланцы), таблитчатый и пластинчатый (метасоматически измененные породы, включая вторичные кварциты). Облик кристаллов корунда (рис. 4) определяется преимущественно эпитаксиальными ростками диаспора - HALO_2 , содержание которого возрастает в кислой среде и при понижении температуры кристаллизации корунда.

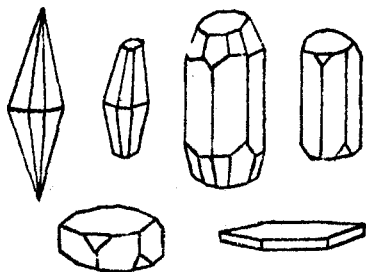


Рис. 4. Типы кристаллов корунда.

По внешнему виду корунд похож на голубой анатаз (высокий показатель преломления, сильное двупреломление), на шпинель (изотропна), на топаз, апатит, кварц (у них $n \ll 1,76$), на кианит (хорошая спайность, $n_m = 1,720$). Изредка в шлихах встречается карбид кремния (муассанит), чаще техногенного происхождения, похожий на корунд; у него высокий показатель преломления и сильное двупреломление. ($n_o = 2,65$; $n_e - n_o = 0,045$).

Рутил - один из характерных минералов шлихов, особенно в областях развития метаморфических пород. Он присутствует в виде призматических кристаллов тетрагонального сечения, часто с продольной штриховкой, их обломков; реже встречаются колеччатые двойники. Блеск на гранях кристаллов и на плоскостях спайности по призме сильный алмазный до полуметаллического. Наиболее обычны в шлихах зерна рутила разной степени окатанности, от удлиненных до почти изометричных. Блеск на поверхности окатанных зерен рутила своеобразный, сильный жирный или смоляной из-за мелкобугорчатой по-

Под микроскопом этот минерал прозрачен, иногда плеохроирует, оптически одноосный "-", $n_o = 1,758-1,76$, двупреломление невысокое (0,003-0,009). В иммерсионном препарате с $n_{ж} = 1,76$ наблюдается очень слабый рельеф, цветные полосы Бекке. Раздавливается корунд с трудом, иногда на косые бруски из-за отдельности, на стекле остаются царапины.

верхности, образующейся при окатывании зерен со спайностью. Раздавливается рутил с некоторым трудом, на обломках иногда видны плоскости спайности. Окраска рутила оранжево-красная, буро-красная до почти черной; порошок всегда светлый. В препарате мелкие зерна просвечивают, иногда плеохроируют. В мелких осколках рутил кажется непрозрачным из-за сильнее рельефа ($n_o=2,61$; $n_e=2,90$), но при введении анализатора видна интерференционная окраска. Она может маскироваться собственной окраской минерала; помогает введение линзы Лазо. Темноокрашенный рутил, обогащенный железом, переходит в электромагнитную фракцию.

Светлый рутил похож на циркон (отличие в блеске, тонах окраски, характере излома, раздавливаемости, у рутила рельеф сильнее). От похожего касситерита рутил отличается наличием спайности, более слабым блеском, высоким показателем и сильным двупреломлением, отрицательной реакцией на олово. От брукита рутил отличается более изометричным сечением зерен, характером погасания; от сфалерита - анизотропностью, повышенной твердостью и худшей спайностью. Богатые ниобием (ильменорутит) и Та (стрюверит) минералы с трудом отличимы от реже встречающихся в шлихах сложных оксидов этих элементов.

Анатаз в небольших количествах встречается в шлихах относительно часто и преимущественно в виде кристаллов или их обломков. Таблитчатые и усеченно-дипирамидальные кристаллы анатаза (рис. 5), голубовато-синие, буровато-желтые, зеленоватые, коричневые и черные, характерны для гранитоидов. Остродипирамидальные кристаллы голубого, синего, желтого цвета, с четко выраженной штриховкой обычны в областях развития метаморфических пород. По данным Н.З. Евзиковой встречающийся в оловорудных жилах анатаз эволюционирует от таблитчатого раннего к боченковидному и, далее, к остродипирамидальному поздних стадий формирования жил.

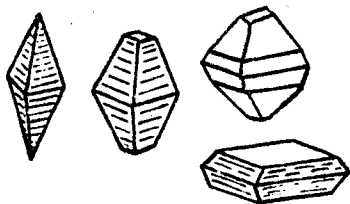


Рис. 5. Типы кристаллов анатаза.

Анатаз раздавливается легко из-за спайности по $\{001\}$, имеет очень сильный алмазный блеск, кристаллы с ровными гранями из-за

блеска кажутся непрозрачными. Под микроскопом в иммерсионном препарате сильный рельеф ($n_o=2,56$; $n_c=2,49$), четкое двупреломление, спайные выколки дают хорошую коноскопическую фигуру (перпендикулярно оптической оси одноосного „-“ кристалла), такие разрезы дают почти изотропное сечение. Изредка анатаз принимают за алмаз, шпинель (всегда изотропны), за рутил (другой оттенок окраски, иной характер блеска, спайность вдоль удлинения) или касситерит (нет спайности, рельеф слабее, реакция на олово). Агрегаты мелкозернистого анатаза, по видимому вторичного происхождения, диагностируются как лейкоксен.

Брукит, еще одна полиморфная модификация TiO_2 , встречается в шлихах редко и обычно в виде удлиненно-таблитчатых кристаллов с продольной штриховкой (рис. 6) или их обломков. Призматические, дипирамидальные кристаллы и окатанные зерна исключительно редки. Окраска брукита желтая, бурая, серая, зеленоватая, черная, часто пятнистая; блеск сильный алмазный, у измененного минерала жирный, матовый. Определяется брукит по форме зерен или кристаллов, по цвету, блеску. В иммерсионном препарате наблюдается сильный рельеф ($n_m=2,58$), двупреломление около 0,120; из-за большой дисперсии угла оптических осей ($\gamma > \vee$ для красного света и $\vee > \gamma$ для синего) брукит не погасает, меняя ин-

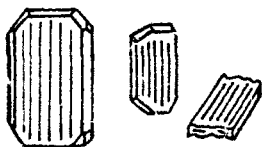


Рис. 6. Кристаллы брукита и обломок кристалла.

терференционную окраску. Оптически двуосный „+“, угол $2\vee$ небольшой, коноскопическая фигура с двумя парами гипербол. Брукит иногда напоминает рутил, сфен, бадделейт, от которых отличается по форме зерен, излому и оптическим свойствам. Зерна брукита часто мутнеют, светлеют и превращаются в неполные псевдоморфозы агрегата рутила по брукиту (лейкоксенизация).

Лейкоксен — землистый или скрытокристаллический агрегат рутила (иногда анатаза), образующийся при изменении минералов титана. Лейкоксен образует псевдоморфозы по ильмениту, титаномagnetиту, сфену, перовскиту; лейкоксенизируются анатаз и брукит. Лейкоксен слагает мелкозернистые агрегаты округлой или уплощенной формы, непрозрачные под бинокуляром. Цвет лейкоксена светло-серый,

серый, светлo-желтый, серовато-бурый, коричневатый. Окраска нередко пятнистая из-за механических включений. Блеск жирный или матовый, излом неровный, фарфороподобный, на изломе заметны мелкие участки с сильным блеском. Раздавливается лейкоксен чаще легко, порошок светлый. В препарате агрегаты непрозрачны, тонкий порошок кажется непрозрачным из-за сильного рельефа; при введении линзы Лазо некоторые зерна просвечивают, с анализатором в них заметно высокое двупреломление. При косом освещении препарата сверху порошок выглядит светлo-желтым. Неполные псевдоморфозы по ильмениту, чаще гайкоподобной формы, присутствуют в электромагнитной фракции.

Лейкоксен похож на малакон (измененный циркон), на агрегаты клиноцоизита и гидрооксидов железа, от которых отличается по цвету порошка и оптическим свойствам. Зерна анатаза, брукита, сфена нередко частично лейкоксенизируются, становятся мутными, плохо просвечивающими и погасающими агрегатно. Если по морфологии зерен можно предполагать первичный минерал, то он и указывается в описании шлиха.

Касситерит, генетически обычно связанный с гранитоидами, из-за высокой плотности (6,8-7,0) переносится речными потоками на небольшие расстояния (менее 15-25 км) и практически не окатывается, встречаясь в виде кристаллов, их сростаний или угловатых обломков. Касситерит из гранитных пегматитов характеризуется дипирамидальной формой крупных кристаллов; из грейзенов и высокотемпературных жил - призматически-дипирамидальным обликом (рис. 7, слева). В таких месторождениях касситерит ассоциирует с топазом, турмалином, вольфрамитом, арсенопиритом, молибденитом, флюоритом. В сульфидно-

касситеритовых жилах он имеет дипирамидально-усеченный или призматический облик, очень характерны двойники. На поздних этапах формирования таких тел и в месторождениях меньших

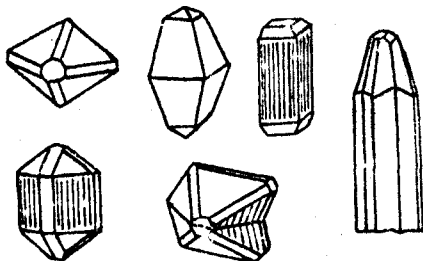


Рис. 7. Облик кристаллов касситерита; внизу в центре - двойник.

глубин касситерит приобретает столбчатый облик с гранями дипирамид (рис. 7, справа). Такие кристаллы обычно мелкие и сопровождаются сульфидами. В близповерхностных месторождениях присутствуют и натёчные, скорлуповатые агрегаты ("деревянистое олово").

Дипирамидальный касситерит в повышенных количествах содержит примеси Nb , Ta , Fe , Mn ; он имеет полуметаллический блеск, темно-бурю до черной окраску. Призматически-дипирамидальные кристаллы бурого или коричневого цвета имеют на гранях алмазный блеск, часто сдвойникованы, на их поверхности обычна комбинационная и индукционная штриховка. Нередко в зернах видна ритмично повторяющаяся зональность, подчеркиваемая окраской. Столбчатые и длинно-призматические кристаллы обычно желтовато-бурные, красноватые, светло-коричневые и даже бесцветные, окраска нередко пятнистая. Примесей в таком касситерите мало, двойники и зональное строение обычны, размеры кристаллов редко превышают 0,5-1,0 мм в длину.

В иммерсионных препаратах касситерит нередко плеохроирует, двупреломление высокое, рельеф сильный ($n_o = 2,0$). Раздавливается минерал с трудом (высокая твердость, несовершенная спайность), излом неровный. Темноокрашенный касситерит похож на рутил, брукит, гематит; светлоокрашенный - на циркон, сфен, анатаз. Важно учитывать форму кристаллов касситерита, двойники, зональность, алмазный блеск, неровный излом, рельеф зерен в иммерсионных препаратах. Наиболее надежный способ диагностики касситерита - обработка отдельных зерен или всей фракции на цинковой пластинке раствором HCl (1:1) - касситерит покрывается светло-серой, чаще блестящей пленкой олова.

Бадделейт (ZrO_2) встречается изредка в виде удлиненно-таблитчатых кристаллов или зерен, нередко сдвойникованных. Цвет у него желтый, серый, светло-коричневый, темно-бурый до черного, алмазный на гранях или жирный на изломе блеск. Под микроскопом прозрачен, есть слабый плеохроизм; угол $2V_{\text{м}} = 2,19$. Бадделейт похож на брукит, сфен, касситерит; отличается от них формой кристаллов, двупреломлением, погасанием и ассоциацией минералов, свойственной комплексам щелочно-ультраосновных пород.

Шпинель в единичных зернах присутствует в шлихах из районов развития различных пород. В немагнитной фракции присутству-

ет шпинель лишь бесцветная, розовая, голубая, бледно-зеленая; богатая железом шпинель (зеленая, темно-зеленая, бурая до черной, т.е. плеонаст, герцинит) присутствует в электромагнитных фракциях.

Для шпинели характерны октаэдрические кристаллы, изометричные зерна или угловатые обломки с раковинчатым изломом. Спавляется шпинель с трудом - твердость высокая, спайности нет. Шпинель изотропна, со стеклянным блеском; у собственно шпинели $n = 1,718 - 1,740$, у плеонаста $n = 1,750 - 1,780$ и выше. По внешнему виду шпинель похожа на алмаз, анатаз, циркон (у которых показатели преломления выше), на корунд (анизотропен), на гроссуляр, демантоид (показатели обычно выше, аномальное двупреломление), на альмандин (выше показатель преломления, характерен для электромагнитной фракции).

Перовскит - редкий минерал шлихов, обычно приуроченный к комплексам щелочно-ультраосновных пород. Он состоит изометричные зерна с неровной поверхностью и сильным блеском. Реже встречаются кубические, кубо-октаэдрические кристаллы или их обломки. Перовскит имеет черный, черно-бурый, темно-серый, иногда светло-коричневый, буроватый и светло-серый. На ровных плоскостях блеск от полуметаллического до алмазного, порошок светлый, сероватый. Под микроскопом перовскит (а также лопарит) просвечивает серым или коричневым; анизотропен, двупреломление $0,002 - 0,008$; заметно полисинтетическое двойникование. В препаратах перовскит лучше смотреть с линзой Лазо и в тонких зернах. Перовскит похож на темноокрашенный рутил (чаще удлиненные зерна, высокое двупреломление), на хромшпинелиды (изотропны и парамагнитны), на измененный пирит (порошок бурый, коричнево-красный или черный).

Пироксеноид встречается в областях развития метасоматически измененных гранитоидов, различных пегматитов, щелочных пород, контактово-метасоматических зон около интрузий. Реже встречается богатый танталом микролит. Минералы группы пироксеноидов образуют октаэдрические, иногда с гранями куба кристаллы желтого, бурого, коричневого, темно-серого и почти черного цвета; порошок светлый, буроватый. На редко встречающихся ровных гранях блеск алмазный, на корродированных поверхностях и неровных изломах - смоляной, жирный, тусклый. В иммерсионном препарате пироксеноид просвечивает; изотропен, имеет заметный рельеф ($n = 2,15 - 1,90$). Пироксеноид

похож на рутил, бурый циркон, сфен, монацит (иная форма зерен, высокое двупреломление), на сфалерит (у последнего совершенная спайность, твердость ниже), на андрадит (парамагнитный минерал), на перовскит (аномально двупреломляет).

Диаспор - редкий минерал шлихов, состоящий таблитчатые или чешуйчатые зерна белого, желтого или серого цвета. Блеск стеклянный или перламутровый; раздавливается легко из-за спайности в одном направлении. Чешуйчатые зерна хорошо просвечивают, $n_m = 1,722$, двупреломление 0,048, угол $2V_{m+}$ большой. Похож на слюды (парегонит), на кианит; отличается от них по оптическим свойствам.

Кварц - минерал легкой фракции, сохраняющийся в шлихах при неаккуратном их разделении или сохраняющийся в составе сростаний с тяжелыми минералами. Он встречается в виде угловатых зерен со стеклянным блеском или окатанных, имеющих неровную, мелкобугорчатую поверхность и слабый блеск. Раздавливается с трудом, на стекле оставляет царапину. Определяется по оптическим свойствам: в иммерсионной жидкости с $n = 1,544 - 1,553$ цветные полосы Бекке, отсутствие рельефа, невысокое двупреломление.

Силикаты

Циркон - один из распространенных минералов немагнитной фракции. Он встречается в виде кристаллов различной сохранности, их обломков и окатанных в разной степени зерен. Этот минерал разнообразен по окраске: бесцветный, белый, серый, розовый, лилово-красный, сиреневый, бурый, коричневый до почти черного. Циркон прозрачен или просвечивает, блеск сильный стеклянный до алмазного, раздавливается с трудом, осколки - с неровным изломом.

По морфологии различают кристаллы циркона цирконового типа (рис. 8, слева), габитусными формами в которых являются грани призмы (IIO) и дипирамиды (III). Такой циркон обычно является поздним минералом, чаще в щелочных породах и нередко имеет метасоматическое происхождение, насыщен включениями. Кристаллы гнацинового типа (рис. 8, в центре), с гранями призмы (IC0) и дипирамиды (III), встречаются в гранитоидах натриевого ряда, в легматитах, кварцевых жилах. Для циркона гранитоидов характерно появление граней дитетрагональной дипирамиды (3II), имеющей различное развитие. Часто встречаются промежуточные по типу огранки кристаллы - цирконово-гнациновые, с гранями острых дипирамид,

характерные для биотитовых гранитов, гранодиоритов, диоритов. В регионально-метаморфических породах присутствуют удлиненные кристаллы циркона с острыми дипирамидами - копьевидный тип (рис. 8, справа). По соотношению площадей развития наиболее типичных для циркона двух призм, дипирамид и дитетрагональной дипирамиды иногда различают до сотни морфологических разновидностей типов кристаллов.

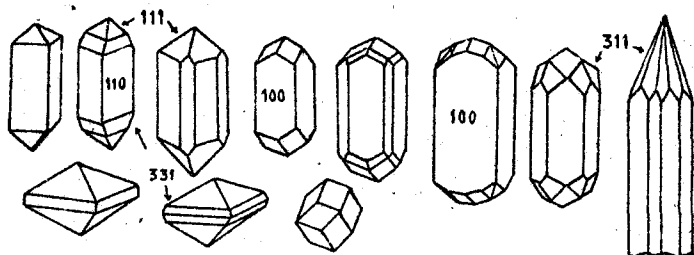


Рис. 8. Типы кристаллов циркона.

Важной морфологической особенностью кристаллов циркона, наряду с их габитусом, являются облик и морфометрические данные. Одним из таких параметров является удлинение - отношение длины к поперечному размеру. Удлинение обусловлено преимущественно степенью развития габитусных призм. У простых по форме кристаллов удлинение уменьшается до I с увеличением щелочности минералообразующей среды и понижением температуры образования минерала. Удлинение возрастает до 8-12 с уменьшением глубины формирования массивов и в приконтактовых зонах, то есть оно зависит от скорости кристаллизации пород (Ляхович, 1979).

В обломочных породах, особенно претерпевших несколько этапов переотложения, циркон присутствует в виде хорошо окатанных слабо удлиненных или сферических зерен с ровной блестящей поверхностью. В древних осадочных породах встречается много зерен, имеющих яркую малиново-красную окраску.

Диагностируется циркон по форме кристаллов, цвету, блеску; в иммерсионном препарате наблюдается высокий рельеф ($n_o = 1,93 \pm 1,89$), двупреломление около 0,050, погасание прямое. У измененного циркона (малакона) показатели преломления снижаются, минерал мутнеет, становится белесым и парамагнитным. Циркон нередко бывает похож на рутил (у которого блеск и рельеф сильнее, есть спайность, чаще

инно оттенки окраски), на сфен и касситерит (отличие в блеске, форме кристаллов, окраске). Окатанные зерна циркона внешне напоминают шпинель и гранат, которые изотропны.

Форстерит в шлихах редок из-за неустойчивости к выветриванию и небольшой абразивной стойкости. Он встречается в виде изометричных зерен с очень неровной поверхностью и слабым блеском. Цвет белый, желтый, бледно-зеленоватый. Более железистый минерал - оливин - электромагнитен. Форстерит похож на сфен, апатит, клиноцоизит, от которых отличается по оптическим свойствам, рассмотренным ниже, при характеристике оливина.

Сфен (титанит) присутствует в шлихах в виде кристаллов, их обломков и, реже, полуокатанных зерен. Кристаллы его очень своеобразны, что облегчает диагностику минерала. Уплотненные его кристаллы характерны для кислых и средних пород, призматические - для щелочных пород, ромбовидные и конвертообразные кристаллы (рис. 9) приурочены к областям развития измененных основных эффузивов, различных сланцев, жил альпийского типа. На кристаллах

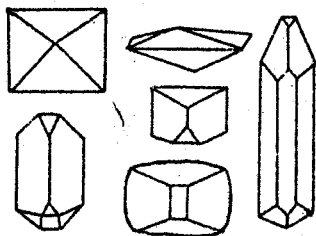


Рис. 9. Облик кристаллов сфена.

любой формы можно наблюдать сечения в форме острого ромба, а на обломках кристаллов - тупые углы между некоторыми гранями. Даже на полуокатанных линзовидных зернах, лежащих плашмя, можно заметить реликты граней и тупые углы между ними.

Цвет сфена белый, зеленоватый, бурый различной интенсивности, коричневый. Блеск стеклянный до алмазного, на изломе - жирный или матовый. На неровных гранях блеск жирный, а на окатанной поверхности - сильный стеклянный. Неизменный сфен раздавливается с трудом, лейкоксенизированный - легко. Под микроскопом виден сильный рельеф ($n_{\alpha} = 1,91 \pm 1,97$), высокое двупреломление (0,135-0,180). Угол $2V_{\alpha+}$, небольшой, сильная дисперсия; на уплотненных кристаллах часто получается четкая коноскопическая фигура с выходом острой биссектрисы, или оптической оси.

Определяется сфен легко, если присутствует в кристаллах; в сложных случаях диагностика уточняется по оптическим свойствам

и реакции на титан (см.с. 23). Сфен похож на монацит, ставролит (у сфена выше показатели преломления и двупреломление), на бадделит (редок), на андрадит, икселит (у сфена высокое двупреломление), на циркон, рутил, касситерит, от которых обычно отличается по форме кристаллов или зерен, по блеску и окраске.

Топаз в кристаллах призматического облика с характерной штриховкой (рис.10) в шлихах редок. Не чаще встречаются и остроугольные обломки с плоскостями спайности, а также молочно-белые слабо окатанные зерна. Раздавливается топаз с трудом из-за высокой твердости, несмотря на хорошую спайность в одном направлении.

У топаза $n_m = 1,620$ ($1,61 \div 1,63$), двупреломление $0,007-0,011$, угол $2V_{n+}$ средний. Топаз похож на кварц, у которого $n_o = 1,544$; на барит (спайность в нескольких направлениях, низкая твердость), апатит (нет спайности, ниже двупреломление), на циркон, кианит, шпинель (у них $n > 1,70$).

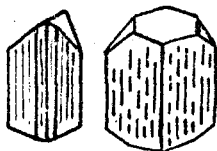


Рис.10. Форма кристаллов топаза.

Кианит (дистен) распространен достаточно широко (породообразующий минерал, перенос ледником, устойчивость к выветриванию). Этот минерал легко узнается по своеобразной форме зерен - удлиненно-таблитчатой, почти прямоугольной, сохраняющейся даже при окатывании (рис.11). Как правило, всегда хорошо заметны трещинки спайности, идущие в трех почти взаимно перпендикулярных направлениях. Минерал бесцветный, белый, реже голубой, зеленоватый, окраска бывает пятнистой; нередко он приобретает серый цвет из-за включений графита и кажется иногда непрозрачным. У окатанных зерен блеск чаще перламутровый, на плоскостях спайности стеклянный. Раздавливается кианит легко на призматические зерна, большинство из которых в препарате имеет косое погасание (относительно спайности по (100) погасание почти прямое); $n_m = 1,720$, двупреломление $0,012-0,016$; угол $2V_{n-}$ большой. Спутать кианит можно с баритом, целестином, апатитом, силлиманитом, тремолитом, у которых показатели преломления ниже; с цирконом ($n > 1,78$).

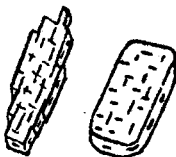


Рис.11. Зерна кианита.

Силлиманит встречается в виде призматических и угловатых, слабо окатанных зерен со стеклянным блеском. Агрегаты тонковолокнистого силлиманита окатываются лучше и отличаются шелковистым блеском. Минерал бесцветный, белый, зеленоватый, буроватый; раздавливается средне, но спайность хорошо заметна лишь под микроскопом. В иммерсионном препарате - прямое погасание, $n_m = 1,658 - 1,670$, $n_g - n_p = 0,020$; угол $2V_{++}$, небольшой. В тонковолокнистых агрегатах погасает отдельными участками и установить прямое погасание трудно. Отличие от похожих на него кианита, тремолита, андалузита, клиноцоизита - по оптическим свойствам. Обломки прозрачных зерен похожи на апатит и кварц.

Андалузит в шлихах редок, присутствует преимущественно в областях развития измененных кислых эффузивов, в приконтактовых зонах гранитоидных интрузий, в роговиках, в некоторых кристаллических сланцах. Обычны призматические зерна, угловатые изометричные обломки белого, желтоватого, розового, буроватого, серого цвета; нередко минерал содержит включения глинистых и углистых частиц (хиастолит). Раздавливается хиастолит с трудом, излом часто неровный, блеск слабый. В препаратах под микроскопом погасание прямое, $n_m = 1,630 - 1,640$; $n_g - n_p = 0,007 - 0,020$; угол $2V_{++}$ большой, иногда $-\infty$. Андалузит похож на силлиманит (показатель выше), на барит, апатит, топаз, от которых отличается с трудом при учете ориентировки спайности, двупреломления, оптической ориентировки и др.

Клиноцоизит как практически безжелезистый минерал группы эпидота присутствует в немагнитной фракции, хотя вместе с эпидотом находится и в электромагнитной фракции. В прозрачных зернах редок, чаще встречается в виде мелкозернистых агрегатов в сростании с другими минералами в виде псевдоморфоз по плагиоклазам (сосюрит). Цвет клиноцоизита белый, розоватый, бледно-зеленый (переход к эпидоту), серый. Блеск слабый, раздавливается легко. Минерал диагностируется, под микроскопом по оптическим свойствам: $n_m = 1,710 - 1,715$; $n_g - n_p = 0,005 - 0,010$; угол $2V_{++}$ большой, из-за дисперсии минерал плохо погасает, в мелкозернистом агрегате погасает пятнами. Цоизит отличается аномальной интерференционной окраской, несколько более низкими показателями преломления, прямым погасанием. Клиноцоизит похож на барит, апатит, андалузит, фортерит, от которых отличается в первую очередь более высоким значением n_m .

Пироксены в немагнитной фракции очень редки и представлены, как правило, практически безжелезистыми разновидностями. Это чаще диопсид белого, бледно-зеленого, розового цвета в виде короткопризматических спайных обломков. Определяется он по оптическим свойствам, рассмотренным при общей характеристике пироксенов как минералов, типичных для электромагнитной фракции.

Сподумен - единственный пироксен, характерный для немагнитной фракции; минерал очень редкий. Встречается он в призматических зернах белого, зеленоватого, желтоватого, розоватого или серого цвета; блеск у него стеклянный или перламутровый, спайность по призме четкая. Оптические свойства, по которым определяется сподумен: $n_m = 1,660-1,670$; $n_g - n_p = 0,015-0,025$, погасание косое, угол $2V_{n+}$ средний. Минерал похож на ромбические пироксены и амфиболы, у которых прямое погасание, плеохроизм; они чаще являются парамагнитными.

Тремолит, в отличие от других амфиболов, присутствует и в немагнитной фракции. Как правило, он встречается в виде обломков призматических кристаллов или спайных выколов с сильным блеском. Минерал бесцветный, голубоватый, бледно-зеленый. Диагностируется он по спайности и оптическим свойствам: $n_m = 1,615 - 1,625$; $n_g - n_p = 0,020-0,030$; погасание косое ($10-12^\circ$, если зерно лежит на плоскости спайности), угол $2V_{n-}$ большой. Тремолит похож на кианит, силлиманит, сподумен, волластонит, от которых отличается углом спайности, погасанием, показателями преломления. От других амфиболов отличается светлой окраской из-за низкой железистости, но переходы к парамагнитному актинолиту постепенные.

Турмалин, как и другие магнезиально-железистые силикаты, чаще является парамагнитным минералом и присутствует в соответствующих фракциях. Однако часть турмалина остается при разделении шлиха среди диамагнитных минералов. Это светло-зеленые, буровато-зеленые, розовые короткопризматические кристаллы с характерным поперечным сечением, хорошо окатанные зерна со стеклянным блеском. Светлоокрашенные турмалины имеют $n_o = 1,630-1,65$; четкий плеохроизм, раковинчатый излом. Подробнее свойства минералов этой группы рассмотрены ниже.

Парагонит - натриевая слюда, по плотности сохраняющаяся в шлихе. Диагностируется по чешуйчатой форме зерен, спайности, небольшому двупреломлению в чешуйках; n_m около 1,60. В шлихе:

встречаются агрегаты тонкочешуйчатого мусковита с находящимися обычно внутри зернами тяжелых минералов. Это обломки слюдяных сланцев, которые чаще рассматриваются как загрязнения шлиха. Преобладающий здесь мусковит обычно имеет показатели преломления немного ниже по сравнению с парагонитом.

Полевые шпаты также являются посторонними примесями в разведенном шлихе. При загрязнении этими легкими минералами они накапливаются в немагнитной фракции. Как правило, это спайные обломки со стекляннм блеском, которые диагностируются по невысоким значениям показателей преломления (1,52-1,57), небольшому двупреломлению. Присутствуют в шлихе зерна и измененных полевых шпатов, замутненные белые, желтые, буроватые зерна. Иногда они сложены очень мелкозернистым агрегатом вторичных минералов и дают точечное агрегатное потемнение.

Фосфаты, сульфаты, карбонаты, фториды

Апатит неустойчив при выветривании и имеет невысокую абразивную стойкость, в связи с чем в шлихах он относительно редок. Кристаллы апатита призматические, с гранями дипирамид и базопинакоида (рис. 12), иногда изометричные и даже таблитчатые.

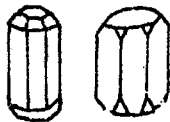


Рис. 12. Форма кристаллов апатита.

Удлиненные кристаллы рассматриваются как ранние в магматических породах, более поздние генерации представлены короткопризматическими кристаллами; постмагматический апатит нередко образует округлые зерна с включениями в осевой части (Ляхович, 1979).

Окатанные и полуокатанные зерна удлиненные, овальные, с неровной поверхностью, иногда сохраняют шестиугольное сечение. Блеск у них слабый стеклянный или жирный. Обломки неправильной формы, угловатые. Апатит бесцветный; белый, зеленоватый, голубой плеохроирующий, розоватый, бурый или серый из-за включений. Минерал раздавливается легко, излом неровный. Определяется апатит по оптическим свойствам - одноосный "-", двупреломление низкое. Показатели преломления варьируют в зависимости от состава (табл. 4).

В шлихах встречаются также скучтокристаллические агрегаты бурого цвета, радиально-лучистые стяжения (фосфориты), фосфатизированные обломки раковин, имеющие слоистое строение.

ние, пластинчатую или выпукло-вогнутую форму. Такие зерна трудно диагностировать по оптическим свойствам, поэтому применяется качественная реакция на фосфор - зерна обрабатывают азотной кислотой (1:1), после частичного растворения добавляют порошок молИБденово-кислого аммония, вокруг фосфата появляется ярко-желтое окрашивание.

Т а б л и ц а 4

Оптические свойства минералов группы апатита

Минерал	n_o	n_e	$n_o - n_e$
Фторапатит	1,633	1,629	0,004
Хлорапатит	1,667	1,666	0,001
Гидроксилапатит	1,651	1,644	0,007
Mn -фторапатит	1,643	1,633	0,005
Sr -фторапатит	1,638	1,634	0,004
Карбонат-апатиты	1,610-	1,605-	0,005-
	-1,630	-1,624	-0,010
Франколит	1,600-	1,597-	0,004-
	-1,628	-1,623	-0,007

Апатит внешне похож на кварц (показатели преломления ниже), на силлиманит, корунд, шеелит (показатели выше), на топаз, барит, андалузит (спайность, диагностические реакции, точное определение показателей преломления).

Пироморфит и другие вторичные минералы свинца, относящиеся также к группе апатита, по форме кристаллов или обломков напоминают последний. Они отличаются более сильным блеском, до алмазного, высокими показателями преломления (около 2,0) и более часто наблюдающейся зеленой, желтой, бурой окраской.

Шеелит, относящийся к вольфраматам, труден для диагностики из-за сходства с другими минералами. Шеелит встречается чаще всего в зернах неправильной формы белого, желтоватого, зеленоватого, буроватого цвета, имеющих неровный излом и слабый жирный блеск. Такие зерна ошибочно могут быть приняты за барит, апатит, малакон, сфен, гроссуляр, клиноцоизит, карбонаты и др. минералы. Шеелит раздавливается средне, в тонких зернах хорошо просвечивает, оптически одноосный "+"; у него $n_o = 1,92$; $n_e - n_o = 0,016$. Ст большинства похожих минералов шеелит отличается высоким значением n_o , а от сфена и карбонатов - двупреломлением. Шеелит час-

то люминесцирует в УФ голубым, поэтому для его обнаружения всю немагнитную фракцию просматривают под люминесцентной лампой, а светящиеся зерна обязательно проверяют под микроскопом, так как свечение может наблюдаться и у других минералов шлиха; кварц и органические загрязнения также люминесцируют.

Барит из-за низкой абразивной стойкости имеет небольшую миграционную способность и в шлихах редок. Преобладают спайные уплощенно-призматические обломки со слегка ступенчатой поверхностью; кристаллы имеют различный облик, но чаще таблитчатую форму. Встречаются в шлихах и радиально-лучистые сферолиты аутигенного происхождения. Барит редко прозрачен, иногда зонален, чаще белый, иногда серый, голубоватый, буроватый. Хрупок, раздавливается легко из-за спайности, углы между плоскостями спайности тупые, острые и прямые. Под микроскопом видно симметричное или прямое погасание, в жидкости с $n = 1,636$ слабая псевдоабсорбция. У барита $n_o = 1,648$; $n_m = 1,637$; $n_p = 1,636$; угол $2V_{m+}$ небольшой.

По внешнему виду барит похож на кианит, силлиманит, полевые шпаты, шеелит, апатит, карбонаты. От большинства этих минералов барит отличается значениями показателей преломления; от апатита - хорошей спайностью, от карбонатов группы кальцита - двупреломлением и углами спайности.

Целестин и внешне, и по оптическим свойствам очень похож на барит. Величина n_m у него ниже, чем у барита, 1,623, однако для их различия требуются специальные приемы (Татарский, 1965).

Ярозит в виде мелкозернистых агрегатов желтого цвета присутствует в шлихах, взятых вблизи от участков развития зон окисления сульфидов. Встречаются и его псевдоморфозы по пириту, имеющие светло-желтую или серую окраску. Из-за мелкозернистости диагностика по оптическим свойствам затруднена: $n_o = 1,820$; $n_e = 1,71$; наблюдается плеохроизм.

Кальцит и доломит относятся к минералам легкой фракции, но могут присутствовать в шлихах в качестве загрязнений. Повышенную плотность из диамагнитных карбонатов группы кальцита имеет магнезит. Однако большинство карбонатов этой группы содержат в переменных количествах Fe и Mn, становятся парамагнитными и находятся обычно в электромагнитной фракции. Все карбонаты легко диагностируются по высокому двупреломлению, наличию совершенной

спайности по ромбоэдру. Характеристика этих минералов приводится в следующем разделе.

Церуссит, карбонат группы а, угонита, легко разрушается, в связи с чем он встречается лишь вблизи от коренных источников, как правило - зон окисления сульфидных месторождений. Для него характерны зернистые агрегаты, удлиненные зерна и угловатые обломки. Цвет церуссита белый, серый, буроватый из-за примеси лимонита, зеленоватый из-за включений медь-содержащих минералов. Часто церуссит образует пленки вокруг зерен галенита. Блеск сильный, алмазный на ровных плоскостях и жирный на изломе. Раздавливается минерал легко, спайность у него средняя. Оптические свойства: $n_m = 2,07$; $n_g - n_p = 0,280$; угол $2V_{m-n} = 8-10^\circ$, сильная дисперсия. Нередко наблюдается люминесценция. Церуссит похож на англезит (оптически "+", $2V$ большой, $n_g - n_p = 0,017$), стронцианит ($n_m = 1,666$), барит ($n_m = 1,637$, спайность хорошая), на пироморфит и шеелит ($n_o - n_e = 0,010$). В сложных случаях следует сделать реакцию на свинец с HCl на цинковой пластинке или, после растворения минерала, добавив раствор иодида калия, получить ярко-желтый осадок PbI_2 .

Витерит в шлихах редок и может быть встречен в районах развития барито-флюоритовых жил, в некоторых серных месторождениях. Как и большинство других карбонатов, отличается высоким дву-преломлением, $2V_{m-n}$ небольшой; $n_m = 1,676$.

Флюорит в связи с небольшой абразивной стойкостью и низкой миграционной способностью редко встречается в шлихах и диагностируется иногда с трудом, особенно если представлен белыми или бесцветными зернами. Флюорит желтого, зеленоватого, голубого, лилового, фиолетового цвета и пятнисто-окрашенный узнается легко. Обычно флюорит присутствует в виде угловатых зерен, спайных осколков, очень редок в виде слабо окатанных зерен. Флюорит изотропен, $n = 1,434-1,436$, слабый блеск. В иммерсионном препарате с $n_{ж}$ около 1,54 заметен рельеф; у флюорита он отрицательный, что устанавливается по движению полоски Бекке или, более надежно, методом заслонки. При повышенном содержании редких земель показатель преломления флюорита повышается до 1,442-1,455.

Флюорит похож на кварц, апатит, корунд, циркон, барит, от которых отличается изотропностью; похож на шпинель и гранаты, отличие от которых в низком светопреломлении, небольшой твердости и наличии спайности.

МИНЕРАЛЫ ЭЛЕКТРОМАГНИТНЫХ ФРАКЦИЙ

При лабораторной обработке шлиховых проб могут быть выделены, в зависимости от условий разделения, либо одна, либо несколько электромагнитных фракций различающегося состава. Так как парамагнитность минералов зависит от концентрации элементов - магнетофоров, то представители одного минерального вида могут распределяться по нескольким фракциям. В этих фракциях присутствуют платиноиды, оксиды и гидроксиды железа, марганца, многие породообразующие силикаты различной железистости, часть карбонатов, минералы рудных земель и т.д.

Металлы, оксиды и гидроксиды

Платина, как и другие металлы ее группы, встречается в районах развития основных и ультраосновных пород различных формационных типов. Для платины характерны неправильные зерна, крючковатые, гусчатые, пластинчатые, лепешковидные или изометричные обособления. Цвет платины светло-серый, блеск металлический; минерал ковкий, с твердостью 4-5. Платина легко диагностируется по физическим свойствам и спутать ее с другими минералами весьма трудно. В зависимости от содержания примесей платина может быть в различных по магнитной восприимчивости фракциях, а ферроплатина нередко концентрируется в магнитной фракции, где ее иногда путают с неокисленной железной стружкой.

Осмиид, в отличие от платины, образует пластинчатые или таблитчатые кристаллы (гексагональная сингония), встречаются и спайные обломки. Цвет от оловянно-белого (больше иридия) до свинцово-серого; твердость около 7, блеск металлический, минерал хрупкий и упругий.

Гематит в шлихах встречается в разной форме. Это могут быть таблитчатые кристаллы, их обломки или уплощенные скаланные зерна. Такой гематит с ровной поверхностью имеет металлический или металловидный блеск, темно-серый до черного цвет. Если при окатывании поверхность зерен становится неровной, то блеск тускнеет и проявляется буровато-красный оттенок. Желкочешуйчатые агрегаты гематита (железослюдковый сланец) отличаются серым цветом и легко раздавливаются на тонкопластинчатые зерна.

В шлихах встречаются и скрытокристаллические агрегаты - красный железняк. Такой гематит слагает округлые обособления, оолиты, гроздевидные скопления, землистые массы. Для красного железняка характерны темно-красный или буровато-красный цвет, слабый из-за неровной поверхности блеск, легкая раздавливаемость. Нередко гематит образуется непосредственно в рыхлых отложениях или слагает псевдоморфозы по магнетиту (мартит) и другим минералам.

Гематит диагностируется по цвету и форме зерен, по темному вишнево-красному цвету порошка. В препаратах под микроскопом он просвечивает в тонких зернах темно-красным. При введении анализатора вид и цвет осколков зерен практически не меняется - гематит анизотропен, но его высокое двупреломление маскируется собственной окраской (он прозрачен только для красной - длинноволновой - части видимой области оптического диапазона). Для усиления интенсивности просвечивания при проверке зерен гематита выбирают тонкие осколки и вводят линзу Лазо. Гематит похож на ильменит, пиролюзит (цвет черты, непрозрачность), хромшпиделиды (просвечивают, но изотропны), гетит, лимонит, вольфрамит, ортит, колумбит (иной цвет порошка, в тонких осколках можно увидеть интерференционную окраску).

Ильменит по внешнему виду очень похож на гематит. Кристаллы его также имеют таблитчатую форму при хорошо развитом пинакоиде или близки к изометричным при одинаковом развитии граней пинакоида и ромбоэдра (рис. 13); иногда комбинация этих простых форм напоминает октаэдр. Окатанные зерна ильменита часто сохраняют уплощенную форму. Мелкие кристаллы ильменита с гранями ромбоэдра, изометричные или толстотаблитчатые, особенно характерны для метаморфизованных средних и основных пород, для различных сланцев. Пластинчатые зерна и кристаллы чаще встречаются в различных интрузивных породах.

Цвет ильменита черный, иногда буроватый (переход к гематиту, пикроильмениту, пирофаниту), чер-

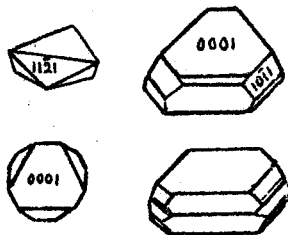


Рис. 13. Облик кристаллов ильменита.

та черная, реже буро-черная или коричневато-черная, излом неровный, блеск металлический или металлоидный. Под микроскопом собственнo ильменит не просвечивает даже в очень тонких осколках, а разновидности, содержащие Mg и Mn , просвечивают темно-бурым, анизотропны. При проверке диагностики ильменита необходимо применять линзу Лао и большое увеличение. Ильменит часто покрыт пленками лейкоксена, имеющими светлый цвет и слабый матовый блеск. Такие пленки образуются и при кипячении зерен ильменита в серной кислоте. Ильменит похож на колумбит (хорошо просвечивает и четко двупреломляет), на гематит (просвечивает красным, анизотропен), на хромшпинелиды (просвечивают, изотропные), иногда - на железистые роговые обманки (хорошая спайность, в обломках прозрачны, двупреломляют и т.д.).

Герцинит и плеонаст - алюмошпинелиды, содержащие железо наряду с магнием. Герцинит очень редок, плеонаст, в отличие от собственнo шпинели, присутствует в электромагнитной фракции. Он имеет зеленый различных оттенков, буро-зеленый, бурый цвет, стеклянный блеск; раздавливается с трудом. Такие алюмошпинелиды имеют более высокие показатели преломления ($n = 1,75 - 1,83$) по сравнению со шпинелью; отличаются также окраской и повышенной магнитной восприимчивостью. Плеонаст похож на турмалин (анизотропен, плеохроирует), на хромшпинелиды (у них блеск сильнее, окраска интенсивнее).

Хромшпинелиды, имея высокую миграционную способность, в небольших количествах встречаются относительно часто. В шлахтах они присутствуют в октаэдрических кристаллах, в виде изометричных, нередко округленных зерен и остроугольных обломков. При общей формуле хромшпинелидов $(Fe, Mg)(Cr, Al, Fe)_2O_4$ в зависимости от вариаций состава (хромит, магнохромит, алюмохромит, хромпикотит, хромплеонаст, феррохромит) блеск меняется от полуметаллического антрацитоподобного до смолиного, а цвет - от черного до буровато-черного и темно-коричневого. Окатываются хромшпинелиды плохо, раздавливаются с трудом, образуя осколки с кривыми поверхностями (раковинчатый излом), которые у тонких краев просвечивают лучше.

Под микроскопом легко устанавливается изотропность хромшпинелидов при высоком рельефе ($n = 1,95 - 2,16$). В тонких осколках можно различить слабо просвечивающие бурым минералы, близкие по составу к хромиту; просвечивающие коричневым алюмохромиты; отчетливо просвечивающие хромпикотиты, имеющие светло-ко-

ричный или зеленовато-бурый цвет. От ильменита и гематита хромшпинелиды отличаются формой зерен, просвечиваемостью и изотропностью, от палеонаста - показателем преломления и цветом, от соединений марганца - высокой твердостью и блеском, от магнетита - цветом порошка, меньшей величиной магнитной восприимчивости.

Пирролизит встречается в шлихах в областях развития осадочных толщ, зон окисления, а также как аутигенный минерал. Он слагает землистые массы, стяжения, оолиты, корки, натечные агрегаты, часто в смеси с гидроксидами железа. Такие мелкозернистые агрегаты пирролизита характеризуются неровной поверхностью, матовым блеском и черным цветом. Пирролизит дает черного цвета порошок, непрозрачный под микроскопом, зерна раздавливаются без труда. При обработке минерала концентрированной соляной кислотой раствор приобретает темный зеленовато-бурый цвет, исчезающий от капли H_2O_2 . От ильменита, за который иногда ошибочно принимается, он отличается низкой твердостью, легкой раздавливаемостью, отсутствию окатанных зерен и диагностическими реакциями.

Гётит - распространенный в природе гидроксид железа, редко дающий мономинеральные обособления. Гётит (игольчатая железная руда) образует натечные, пористые, порошковидные агрегаты, изредка он встречается в игольчатых кристаллах или их обломках. Диагностируется гётит чаще как лимонит (гидрогётит). Определяется по желто-бурому, темно-бурому до черного цвету, бурой черте, просвечиваемости в тонких зернах, анизотропии. Под микроскопом можно различить пластинчатые или игольчатые обломки с прямым погасанием и сильным пельефом ($n_m = 2,40$). Тонкие спайные чешуйки имеют двупреломление, характеризующееся зелеными тонами второго-третьего порядка; такие пластинки при изменении длины волны проходящего света (используются монохроматор или светофильтры) меняют степень просвечиваемости в средней части видимого диапазона (полосы поглощения, связанные с $d-d$ переходами). Двупреломление сильное (0,140), иногда плеохроизм в желто-бурых тонах. Лепидокрокит при более сильном двупреломлении отличается чешуйчатой формой зерен и плеохроизмом в оранжевых тонах.

Лимонит как смесь гидроксидов железа, среди которых преобладает гидрогётит, морфологически очень разнообразен. Он обра-

зует округлые зерна, стяжения, оолиты, встречается в виде земляных масс и чечевицеобразных скоплений, нередко представляющих собой остатки колоний отмерших железобактерий. Лимонит присутствует в шлихах в виде псевдоморфоз по пириту, сидериту, магнетиту. В зависимости от минерального состава (гетит, гидрогетит, лепидокрокит, гидрогематит, примеси других минералов) и агрегатного состояния цвет лимонита меняется от охряно-желтого и бурого до темно-коричневого, почти черного.

Лимонит раздавливается легко, порошок всегда бурого цвета. В иммерсионном препарате лимонит может быть и непрозрачным, но в мелких частицах обычно просвечивает в бурых или желтых тонах, местами двупреломляет. При косом освещении препарата сверху порошок приобретает белесовато-бурый цвет, более окрашенный по сравнению с порошком лейкоксена. Агрегаты лимонита похожи на гематит (красный железняк), гидрооксиды марганца, измененные пирит и сидерит, от которых отличается формой выделений, цветом порошка, особенностями просвечиваемости зерен и агрегатов.

Манганит встречается редко, образуя, как правило, землястые агрегаты, стяжения или псевдоморфозы по другим минералам марганца (чаще - по родохрозиту). Цвет черный, порошок бурый, под микроскопом в тонких зернах красновато-коричневый; минерал анизотропный, из-за густой окраски интерференционные тона не заметны. Манганит встречается и в смеси со сложными оксидами марганца, гидрооксидами железа; такие смеси (зады) приобретают бурый цвет. Манганит растворяется в HCl с выделением хлора, раствор коричнево-бурый, окраска исчезает при добавлении капли H_2O_2 . Манганит трудно отличить от пиролюзита, псиломелана; при отличии от гематита и ильменита важно учитывать цвет порошка, характер просвечиваемости; иногда необходимы диагностические реакции.

Как следует из приведенной выше краткой характеристики оксидов и гидрооксидов, присутствующих в электромагнитной фракции, большинство минералов внешне похожи друг на друга; они напоминают также темноокрашенные рутил и касситерит с повышенной магнитной восприимчивостью. Их можно спутать также с вольфрамитом, колумбитом и темноокрашенными силикатами - ортитом, авгитом, роговой обманкой, титанистыми гранатами. При почти черной

окраске большинства из них только морфологические особенности не позволяют надежно различать эти минералы. Важными диагностическими признаками становятся цвет порошка, просвечиваемость в тонких осколках, анизотропия и двупреломление. Ниже приведено краткое сопоставление главных диагностических свойств минералов, имеющих черную или почти черную окраску в зернах:

1. Порошок черный, минералы непрозрачные даже в тонких осколках: ильменит, пиролюзит.

2. Порошок бурый, коричневый, темнокрасный, минералы просвечивают в тонких осколках:

- а) минералы изотропные: хромшпинелиды, Ti-гранаты;
- б) минералы плохо просвечивающие, раздавливаются с трудом, анизотропные: гематит, пикроильменит, (перовскит);
- в) минералы плохо просвечивающие, раздавливаются легко, анизотропные: гетит, лимонит, манганит; вольфрамит;
- г) минералы хорошо просвечивающие, обычно видна интерференционная окраска: ортит, авгит, роговые обманки, колумбит, танталит, вольфрамит.

3. Порошок светло-бурый, сероватый, белый:

- а) минерал кажется непрозрачным в тонких осколках, но при анализаторе заметно высокое двупреломление: рутил, лейкоксен;
- б) минерал изотропен: плеонаст, (ортит), Ti-гранаты, (перовскит);
- в) минерал анизотропен, четко видно двупреломление: каоцитерит, (ортит), авгит, роговые обманки, турмалин.

Не все из использованных свойств проявляются достаточно четко, поэтому ряд минералов повторяется в разных разделах, а при варьировании свойств названия даны в скобках.

Силикаты

Оливин и более железистый гортонолит, в отличие от форстерита, типичные электромагнитные минералы, парамагнетизм которых зависит от содержания преимущественно железа. В кристаллах и их обломках минералы группы оливина встречаются изредка и только около коренных источников. Зерна оливина в процессе разрушения быстро становятся изометричными и приобретают

мелкобугорчатую поверхность. Блеск оливина стеклянный, на неровной поверхности - жирный; раздавливается минерал средне, излом бугорчатый, но иногда проявляется спайность. Цвет зависит от содержания железа - светло-серый, желтый, зеленый, буро-зеленый, бурый. Уточняется диагностика по оптическим свойствам (рис. 14). Показатели преломления варьируют в зависимости от состава, характерны яркие

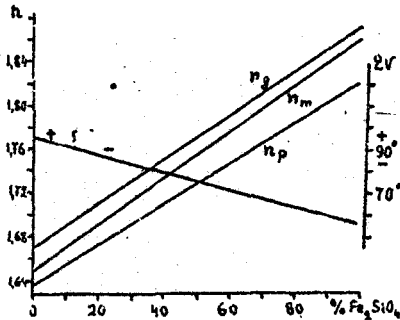


Рис. 14. Зависимость оптических свойств от состава оливина.

Форстерит более характерен для немагнитной фракции, у желто-зеленого оливина показатель преломления n_m меньше 1,72, а у эпидота такого же оттенка - больше. Пироксены по сравнению с оливином имеют лучше спайность, ниже двупреломление и обычно косое погасание. Ставролит отличается более низким двупреломлением и стабильно наблюдающимся плеохроизмом в желто-бурых тонах.

Гранаты, особенно близкие по составу к альмандину, встречаются во многих шлихах, особенно в областях развития метаморфических толщ и распротранения ледниковых отложений. Гранаты встречаются в виде изометричных кристаллов, угловатых обломков с неровным изломом и, реже, корродированных или окатанных зерен с шероховатой поверхностью. Кальциевые гранаты (уграндиты) относительно редки и различаются между собой по цвету и показателю преломления. Гроссуляр, имеющий белый, желтый или зеленоватый цвет, чаще присутствует в немагнитной фракции. Более железистые гранаты андрадитового состава имеют красноватый, зеленовато-бурый или темно-бурый цвет, а ти-

тона интерференционной окраски, иногда в обломках устанавливается прямое погасание. Маложелезистые члены ряда (форстерит) оптически "+", при содержании железистого минерала более 10-12 % оливин оптически "-", угол оптических осей уменьшается у фаялита.

Оливин внешне напоминает эпидот, диопсид, авгит, монацит, ставролит, от которых отличается по цвету и опти-

танистые гранаты - коричневого разной интенсивности и черные. Уваровит легко диагностируется по изумрудно-зеленой окраске. Кальциевые гранаты изотропны, но нередко у них проявляется низкое аномальное двупреломление; чаще они оптически неоднородны. Лишь близкие по составу кgrossуляру гранаты имеют показатели преломления в пределах стандартного иммерсионного набора (рис. 15). Магнезиально-железистые гранаты (пиральспиты) обычно розовые, красные, малиновые и различать их по цвету трудно. Лишь пироп из кимберлитов может быть лиловым, оранжевым или зеленоватым. Алмадин и пироп различаются по величине показателя преломления: для пироба он равен 1,705-1,755, при $n > 1,76$ гранат относится к альмандину. Алмадин из регионально-метаморфических пород нередко содержит включения различных минералов и приобретает из-за этого серый цвет, плохо просвечивает. Включения могут двупреломлять при разной ориентировке, что усложняет диагностику альмандина.

Кристаллы и угловатые зерна гранатов, преимущественно альмандина, узнаются без затруднений; окатанные зерна похожи на циркон, у которого высокое двупреломление. Пироп трудно отличить от розовой шпинели, если нет хотя бы обломков кристаллов. Титанистые гранаты по внешнему виду напоминают хромшпинелиды (блеск, цвет порошка, диагностические реакции), на ортит (двупреломление). Гроссуляр напоминает клиноцоизит, который чаще дает мелкозернистые агрегаты и имеет n_m около 1,70 при низком двупреломлении.

Ставролит в шлихах нередко ассоциирует с кианитом и альмандином, но присутствует обычно в меньших количествах. Иногда он встречается в кристаллах призматического габитуса, чаще - в виде угловатых обломков или слабо окатанных зерен с характерной неровной поверхностью. Блеск минерала стеклянный, иногда

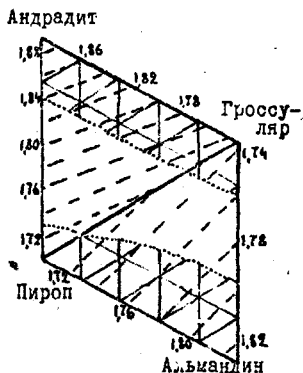


Рис. 15. Зависимость показателей преломления гранатов от состава (Трёгер, 1968). В центре - зона несмесимости составов.

жирный. Раздавливается минерал средне, иногда проявляется спайность. Цвет ставролита желтый, желто-бурый, светло- или темно-коричневый; характерны пойкилитовые включения, придающие минералу окраску до черной. Ставролит проверяется в иммерсионном препарате с n_x около 1,740. В такой жидкости на одном погасании рельеф исчезает, появляются цветные эффекты, на другом погасании рельеф заметен ($n_m = 1,740-1,750$; $n_z - n_p = 0,012$). Ставролит, особенно интенсивно окрашенный или в толстых зернах, плеохроирует в желтых и коричневых тонах. Ставролит похож на монацит (у которого n_m близко к 1,780, высокое двупреломление), на андрадит (изотропный), на авгит и гортонолит (у них выше двупреломление).

Эпидот диагностируется в шлихах чаще всего по своеобразной салатной, желто-зеленой окраске. Он встречается в виде слегка удлинённых или изометричных зерен с неровной поверхностью, прозрачных или просвечивающих. Распространены и мелкозернистые агрегаты эпидота вторичного происхождения, часто в сростании с другими минералами. Такие агрегаты эпидота (и клиноцоизита), образующие псевдоморфозы по полевым шпатам и другим минералам, под бинокляром кажутся непрозрачными. Раздавливается эпидот легко, дает белый порошок, на отдельных зернах изредка заметна спайность по пинакноиду. Правильность диагностики эпидота под-

тверждается обычно в иммерсионных препаратах по показателю преломления (n_m чаще всего близко к 1,740), по пестрым тонам интерференционной окраски (рис. 16); угол $2V$ большой "н", из-за дисперсии зерна обычно не погасают; у агрегатов погасание пятнистое. Постепенный переход от клиноцоизита к эпидоту затруд-

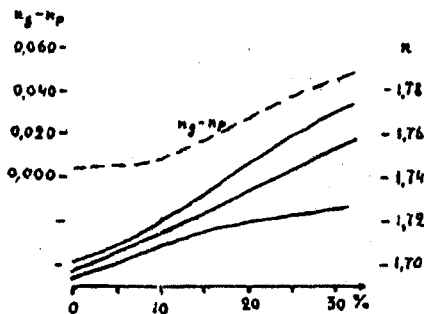


Рис. 16. Изменение оптических свойств клиноцоизита и эпидота в зависимости от железистости (Трёгер, 1968).

няют их идентификацию по внешнему виду. У клиноцоизита цвет белый, серый; большой "+" угол $2V$, значения n_m и $n_g - n_p$ ниже, чем у эпидота; клиноцоизит чаще диамагнитен. Эпидот похож на оливин, диопсид, иногда на ксенотим, от которых отличается по сочетанию оптических свойств. Встречающиеся в шлихах псевдоморфозы мелкозернистого агрегата эпидота, клиноцоизита, серицита, карбонатов, хлоритов по плагиоклазам (сосюрит) обычно диагностируются как эпидот.

Ортит (алланит) генетически связан преимущественно с гранитоидами и встречается в шлихах из областей их развития. Нередки его удлиненно-таблитчатые кристаллы (рис. 17), их обломки и угловатые зерна черного, коричневого или бурого цвета со смоляным блеском. При изменении ортита и возникновении корочки вторичных минералов цвет бурый, а блеск тусклый матовый.

Оптические свойства ортита нестабильны и изменяются незакономерно в зависимости от характера изоморфных замещений, от степени гидратации минерала и его метамиктности. Значения n_m ортита изменяются от 1,81 до 1,62; двупреломление - от 0,035 до 0,020-0,010; метамикт-

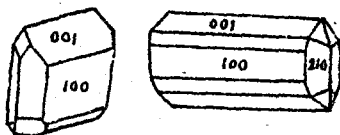


Рис. 17. Кристаллы ортита.

ные разновидности изотропны. Одновременно со снижением n_m и двупреломления окраска становится светлее, а плотность снижается с 4,0 до 2,5. Неизмененные разновидности четко плеохроируют от бурого до черного. Ортит похож на авгит (спайность, при близости значений n_m двупреломление авгита выше), на турмалин (n_o ниже, а $n_e - n_o$ выше), на хромшпинелиды (изотропны при высоком показателе преломления), на колумбит (большой n , оптически положительный), на гидроксиды железа (двупреломление высокое, окраска обычно бледнее).

Везувиан - редкий шлиховой минерал, присутствующий чаще совместно с эпидотом, диопсидом, гранатами. Он встречается, как правило, в виде удлиненных или изометричных угловатых обломков, окатанные зерна редки. Цвет минерала серый, желто-зеленый, желтый, ярко-зеленый, бурый, коричневый; блеск стеклянный или жирный. Уточняется диагностика везувиана по оптическим свойствам: од-

ноосный, "+" или "-", иногда аномально двуосный; $n_o = 1,710-1,740$, $n_e - n_o = 0,001-0,005$. По внешнему виду везувиан похож на элидот, гроссуляр-андрадит ставролит; отличается от них преимущественно по низкому двупреломлению. От монокристаллов клиноцоизита везувиан иногда можно отличить лишь по осности и оптическому знаку.

Берилл - минерал легкой фракции, лишь очень богатые щелочами разновидности могут остаться в тяжелой фракции, при низком двупреломлении имея n_o около 1,600. Изредка в электромагнитной фракции встречаются бериллы с повышенным содержанием хрома и железа, придающим минералу зеленый, голубой, желтый цвет.

Турмалин в небольших количествах в шлихах встречается часто. Он присутствует в виде короткопризматических кристаллов и их обломков с характерным поперечным сечением в виде округлого треугольника или шестиугольника; иногда заметна штриховка (рис. 18).

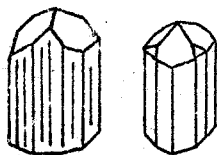


Рис. 18. Кристаллы турмалина.

Турмалин - минерал с высокой миграционной способностью и в шлихах нередко может присутствовать в виде хорошо окатанных зерен с сильным стеклянным блеском.

Цвет турмалина различный: эльбаит почти бесцветный, розовый, оранжевый, светло-зеленый (обычно в немагнитной фракции), дравит и увит желтые, коричневые, буро-зеленые (попадают в разные фракции). Шерл в зависимости от железистости буро-зеленый,

зеленовато-бурый, бурый до черного. Индиголит сине-фиолетовый, грязно-лиловый, голубой; известны разновидности турмалина ярко-зеленого и других тонов.

Специфической особенностью турмалина является сильный плеохроизм в различных тонах (в зависимости от окраски) со схемой $N_o > N_e$. Плеохроизм заметен даже под биноклем - зерна то кажутся непрозрачными, черными, то просвечивают при повороте зерна буровато-зеленым (отраженный от предметного стекла свет частично поляризован). Турмалин раздавливается с трудом, хрупок, обломки имеют неровные поверхности (излом раковинчатый) и в более тонких частях окрашены слабее, просвечивают лучше. Под микроскопом у турмалина хорошо заметен плеохроизм (кроме редких разрезов перпендикулярно оптической оси, с низким двупреломлением). Турмалин опти-

чески одноосный "—", n_o чаще в пределах 1,64 — 1,67; двупреломление среднее или высокое. Главные оптические свойства турмалина разного состава приведены в табл. 5 (Винчелл, 1953).

Т а б л и ц а 5

Оптические свойства минералов группы турмалина

Минерал	n_o	n_e	$n_o - n_e$
Дравит (коричневый)	1,63—1,655	1,61—1,63	0,020—0,024
Шерл (черный)	1,65—1,69	1,63—1,66	0,025—0,035
Эльбаит (светлый)	1,63—1,65	1,61—1,63	0,015—0,023
Рубеллит (розовый)	1,64—1,65	1,62—1,63	0,018—0,021
Индиголит (синий)	1,65—1,665	1,62—1,65	0,019—0,030
Верделит (зеленый)	1,64—1,67	1,62—1,65	0,025—0,035
Увит (светло-бурый)	1,64—1,65	1,62—1,63	0,018—0,021
Хром-турмалин	1,66—1,69	1,62—1,641	0,031—0,046
Бургерит	1,692	1,657	0,035

Светлоокрашенные турмалины похожи на циркон, монацит (у них показатели преломления и двупреломление выше); зеленые — на пироксены, оливин (спайность, погасание, двупреломление, плеохроизм); бурые, коричневые — на ставролит, пироксены (спайность, погасание, показатели преломления). Почти черный шерл иногда ошибочно принимают за роговую обманку, ортит, колумбит, гематит и ильменит. От этих минералов шерл отличается либо отсутствием спайности, либо просвечиваемостью, сильным плеохроизмом, либо показателями преломления и двупреломлением.

Аксинит — редкий минерал в шлихах. Его кристаллы уплощенные, клиновидные; обычно также остроугольные и слабо окатанные зерна желтого, буроватого, грязно-зеленого, синевато-лилового, красновато-бурого цвета. Минерал прозрачен, со стеклянним сильным блеском, излом неровный. Аксинит раздавливается с трудом, порошок светлый. Под микроскопом он бесцветен или слабо окрашен, тогда замечен плеохроизм. Для аксинита $n_m = 1,675—1,690$, $n_g - n_p = 0,007—0,013$, угол $2V_{m-}$ большой, дисперсия сильная. Аксинит похож на сфен, корунд (у которых показатели выше), на турмалин (двупреломление выше), на андалузит ($n_m < 1,67$), на везувиан (у которого светопреломление выше, а двупреломление ниже).

Пироксены, нередко являясь порообразующими минералами, встречаются в шлихах часто, но обычно в небольших количествах из-за небольшой устойчивости при выветривании и низкой абразивной стойкости. Для них характерны короткопризматические зерна с нечетким поперечным сечением, изометричные угловатые обломки. Окатанные зерна редки; мелкие призматические кристаллы обычно происходят из эффузивов. Спайность проявляется в зернах не всегда, но для ромбических пироксенов она весьма характерна. Так как спайность у пироксенов ориентирована по призме - (110), а табитусными гранями могут быть разные призмы (рис. 19), углы между гранями и плоскостями спайности могут быть различными. Скатываются зерна пироксенов редко, торцы зерен сохраняют

неровный излом из-за спайности. Раздавливаются зерна пироксенов средне, спайные обломки короткопризматические. Так как в препаратах зерна часто ложатся на спайные плоскости, их углы погасания на $8-10^\circ$ меньше истинных.

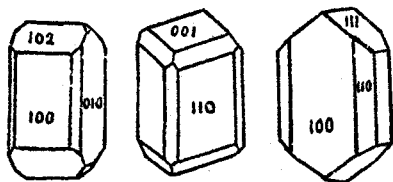


Рис. 19. Типы кристаллов пироксенов (слева направо энстатит, диопсид, авгит).

В практике шлихового анализа обычно выделяют ромбические пироксены; среди моноклинных - ряды диопсида-геденбергита, авгита и щелочные пироксены ряда эгирина. Сподумен как минерал немагнитной фракции рассмотрен отдельно.

Энстатит и гиперстен встречаются в виде удлиненных зерен с хорошо заметной спайностью, из-за которой блеск минерала становится перламутровым или приобретает металлоидный отлив при наличии ориентированных включений рудных минералов. Цвет серый, буровато-зеленый, светло-бурый. Для ромбических пироксенов характерны прямое погасание и плеохроизм в розоватых и зеленоватых тонах. Двупреломление у них ниже, чем у моноклинных пироксенов; от сподумена и диопсида они отличаются плеохроизмом и прямым погасанием. Иногда энстатит бывает похож на клиноцоизит и может присутствовать в немагнитной фракции.

Диопсид имеет бледно-зеленую окраску, при переходе к геденбергиту сменяющуюся на более интенсивную зеленовато-бурю. Хром-диопсид отличается ярко-зеленой окраской и четким плеохроизмом. Безжелезистый диопсид обычен для немагнитной фракции. Главные оптические свойства пироксенов приведены в табл. 6.

Т а б л и ц а 6
Оптические свойства пироксенов

Минералы	n_m	$n_g - n_p$	$2N_g'$
Энстатит - гиперстен	1,66-1,72	0,008-0,015	0°
Диопсид - геденбергит	1,67-1,73	0,031-0,028	28-40°
Диопсид - авгиты	1,70-1,75	0,024-0,033	32-45°
Щелочные пироксены	1,73-1,80	0,034-0,048	60-90°

Диопсид похож на оливин, от которого отличается косым погасанием и оптическим знаком ("+"), на эпидот (у диопсида $n_m < 1,72$); геденбергит и глиноземистый диопсид похожи на ставролит (у которого n_m выше).

Авгит (диопсид-авгит, эгирин-авгит) чаще всего имеет грязно-зеленый, буро-зеленый или бурый цвет. В шлихах они иногда встречаются в виде короткопризматических кристаллов с гранями призмы на голошке (см. рис. 19). Для пироксенов авгитового состава характерен плеохроизм в зеленоватых, буроватых, иногда лиловых тонах; из-за сильной дисперсии зерна часто не погасают полностью (особенно титан-авгит). Для большинства авгитов $n_m > 1,72$; это с учетом плеохроизма позволяет отличать их от других пироксенов. Августы похожи на роговые обманки, ортит, ставролит, от которых отличаются либо оптическим знаком (амфиболы оптически "-"), либо спайностью, косым погасанием, высоким двупреломлением.

Эгирин и близкие к нему щелочные пироксены (эгирин-диопсид, эгирин-авгит) имеют темно-зеленый, буровато-зеленый цвет и встречаются в виде длиннопризматических зерен. Порошок у щелочных пироксенов светлый серовато-зеленый, под микроскопом зерна плеохроируют в желто-зеленых, буро-зеленых, травяно-зеленых тонах. В отличие от других пироксенов эгирин оптически "-", удлинение также отрицательное.

При диагностике пироксенов необходимо учитывать, что в связи с различными схемами изоморфных замещений оптические свойства этих минералов непостоянны и могут варьировать в некоторых пределах. Точное определение любого пироксена возможно лишь при установлении ряда оптических констант и сверке их со справочными данными.

Амфиболы более устойчивы к химическому выветриванию по сравнению с пироксенами и в шлихах поэтому встречаются чаще. Они редко представлены длиннопризматическими кристаллами, более обычно удлиненные спайные обломки. На таких обломках даже при их окатывании сохраняются острые и, особенно, тупые углы между плоскостями спайности, что является важным диагностическим признаком (рис. 20). На торцах таких зерен местами сохраняется занозистый излом. Из-за ромбовидного поперечного сечения

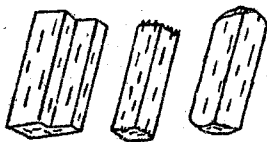


Рис. 20. Спайные обломки амфибола разной степени окатанности.

удлиненными спайными выколками; двупреломление и углы погасания у них меньше, чем у пироксенов; амфиболы чаще оптически отрицательные, с большим или средним углом $2V$.

При минералогическом анализе шлихов, как правило, фиксируются ромбические амфиболы, минералы ряда тремолита-актинолита, роговые осланки и щелочные амфиболы. Более точная их диагностика возможна лишь при точном измерении ряда оптических свойств и использовании диаграмм зависимости их от состава.

Антофиллит и жедрит, ромбические амфиболы, в шлихах относительно редки. Они образуют удлиненные спайные обломки, встречаются в виде слабо окатанных зерен и тонковолокнистых агрегатов со стеклянным, шелковистым или перламутровым блеском, обусловленным многочисленными трещинками спайности. Под биноклем цвет светло-серый, зеленоватый, буроватый, у железистых разновидностей желто-коричневый. Раздавливаются зерна легко, образуя удлиненные спайные обломки с прямым погасанием и положе-

спайных обломков интерференционная окраска более высокая вдоль осевой части удлиненных зерен амфибола и постепенно снижается к их боковым сторонам, по мере уменьшения толщины.

От пироксенов близкого состава амфиболы отличаются не только углами спайности, но более

льным удлинением. Для антофиллита $n_m = 1,615-1,660$, $n_g - n_p = 0,015-0,020$; для жедрита $n_m = 1,65-1,71$; $n_g - n_p = 0,015-0,030$, угол $2V$ большой, "-" или "+" у железистых разновидностей, плеохроизм слабый, в зеленовато-бурых тонах. От других амфиболов эти минералы отличаются прямым погасанием, светлой окраской, от энстатита более низкими значениями n_m , от клиноцоизита - спайностью и двупреломлением.

Тремолит и актинолит встречаются в виде удлинённых зерен или призматических кристаллов и спайных обломков с характерным ромбовидным поперечным сечением. Изредка встречаются уплощен. изверстеновидные окатанные зёрна актинолита. Цвет меняется от белого, бледно-зеленого (тремолит) до зеленого различной интенсивности (актинолит) и голубовато-зеленого (рихтерит). Маложелезистые разновидности присутствуют в немагнитной фракции. Наиболее часто в шлихах встречается актинолит с $n_m = 1,625-1,640$, дающий чистые тона интерференционной окраски; замечен слабый плеохроизм. От других амфиболов актинолит отличается светлой окраской и оптическими свойствами, главные из которых приведены в табл. 7. Актинолит спутать с другими минералами сложно. Тремолит похож на силлиманит, кианит и клиноцоизит, у которых выше значения n_m и иная спайность; похожий на тремолит волластонит (плотность около 2,9) для шлихов не характерен.

Т а б л и ц а 7

Оптические свойства моноклиновых амфиболов

Минерал	n_m	$n_g - n_p$	$2V_g$	$2V$
Куммингтонит	1,644-1,700	0,020-0,040	20-10°	±90°
Тремолит	1,613-1,625	0,024-0,023	18-15°	-80°
Актинолит	1,625-1,670	0,023-0,015	15-10°	-75°
Паргасит	1,618-1,645	0,019-0,020	25-30°	+60°
Обыкновенная роговая обманка	1,637-1,700	0,014-0,026	15-25°	-40° +70°
Гастингсит	1,660-1,700	0,012-0,022	13-20°	-60°
Феррогастингсит	1,700-1,720	0,014-0,028	11-23°	-30°
Глаукофан	1,622-1,660	0,021-0,010	5-10°	-40°
Рибекит	1,660-1,710	0,016-0,006	70-85°	-70°
Арфведсонит	1,630-1,690	0,016-0,005	40-80°	-60°

Роговые обманки очень разнообразны по своему химическому составу и оптическим свойствам. Их удлиненно-уплощенные зерна, иногда слегка ограненные, имеют буро-зеленый, темно-зеленый или почти черный цвет при стеклянном блеске. Под микроскопом в иммерсионных препаратах хорошо заметна разная толщина спайных обломков по изменению собственной и интерференционной окраски, наблюдается плеохроизм в бурых и грязно-зеленых тонах; значения n_m чаще 1,68-1,70; угол погасания 16-23°. Некоторые железистые и титан-содержащие "базальтические" роговые обманки из-за дисперсии часто не погасают. Некоторые оптические свойства ряда роговых обманок приведены в табл. 7, где все данные приводятся в порядке возрастания железистости минералов.

По внешнему виду роговые обманки похожи на диопсид-авгит, авгит (у которых n_m и двупреломление выше), на турмалин ($n_o = 1,64-1,68$; нет спайности), на гематит или ильменит (блеск, непрозрачность, отсутствие спайности, темноокрашенная черта).

Щелочные амфиболы также разнообразны по составу и свойствам, но в шлихах встречаются реже роговых обманок. Их удлиненные или изометричные зерна отличаются синеватыми тонами окраски (синевато-зеленая, серо-голубая, грязно-лиловая, серо-фиолетовая). Минералы легко раздавливаются, спайность проявляется четко. В препаратах под микроскопом наблюдаются сильный плеохроизм в синеватых тонах, невысокое двупреломление. Щелочные амфиболы напоминают по внешнему виду корунд и турмалин, от которых отличаются спайностью, плеохроизмом, двупреломлением, неполным погасанием из-за сильной дисперсии.

Биотит из-за низкой твердости, хорошей спайности и неустойчивости к выветриванию в шлихах очень редок, но в протоочных пробах он присутствует часто. Он встречается в виде чешуек или пластинок темно-бурого до черного цвета; при выветривании он буреет. Минерал при раздавливании расщепляется на чешуйки, в препаратах дающие разрезы, перпендикулярные острой биссектрисе ($n'' = 2V$ мал) и кажущиеся почти изотропными. Характерные для биотита высокое двупреломление и плеохроизм в таких пластинках наблюдать не удастся. Значения n_m варьируют от 1,60 до 1,70; дисперсия слабая. Биотит ошибочно принимается за рудные минералы или за изотропные; помогают получение коноскопической фигуры и проверка n_m .

Глаукоцит имеет плотность от 2,5 до 2,95 г/см³ в зависимости от содержания железа и лишь богатые им разновидности присутствуют в тяжелых фракциях. Глаукоцит присутствует в песчаниках, известняках, образует псевдоморфозы по полевым шпатам. В шлихах встречаются округлые агрегаты, почковидные стяжения зеленого, темно-зеленого, черного цвета. Такие зерна раздавливаются легко, иногда расплющиваются в тонкочешуйчатую массу серо-зеленого цвета. Глаукоцит, как и биотит, образует тонкие пластинчатые спайные обломки с очень низким двупреломлением и коноскопической фигурой перпендикулярно острой биссектрисе; $n_m = 1,61-1,64$; угол $2V_{"-}"$ от 0 до 20°. Глаукоцит напоминает биотит, хлориты, темноокрашенные амфиболы. От других слоистых алюмосиликатов отличить его трудно, так как оптические свойства их близки, но морфология зерен специфична.

Хлориты в шлихах исключительно редки, так как легко разрушаются и лишь богатые железом и окрашенные в зеленые и бурные тона их представители имеют плотность несколько выше 2,9-3,0. Чешуйчатые зерна, совершенная спайность в одном направлении, слабый блеск; показатели преломления n_m в пределах 1,61-1,69, чешуйки в препаратах имеют очень низкое двупреломление, угол $2V$ небольшой, "+" или "-". От биотита хлориты отличаются преимущественно по цвету, от глаукоцита - по морфологии зерен.

Фосфаты, вольфраматы, карбонаты

Монацит в небольших количествах в шлихах встречается часто, а в связи с высокой миграционной способностью он образует большие ореолы рассеяния и накапливается в прибрежно-морских россыпях. При наличии кристаллов монацит диагностируется легко. Для него характерны уплощенные кристаллы с преобладанием граней пинакоида (граниты, гранодиориты, сиениты, гнейсы), короткопризматические до изометричных ромбоэдрические кристаллы из гранитоидов (рис.21), а также

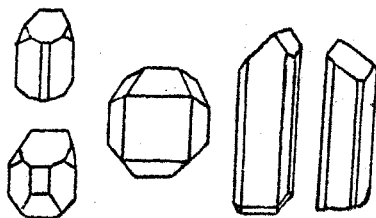


Рис.21. Типы кристаллов монацита.

призматические или столбчатые кристаллы, часто с прямоугольным поперечным сечением. Такие удлиненные кристаллы встречаются в областях развития филлитов, хлоритовых сланцев, кристаллических сланцев. В россыпях присутствуют зерна монацита различной степени окатанности, вплоть до эллипсоидно-уплощенных и овальных меньше критических размеров. В некоторых районах для лепешковидных зерен предполагается аутигенное происхождение.

Цвет монацита интарно-желтый, буровато-желтый, оранжевый, красновато-бурый, зеленовато-бурый, из-за включений серый до черного. Блеск минерала сильный стеклянный или жирный. Раздавливается монацит сравнительно легко, излом неровный или ступенчатый из-за спайности. В иммерсионных препаратах под микроскопом монацит лишь в толстых зернах окрашен и плеохроирует. Для монацита характерно: $n_m \approx n_p = 1,786-1,800$, $n_g = 1,84-1,85$; двупреломление $0,045-0,055$, угол $2V_{n+}$, $6-15^\circ$, угол погасания - до 5° . Монацит определяется в препарате с крайней в стандартном наборе жидкостью, имеющей значение $n_{ж} = 1,78$ - наблюдается псевдоабсорбция: при одном погасании шагреня и заметный рельеф, при другом - отсутствие рельефа, цветовые эффекты при наблюдении полосы Бекке или применении метода заслонки.

Монацит похож на циркон, который чаще диамагнитен, раздавливается труднее, имеет розовый оттенок и люминесцирует; на сфен и касситерит (у монацита $n_m = 1,78$), на гранатыgrossular-андреидитового ряда (изотропные), на ставролит (различие в n_m и двупреломлении). От ксенотима монацит отличается по форме кристаллов и более высоким значением n_m .

Ксенотим - редкий минерал шлихов. Его призматические и дипирамидальные кристаллы, напоминающие циркон, сохраняются в обломочных породах почти без следов окативания; встречаются и угловатые зерна. Цвет ксенотима желтый, зеленоватый, бурый, реже светлый буровато- или красновато-коричневый; блеск стеклянный или жирный. Раздавливается ксенотим с небольшим трудом, на обломках изредка заметна спайность, проявляется неровный излом. Минерал одноосный, "+", $n_o = 1,720-1,724$; $n_e = 1,816-1,83$; в иммерсионном препарате с $n_{ж} = 1,72$ видны высокое двупреломление и псевдоабсорбция. От монацита ксенотим отличается основностью и величиной показателя преломления, от циркона, сфена, касситерита - более низким значением n_o .

Вольфрамит встречается лишь недалеко от коренных источников из-за низкой абразивной стойкости. Он слагает удлиненно-уплощенные зерна или спайные обломки черно-бурого, темно-красного цвета. На неровной поверхности выветривающихся зерен заметны зоны разрушения вдоль реализованных плоскостей спайности, что придает таким зернам своеобразный вид. Блеск тусклый, на свежих сколах полуметаллический до металлического. Раздавливается минерал легко, порошок буро-красный, тонкие спайные пластинки просвечивают красным, красно-коричневым; окраска распределяется равномерно по всей площади пластинки, так как ее толщина из-за спайности одинакова. В тонких зернах плеохроизм и двупреломление отчетливы; минерал имеет $n_m = 2,2-2,3$; двупреломление высокое, угол $2V_n$ большой. Гюбнерит в тонких пластинках просвечивает зеленоватым и четко плеохроирует. Вольфрамит ошибочно принимают за колумбит и танталит (у вольфрамита спайность лучше, применяют диагностические реакции); похож он на гематит и ильменит, от которых отличается спайностью, лучшей просвечиваемостью и меньшей твердостью.

Колумбит и танталит, чаще относимые к сложным оксидам, дают изоморфные переходы между собой; меняется в них и соотношение Fe и Mn. Минералы этой группы в шлихах редки, встречаются в виде удлиненно-уплощенных или призматических кристаллов, обломков таблитчатой формы. Цвет черный, черно-бурый, порошок серо-бурый, коричневый. Раздавливаются эти минералы средне или с трудом, излом неровный, бывает заметна спайность. Под микроскопом наблюдаются сильный рельеф, высокое двупреломление; богатые железом минералы просвечивают хуже. Колумбит и танталит похожи на ильменит (не просвечивает, черта черная), на гематит (просвечивает хуже, порошок темнее), на вольфрамит (совершенная спайность, просвечивает чаще красным), на ортит (меньше значения n_m), на касситерит (нет спайности, ниже двупреломление, качественные реакции). В сложных случаях проводятся диагностические реакции на Nb, Ta, Fe, Mn.

Дюдавит - один из немногих боратов с высокой плотностью и являющийся парамагнитным минералом, характерным для некоторых скарнов. Он встречается в виде обломков призматических зерен зеленого, темнозеленого до черного цвета, иногда волокнистых агрегатов и нередко в сростании с магнетитом. Раздавливается

людвигит легко, порошок буровато-зеленый до темнозеленого по мере возрастания железистости. Показатели преломления и двупреломление возрастают с увеличением содержания закисного железа; в среднем $n_m = 1,85$; $n_g = 1,98-2,02$; $n_g - n_p = 0,14-0,17$; просвечивает в препаратах слабо, очень сильный плеохроизм. Людвигит часто напоминает темноокрашенные пироксены и амфиболы, от которых отличается по оптическим свойствам.

Сидерит и другие тригональные карбонаты группы кальцита с повышенной плотностью встречаются в шлихах изредка в виде спайных обломков или ромбоэдрических кристаллов с притупленными гранями пинакоида вершинками (рис.22). Обломки зерен присутствуют в пробах, взятых недалеко от коренных источников, кристаллы чаще имеют аутигенное происхождение. Среди карбонатов этой группы более обычен сидерит, редки родохрозит, магнезит, смитсонит, анкерит и промежуточные разновидности изоморфных рядов. Все эти карбонаты отличаются



Рис.22. Форма кристаллов сидерита.

от похожих минералов формой кристаллов, зерен, спайных обломков; совершенной спайностью по ромбоэдру, низкой твердостью, хрупкостью и высоким двупреломлением. Между собой эти карбонаты различаются по величине n_o и n'_e на плоскости спайности; n_o в ряде случаев превышает значения показателей преломления стандартного иммерсионного набора, а истинное значение n_e на спайных обломках определить сложно. В препарате с $n_{ж}$, близком к значениям n_o или n'_e , наблюдается четкая псевдоабсорбция.

Карбонаты, содержащие железо, в связи с частичным его окислением становятся бурными и замутненными, непрозрачными из-за тонкодисперсных включений оксидов и гидрооксидов железа; у родохрозита наблюдаются бурные или черные примазки. Некоторые карбонаты переменного состава имеют близкие значения показателей преломления (анкерит, брейнерит, манганокальцит, олигонит), но отличаются по плотности. Так как стандартные иммерсионные жидкости с $n_{ж}$ более 1,680-1,700 готовятся на основе иодистого метилена, то они имеют повышенную плотность. Так, жидкости с $n_{ж}$ около 1,69-1,71 имеют плотность около 3,0; с $n_{ж} = 1,74$ плотность до 3,2-3,3 г/см³. Свободно перемещающиеся в иммерсионном

жидкости, содержащие железо, в связи с частичным его окислением становятся бурными и замутненными, непрозрачными из-за тонкодисперсных включений оксидов и гидрооксидов железа; у родохрозита наблюдаются бурные или черные примазки. Некоторые карбонаты переменного состава имеют близкие значения показателей преломления (анкерит, брейнерит, манганокальцит, олигонит), но отличаются по плотности. Так как стандартные иммерсионные жидкости с $n_{ж}$ более 1,680-1,700 готовятся на основе иодистого метилена, то они имеют повышенную плотность. Так, жидкости с $n_{ж}$ около 1,69-1,71 имеют плотность около 3,0; с $n_{ж} = 1,74$ плотность до 3,2-3,3 г/см³. Свободно перемещающиеся в иммерсионном

зерна при наклонном столике микроскопа опускаются вниз (при перевернутом изображении - перемещаются вверх), если их плотность больше плотности жидкости; более легкие зерна всплывают. Заметная скорость перемещения имеет место при различии плотностей в $0,02-0,03 \text{ г/см}^3$. В табл. 8 приведены данные о показателях преломления и плотности карбонатов группы кальция (Винчелл, 1953).

Т а б л и ц а 8
Показатели преломления и плотность карбонатов

Состав	n_o	n_e'	n_e	Плотность
$\text{Ca}(\text{CO}_3)$	1,658	1,566	1,486	2,71
$(\text{Ca}, \text{Mn})(\text{CO}_3)^*$	1,737	1,635	1,512	3,20
$\text{Mn}(\text{CO}_3)$	1,816	1,705	1,597	3,70
$(\text{Mn}, \text{Fe})(\text{CO}_3)$	1,840	1,720	1,610	3,82
$\text{Fe}(\text{CO}_3)$	1,875	1,748	1,633	3,95
$(\text{Fe}, \text{Mg})(\text{CO}_3)$	1,788	1,673	1,570	3,46
$\text{Mg}(\text{CO}_3)$	1,700	1,602	1,509	2,98
$\text{Zn}(\text{CO}_3)$	1,850	1,732	1,625	4,43
$\text{CaMg}(\text{CO}_3)_2$	1,679	1,590	1,502	2,87
$\text{Ca}(\text{Mg}, \text{Fe})(\text{CO}_3)_2$	1,722	1,620	1,532	3,03
$\text{CaFe}(\text{CO}_3)_2$	1,765	1,652	1,555	3,20
$\text{CaMn}(\text{CO}_3)_2$	1,743	1,635	1,546	3,10

* Для минералов переменного состава данные приведены при соотношении катионов 1:1.

Карбонаты редких земель - многочисленная группа минералов, среди которых чаще встречаются бастнезит и паризит. Из-за низкой твердости и хорошей спайности зерна карбонатов редких земель встречаются лишь вблизи от коренных источников. Цвет белый, желтый, зеленоватый, красноватый или бурый; характерны мелкозернистые агрегаты, реже встречаются обломки полупрозрачных кристаллов. Большинство этих минералов оптически одноосные, чаще "+"; двупреломление высокое. У бастнезита $n_o=1,717$ - $1,722$; $n_e=1,790-1,824$; у паризита $n_o=1,67$; $n_e=1,77$; анкилит оптически "-"; $n_g=1,735$; $n_m=1,700$, двупреломление $0,110$.

МИНЕРАЛЫ МАГНИТНОЙ ФРАКЦИИ

Ферромагнитные минералы немногочисленны, среди них преобладает магнетит. В маг. тной фракции концентрируются также пирротин, титаномagnetит, ферроплатина, частично - ильменит, хромшпинелиды. Присутствуют здесь железная стружка (особенно в протоочных пробах), метеорное железо, а при наличии даже мелких включений магнетита в эту фракцию могут переместиться любые шлиховые минералы (чаще гомбические пироксены, авгит, роковые обманки, биотит, гематит, мартит, гранаты, ставролит).

Пирротин - неустойчивый минерал, присутствующий в шлихах близ коренных источников или в арктических условиях в виде неправильных угловатых или слабо окатанных зерен. Цвет бурый, блеск на свежей поверхности металлический, легко покрывается пленками гидроксидов железа. Раздавливается он средне или легко, хрупкий, излом неровный, порошок черного цвета, твердость 4. Пирротин, особенно измененный, ошибочно принимают за железную стружку (чаще - наоборот), от которой он отличается легкой раздавливаемостью, хрупкостью и буровато-черной неблестящей чертой.

Магнетит - часто единственный минерал магнитной фракции. Его октаэдрические кристаллы имеют острые ребра, ступенчатые фигуры роста на гранях, иногда скелетные формы. Обычны изометричные зерна, остроугольные обломки; хорошо окатанные зерна магнетита, особенно мелкие, редки. В магнитной фракции присутствуют неполные псевдоморфозы гематита по магнетиту (мартит), оолиты и стяжения красного железняка, частично или полностью восстановившиеся до магнетита.

Цвет магнетита черный, на поверхности появляются пленки бурого цвета. Раздавливается минерал с трудом, излом неровный, порошок черный или буровато-черный, мелкие крупинки слипаются. В самой фракции зерна магнетита также стягиваются в цепочки, агрегируются, притягиваются друг к другу и к стальной игле. Работать с ферромагнитными минералами удобнее при использовании медной, роговой или иной иглой. Определяется магнетит по ферромагнитным свойствам, форме зерен, цвету. Он похож на ильменит, зерна которого обычно пластинчатые, не агрегируют и не притягиваются к стальной игле; на гематит (черта, просвечиваемость, анизотропность); на хромит (цвет порошка, просвечиваемость, изотропность).

Титаномагнетит - разновидность магнетита, содержащая титан либо в виде изоморфной примеси, либо в составе отдельных фаз как продуктов распада твердого раствора. Часто в титаномагнетите присутствуют тонкие пластинки ильменита, ориентированные параллельно октаэдрическим плоскостям в магнетите, что приводит к появлению в нем отдельности. При выветривании на поверхности зерен титаномагнетита появляется тонкая пленка лейкоксена, придающая им своеобразный голубоватый оттенок. Если нет отдельности по октаэдру или пленок лейкоксена, отличить титаномагнетит от магнетита без химических реакций практически невозможно. Как правило, в шлихах с титаномагнетитом присутствуют оливин, моноклинные пироксены и другие минералы ультраосновных пород.

Железо, встречающееся в шлихах, имеет разное происхождение. Иногда встречаются идеальные по форме сферические, реже каплевидные обособления - частички метеорного железа, в котором постоянно присутствует никель. Метеорное железо характеризуется высокой магнитностью, сильным блеском, с поверхности почти всегда имеется корочка магнетита. Такие железные шарики чаще не раздавливаются, а лишь с большим трудом слегка сплющиваются с отслаиванием наружных пленок. В отличие от такого метеорного железа каплевидные и сферические обособления железа, образующиеся при сварочных работах или попадающие в шлихи из промышленных металлургических шлаков, чаще светлые, мало измененные, с сильным блеском; в них нередко заметны вскрытые газовые пузырьки и поры. Железо из шлаков может находиться в срастании со шлаковым стеклом.

В магнитной фракции искусственных шлихов (протопочек) иногда в больших количествах присутствует железная стружка. Это, как правило, остроугольные пластинки, зазубренные полоски, изогнутые кусочки. Цвет их серый, блеск металлический; обычно ржавые пленки, бурые наросты. Железная стружка притягивается к тальной игле, не раздавливается в порошок, а расплющивается с трудом и может дать блестящую серую черту. По этим свойствам железная стружка легко отличается от тохожего по внешнему виду пирротина.

При выделении магнитной фракции за счет агрегирования ферромагнитных зерен происходит захват зерен и других минералов, даже диамагнитных. Перечистка фракции упрощает ее минеральный состав, но минералы с включениями магнетита в ней сохраняются.

МЕТОДЫ ДИАГНОСТИКИ ШЛИХОВЫХ МИНЕРАЛОВ

При анализе качественного минерального состава шлиха диагностика минералов начинается, как правило, с немагнитной фракции. Всю или представительную долю ее просматривают под биноклем, стремясь выявить все разнообразие минералов и обращая внимание в первую очередь на наиболее характерные по внешнему виду зерна. Удобно такой просмотр проводить, распределив зерна в виде узкой дорожки и выделяя различающиеся по некоторым признакам зерна одного какого-либо предполагаемого минерала. Важно не останавливать внимание на одном случайном зерне, так как степень четкости проявления признаков или сочетание их в нем также могут быть случайны. Просмотр же хотя бы нескольких зерен одного предполагаемого минерала позволяет получить больше объективной информации о морфологии кристаллов или зерен, о вариациях окраски, о спайности, блеске, наличии включений и т.п.

Так как информативность отдельных свойств конкретных минералов неравнозначна в силу разной частоты их встречаемости, то определение видовой принадлежности может осуществляться только по ряду диагностических признаков. Лишь в сложных случаях становится необходимым дать оценку возможно большему числу признаков, включая и кристаллооптические исследования, и диагностические реакции. В связи с этим определение любого шлихового минерала проводится разными способами, зависящими от полноты и надежности полученной информации о свойствах диагностируемого минерала.

Первый способ диагностики — прямое опознание минерала по устанавливаемым визуально специфическим особенностям (морфологии, цвету, блеску и др.). Например, сочетание серого цвета, металлического блеска, спайности по кубу и низкой твердости с большой достоверностью позволяет предполагать галенит; дипирамидальный габитус кристаллов со штриховкой, очень сильный алмазный блеск и голубая окраска свидетельствуют в пользу версии, что это анатаз. Такой способ диагностики предполагает предварительное знакомство с эталонной коллекцией шлиховых минералов, а значение такого подхода к диагностике возрастает с приобретением опыта. При небольшом опыте и изучении новой серии шлихов подтверждение возникшей версии о принадлежности минерала конкретному виду становится обяза-

тельным - важно убедиться, что предположение соответствует действительному сочетанию диагностических свойств. С этой целью на зернах прозрачного минерала проверяют оптические свойства, используя иммерсионные препараты с жидкостью, совпадающей со значением n , n_0 или n_m предполагаемого минерала. Если у минерала очень сильный блеск или он плохо просвечивает, используют любую иммерсионную жидкость и оценивают разность показателей преломления, двупреломление, степень просвечиваемости, характер потасания и т.д. При необходимости проводят также качественные реакции. Уточнить свойства диагностируемого минерала можно по приведенному выше его описанию и n по таблицам свойств шлиховых минералов, приводимым ниже.

После подтверждения правильности диагностики дается краткое описание минерала: кристалломорфологические особенности, степень окатанности, тон окраски, наличие включений или сростаний, для представителей изоморфных рядов - примерный состав по данным оптических исследований, оценка распространенности минерала. Эти сведения необходимы для интерпретации результатов шлихового опробования.

Второй способ применяется, если минерал сразу не опознан по внешнему виду. Тогда оцениваются наиболее легко устанавливаемые визуально или при простейших испытаниях свойства минерала, позволяющие выявить какую-то группу минералов с близким сочетанием ряда свойств. В такой относительно небольшой группе уже легче уточнять диагностику минерала, в том числе и по внешнему виду. Этот способ определения наиболее удобен при небольшом опыте работы, особенно при использовании схем группировки минералов по ряду легко устанавливаемых признаков.

При просмотре, например, немагнитной фракции сразу различаются интенсивно окрашенные в разные тона и светлоокрашенные минералы. У темно- и яркоокрашенных минералов важным признаком является металлический или неметаллический блеск, а уж затем наличие спайности или анизотропии. Для светлоокрашенных минералов немагнитной фракции тон окраски уже не становится ведущим признаком и такие минералы проще различать по блеску, сильному или слабому, а затем по двупреломлению и другим оптическим свойствам. Приведенные в табл. 9 и 10 схемы диагностики учитывают разную значимость диагностических признаков при выделении похожих друг на друга группировок минералов. Однако при использовании таких схем диагностики

по простейшим и легко устанавливаемым признакам, последние приходится использовать в предписанной последовательности, а отсутствие оценки какого-либо свойства усложняет работу.

Из-за разнообразия отдельных свойств минералов или из-за возможной ошибочности их оценки, один и тот же минерал попадает в разные группы. Чем больше варьируют свойства данного минерала, тем чаще он может включаться в разные группировки. В табл. 9 и 10 названия минералов немагнитной фракции с типичным сочетанием свойств выделены прописными буквами, а названия минералов с редко встречающимся или часто устанавливаемым ошибочно сочетанием свойств помещены в скобках. В скобках же указаны и минералы легкой фракции, сохраняя те же после разделения в некоторых шлихах.

После выхода на какую-то группу минералов, если не возникла конкретная диагностическая версия, необходимо уточнение оптических свойств минерала (двупреломление, осьность, точное значение показателей преломления и т.д.).

Для минералов электромагнитных фракций первой градацией при группировке минералов может служить окраска, так как в большинстве из них постоянно присутствуют хромофоры. В этих фракциях концентрируются многие окрашенные порообразующие силикаты, присутствующие чаще в виде обломочных зерен; их диагностика проводится преимущественно по оптическим свойствам. В иммерсионном препарате устанавливают степень прозрачности, светопреломление и двупреломление. В качестве дополнительной иммерсионной жидкости можно использовать чистый иодистый метилен ($n_{\text{ж}}=1,740$), достаточно стабильный при хранении в темноте и с добавлением медной стружки; при диагностике приходится экономить жидкости стандартного набора ИЖ-I.

При более детальном разделении на группы важными признаками становятся d упреломление, степень совершенства спайности, характер погасания. Такая последовательность оценки свойств минералов электромагнитных фракций использована в схеме диагностики (табл. II). Определение конкретного минерала в данной группе уточняется с учетом других свойств, приведенных при описании минералов и в сводных таблицах свойств.

В электромагнитных фракциях в небольших количествах могут присутствовать и диамагнитные минералы, которые уже определялись в немагнитной фракции и легко узнаются. Сложнее диагностировать парамагнитные минералы в немагнитной фракции, где могут присутст-

зовать мелкие зерна парамагнитных минералов. Для магнитной фракции в силу простоты ее состава нет необходимости в использовании подобной схемы диагностики.

Третий способ диагностики применяется в тех случаях, когда минерал и не опознается сразу, и нет возможности надежно оценить необходимые для диагностики простые свойства. В подобных ситуациях стараются определить любые свойства из тех, которые можно оценить достаточно надежно. Вместо схем последовательного приближения к группе, а затем к определяемому минералу можно использовать приведенные ниже таблицы главнейших свойств шлиховых минералов, подбирая то сочетание ряда признаков, которое удалось выявить и которое соответствует конкретному минералу. В отличие от схем при использовании таблиц нет необходимости в обязательном определении всех учитываемых признаков. В то же время уточнению диагностики помогают и такие свойства, которые не заложены в схемы определения, но достаточно однозначны (сингония, твердость, плеохроизм, оснность и оптический знак, цвет порошка и др.).

Свойства минералов, устанавливаемые при их просмотре под биноклем и при раздавливании зерен, сведены в табл. 12 и 14, а оптические свойства, выявляемые в иммерсионных препаратах под микроскопом — в табл. 13 и 15 (по фракциям). В этих таблицах, кроме интервалов значений показателей преломления, приведены значения n — для изотропных, n_o — для оптически одноосных и n_m — для оптически двуосных минералов, определяемые в большинстве разрезов.

Просмотр данных, приведенных, в частности, в табл. 12, позволяет оценить информативность отдельных признаков минералов и их взаимосвязь друг с другом. Например, минералы с металлическим блеском чаще всего непрозрачны, а их порошок черный или интенсивно окрашен. Цвет же порошка у большинства минералов немагнитной фракции (а преобладают светлоскрашенные) почти всегда белый, что мало помогает при диагностике. Минералы с сильным блеском (не металлическим) обычно просвечивают, но лишь для части из них цвет порошка имеет диагностическое значение. Раздавливаемость зависит от твердости и спайности, но у большинства оксидов и силикатов твердость больше 5 и раздавливаемость зависит в основном от совершенства спайности. Такие зависимости позволяют сократить число необходимых при диагностике признаков и уточнить оценку того или иного свойства.

Схема диагностики темно- и яркоокрашенных минералов немагнитной фракции по свойствам

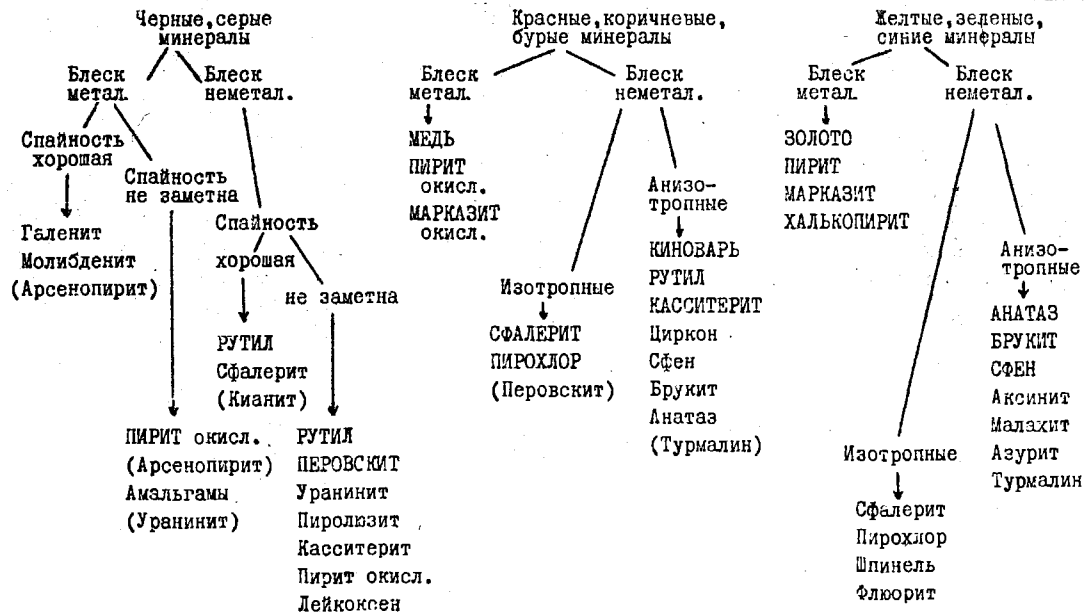


Схема диагностики светлоокрашенных минералов немагнитной фракции по главным свойствам

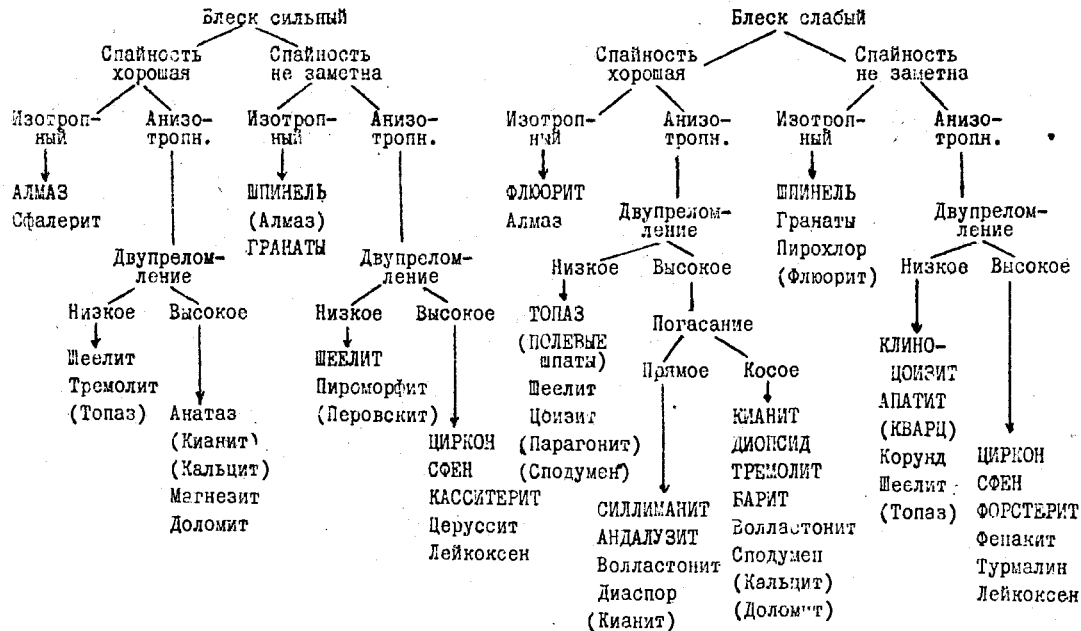
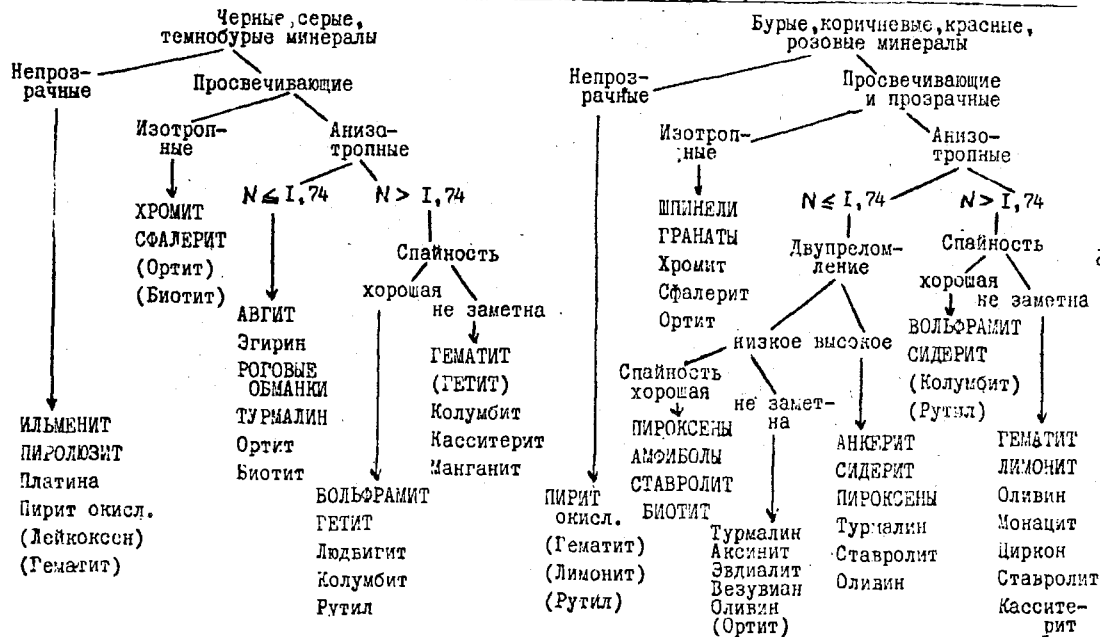
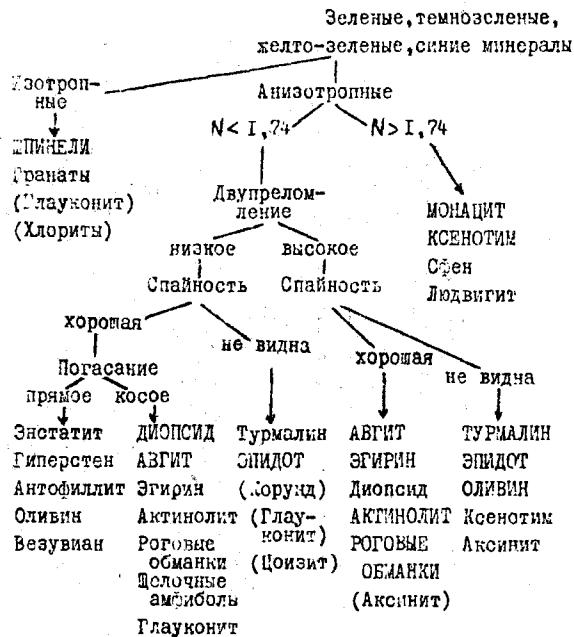


Таблица II

Схема диагностики минералов электромагнитных фракций по главным свойствам



Т а б л и ц а II (продолжение)



Т а б л и ц а 12

Диагностические свойства минералов немагнитной фракции

Свойства минералов и их градации	Блеск			Прозрачность			Окраска					Цвет порошка			Твердость		Слабость	Раздавл.		Сингония						
	Металлический	Сильный, алмазный	Слабый, стекл.	Прозрачный	Прозвучивает	Непрозрачный	Бесцвет., белая	Фиолет., синяя	Зеленая, желтая	Оранжев., красная	Бурый, коричнев.	Серая, черная	Черный	Окрашенный	Белый	Более 5	Менее 5	Соверш., ясная	Плохая, отсутств.	Трудно	Легко	Кубическая	Тетрагональная	Гексаг., тригон.	Ромбическая	Монокл., триклин.
Минерал	2	3	4	5	6	7	8	9	10	11	12	13	14	15	16	17	18	19	20	21	22	23	24	25	26	27
Золото	+					+			+					+			+		+	+		+				
Медь	+					+				+	+			+			+		+	+		+				
Амальгамы	+		+			+						+	+				+		+			+				
Алмаз		+		+	+		+		+						+			+		+						
Сфалерит		+		+	+				+	+	+	+		+	+		+	+		+	+					
Киноварь		+			+					+	+	+		+			+	+		+	+				+	
Галенит	+					+						+					+	+		+	+		+			
Молибденит	+					+						+		+			+	+		+	+			+		
Халькопирит	+					+			+				+				+		+		+		+			
Белые руды	+	+			+	+					+	+		+			+			+	+					
Пирит	+					+			+		+		+			+			+	+		+				
Марказит	+					+			+		+		+			+		+	+	+		+			+	
Арсенопирит	+					+	+				+	+				+		+	+	+		+			+	+
Корунд			+	+	+		+	+		+					+	+	+	+	+	+			+			
Рутил		+			+					+	+	+		+	+	+	+	+	+	+	+		+			
Анатаз		+			+			+	+		+	+		+	+	+	+	+	+	+	+		+			
Брукит		+			+				+	+	+	+		+	+	+	+	+	+	+			+		+	
Лейкоксен		+	+		+	+	+			+	+	+		+	+	+	+	+	+	+	+					
Касситерит		+			+	+	+		+		+	+		+	+	+	+	+	+	+	+		+			
Бадделейт		+			+	+				+	+	+		+	+	+	+	+	+	+	+		+		+	
Уранинит	+	+				+					+	+	+			+	+	+	+	+	+	+				
Торианит	+		+		+	+					+	+	+			+	+	+	+	+	+	+				

I	2	3	4	5	6	7	8	9	10	11	12	13	14	15	16	17	18	19	20	21	22	23	24	25	26	27
Шпинель				+	+	+		+	+	+	+				+	+			+	+			+			
Хризоберилл				+	+	+		+		+					+	+			+	+						+
Перовскит	+	+				+	+					+	+			+			+	+			+			+
Пирохлор		+								+	+				+	+	+		+	+			+			
Диаспор				+	+	+		+		+					+	+	+		+		+					+
Кварц				+	+	+		+		+					+	+	+		+	+					+	
Циркон		+	+	+	+			+	+		+	+			+	+	+		+	+			+			
Торит			+	+	+						+	+		+			+		+	+	+			+		
Зорстерит			+	+	+	+		+		+					+	+			+	+	+	+				+
Гроссуляр		+	+	+	+	+		+		+					+	+			+	+	+		+			
Сфен		+	+	+	+			+		+		+			+	+			+	+						+
Топаз			+	+	+			+							+	+			+	+					+	
Фенакит			+	+				+							+	+			+	+				+		
Берилл			+	+				+		+					+	+			+	+				+		
Кианит			+	+	+			+	+			+			+	+	+		+	+					+	
Андалузит			+	+				+		+	+				+	+			+	+					+	
Силлиманит			+	+	+			+		+					+	+			+	+					+	
Клиноцоизит			+	+	+			+		+					+	+			+	+					+	
Каламин			+	+				+							+	+			+	+					+	
Турмалин			+	+	+			+	+		+				+	+			+	+				+		
Диопсид			+	+	+			+		+					+	+	+		+	+					+	
Сподумен		+	+	+	+			+		+					+	+			+	+					+	
Волластонит			+	+	+			+				+			+	+			+	+					+	
Тремолит		+	+	+				+		+					+	+			+	+					+	
Парагонит			+	+				+		+					+	+			+	+					+	
Полевые шпаты			+	+	+			+				+			+	+			+	+					+	
Шеелит		+	+	+	+			+		+					+	+			+	+				+		+
Вульфенит		+		+	+			+		+					+	+			+	+				+		
Апатит			+	+				+	+						+	+			+	+				+		
Пироморфит		+		+	+			+		+				+	+				+	+				+		
Барит			+	+				+			+				+	+			+	+					+	
Кальцит			+	+	+			+				+			+	+			+	+					+	
Церуссит		+		+	+			+		+	+				+	+			+	+					+	
Базовисмутит			+		+			+		+	+				+	+			+	+					+	
Малахит			+	+				+		+					+	+			+	+					+	
Азурит			+	+				+						+					+	+						+
Флюорит			+	+				+	+	+	+				+				+	+			+			

Оптические свойства минералов немагнитной фракции

Свойства минералов и их градаций	Минерал	Минерал изотропный	Дву-пре-ломле-ние				Показа-тели прелом-ления			Плеохроизм заметен	Дисперсия заметна	Осность и знак				Значения показателей преломления n, n_o, n_m
			0,001-0,010	0,010-0,025	0,025-0,100	Более 0,100	Менее 1,70	1,70-1,80	Более 1,80			Одно-осный		Дву-осный		
												+	-	+	-	
I	2	3	4	5	6	7	8	9	10	11	12	13	14	15	16	
Алмаз	+							+								2,42
Сфалерит	+							+								2,37-2,43
Киноварь					+			+		+	+					2,91
Рутил					+			+	+		+					2,62
Анатаз				+				+				+				2,56
Брукит					+			+		+				+		2,58
Касситерит				+				+	+		+					2,00
Бадделеит				+				+	+	+					+	2,19
Торианит	+							+								2,20
Корунд		+						+	+			+				1,760
Шпинель	+							+								1,72-1,85
Хризоберилл			+					+	+					+		1,748
Перовскит	+	+						+						+		2,30-2,38
Пирохлор	+							+								1,90-2,15
Диаспор				+				+						+		1,720
Циркон				+				+			+					1,89-1,93
Торит	+	+	+					+			+					1,69-1,81
Форстерит				+		+				+				+		1,65-1,66
Гроссуляр	+							+								1,73-1,75
Сфен				+	+			+		+				+		1,91-1,97
Топаз		+				+								+		1,615-1,625
Кианит			+					+							+	1,720
Андалузит		+				+			+						+	1,63-1,64
Силлиманит			+			+								+		1,66-1,67
Фенаксит			+			+					+					1,654
Берилл		+				+			+			+				1,57-1,60
Турмалин			+	+		+			+				+			1,64-1,68

I	2	3	4	5	6	7	8	9	10	11	12	13	14	15	16
Клиноцоизит		+					+			+			+		1,71-1,72
Везувиян		+					+		+			+			1,71-1,74
Каламин			+			+							+		1,617
Виллемит			+			+					+				1,69-1,71
Лампрофиллит				+			+		+	+			+		1,75
Ринколит		+	+			+				+			+		1,64-1,67
Ловенит				+			+		+					+	1,75
Диопсид			+	+		+							+		1,67-1,70
Сполумен		+	+			+							+		1,66-1,67
Волластонит			+			+				+				+	1,63-1,65
Антофиллит		+	+			+			+				+		1,62-1,68
Тремолит			+			+								+	1,62-1,63
Рихтерит			+			+								+	1,61-1,62
Парагонит	+		+	+		+								+	1,60-1,61
Шеелит		+	+					+			+				1,92
Бульфенит					+			+				+			2,40
Апатит		+				+						+			1,633
Пироморфит		+						+	+			+			2,05
Барит			+			+							+		1,637
Целестин		+				+							+		1,624
Ангидрит				+		+							+		1,576
Церуссит					+			+						+	2,07
Витерит					+	+								+	1,676
Базовисмутит				+				+						+	2,30
Малахит					+	+		+	+					+	1,875
Азурит				+	+			+	+	+			+		1,758
Флюорит	+					+									1,435
Кварц		+				+					+				1,544
Микроклин		+				+				+				+	1,526
Плагиоклазы		+				+							+	+	1,53-1,58
Мусковит		+	+			+				+				+	1,58-1,61
Кальцит					+	+						+			1,658
Доломит					+	+						+			1,679

Таблицы свойств минералов (табл. I2-I5) удобно использовать для нахождения необходимых данных по конкретному минералу, но с их помощью можно вести и поиск минерала с установленным сочетанием свойств. При использовании 3-5 признаков находится чаще всего несколько минералов, которые нужно различить по дополнительным свойствам. В отличие от схем диагностики (табл. 9-II) здесь используются те признаки, которые оцениваются надежно и перечень их не предписан заранее. На полоске бумаги в соответствии с разграфкой таблиц можно отметить установленные свойства и, проводя таким шаблоном по строчкам, выбрать минералы, отвечающие установленному сочетанию свойств.

Например, в немагнитной фракции есть зерна черного цвета с сильным блеском, дающие при сравнительно легком раздавливании светло-серый порошок (следовательно, минерал просвечивает). Отметив на полоске бумаги колонки 3, 6, I3 и I5 по табл. I2, находим, что все эти свойства характерны для сфалерита, блеклых руд, рутила, бадделита и перовскита. После просмотра препарата под микроскопом устанавливаем, что у минерала высокий рельеф в жидкости с показателем преломления 1,70 и сильное двупреломление, заметное только в мелких зернах. Сочетание только этих двух признаков может быть у сфена, рутила, киновари, брукита, церуссита, вульфенита и малахита (табл. I3). Даже не останавливаясь на таких признаках, как форма зерен, изотропность ряда перечисленных минералов и их разная окраска, наличие рутила в этих двух выборках дает практически однозначный ответ.

Другой пример: в немагнитной и электромагнитной фракциях обнаружены изометричные неровных очертаний зерна светлого цвета со стеклянным или матовым блеском. Они раздавливаются легко и в препарате установлено, что они имеют низкое двупреломление. По характеру погасания видно, что это агрегат мелких зернышек. С помощью маркированной плоской бумаги по табл. I2 (колонки 4, 5, 8, I6 и 22) выделено I8 минералов с данным сочетанием свойств, а по табл. I4 - тринадцать таких минералов. Как правило, светлоокрашенные прозрачные минералы без определения кристаллооптических свойств диагностировать трудно. В исследуемых зернах и под биноклем, и под микроскопом четкой спайности не обнаружено, поэтому попавшие в перечень похожих минералов пироксены, амфиболы, карбонаты, кианит, силлиманит рассматривать дальше нет необходимости. В иммерсионном препарате с

$n_{\text{ж}}=1,700$ видно не только низкое двупреломление (серые и желтые тона первого порядка), но и близость показателей преломления (слабый рельеф, полоска Бекке в отдельных зернах движется на минерал, при вводе заслонки на ряде зерен заметны цветные объекты). Такое сочетание двух свойств по данным табл. 13 и 15 свойственно лишь 8 минералам, из которых с учетом окраски и формы выделения остаются лишь клиноцоизит и везувиан. Коноскопическую фигуру в мелких зернах не получить, но с учетом мелкозернистого сложения агрегата, характерного для вторичных минералов, диагностируем минерал как клиноцоизит. На этом примере видно, что для светлоокрашенных и прозрачных минералов цвет порошка не даст никакой дополнительной информации.

Еще один пример: в электромагнитной фракции встречены изометричные зерна черного цвета, непрозрачные; они раздавливаются с трудом и дают буро-коричневый порошок, блеск на изломе смоляной, сильный. Таких минералов немного: гематит, лиролюзит, пикроильменит, хромшпинелиды, марганит, вольфрамит. Проверяем порошок под микроскопом — зерна просвечивают (минерал непрозрачен лишь в крупных зернах), а при вводе анализатора устанавливаем, что минерал изотропен. Такое сочетание свойств характерно только для хромшпинелидов.

Вместо рассмотренного способа использования данных, приведенных в табл. 12-15, эти сведения можно вынести на перфокарты с краевой перфорацией. Такой определитель шлиховых минералов легко создать при наличии перфокарт форматов К-5 или К-6, содержащих при одинарной перфорации не менее 110 или 80 краевых отверстий, что достаточно для кодировки относительно грубой градации свойств, реально используемой в практике шлихового анализа. На кодовых картах помещается схема кодирования, а на отдельных перфокартах по краевой перфорации кодируются свойства данного минерала. Из массива выпадают карты с установленным сочетанием свойств. Варианты кодировки были рассмотрены ранее (Метод. указания, 1983).

При наличии возможностей приведенные в табл. 12-15 данные и более детальные сведения можно ввести в память ЭВМ, быстро проводящей разбраковку признаков или использовать нейромикрокомпьютеры, предназначенные для распознавания объектов исследования.

Т а б л и ц а 14

Диагностические свойства минералов электромагнитных фракций

Свойства минералов и их градации	Блеск			Прозрачность			Окраска						Цвет порошка		Твердость		Сп. л-ть		Разд-вл.		Сингония					
Минерал	Металлический	Сильн. алмазный	Слабый, стек. н.	Прозрачный	Прозвучивает	Непрозрачный	Бесцветная, бел.	Фиолет., синяя	Зеленая, желтая	Оранжев., красная	Бурая, коричнев.	Серая, черная	Черный	Окрашенный	Белый	Более 5	Менее 5	Соверш., ясная	Плохая, отсутств.	Трудно	Легко	Кубическая	Тетрагональная	Гексаг., тригон.	Ромбическая	Монокл., триклин.
I	2	3	4	5	6	7	8	9	10	11	12	13	14	15	16	17	18	19	20	21	22	23	24	25	26	27
Платина	+					+	+					+		+			+		+			+				
Осмирид	+					+	+					+		+			+		+			+				
Сфалерит		+				+				+		+		+			+		+			+			+	
Пирит окислен.	+		+			+					+	+		+			+		+			+				
Рутил			+			+					+	+		+	+			+		+			+			
Касситерит			+			+				+	+	+		+	+			+		+			+			
Пирролизит			+	+		+							+			+	+		+		+		+			
Гематит	+	+				+				+	+	+		+		+	+		+		+		+			
Ильменит						+					+	+	+			+	+		+		+			+		
Пикроильменит	+	+				+					+	+	+			+	+		+		+		+			
Алюмопинеиды			+	+		+			+	+	+	+		+	+	+	+		+			+				
Хромпинеиды	+	+				+					+	+		+	+	+	+		+			+				
Гетит			+			+				+	+	+		+		+	+		+		+				+	
Лимонит			+	+		+				+	+	+		+		+	+		+		+				+	
Манганит			+	+		+					+	+	+	+		+	+		+		+				+	
Оливин			+	+	+	+	+		+		+	+			+	+	+	+	+		+				+	
Гортонолит	+	+	+	+	+	+			+		+	+			+	+	+	+	+		+			+	+	
Циркон	+	+	+	+	+	+	+			+	+	+		+	+	+	+	+	+	+			+		+	
Либоз		+	+	+	+	+			+	+	+	+		+	+	+	+	+	+	+					+	
Альмандин	+	+	+	+	+	+				+	+	+		+	+	+	+	+	+	+		+			+	
Андрадит	+	+	+	+	+	+				+	+	+		+	+	+	+	+	+	+		+			+	

I	2	3	4	5	6	7	8	9	10	11	12	13	14	15	16	17	18	19	20	21	22	23	24	25	26	27
Титан-гранаты	+			+								+	+		+	+			+	+		+				
Уваровит	+			+	+				+					+	+	+			+	+		+				
Ставролит		+	+	+	+					+	+					+		+		+					+	
Сфен	+	+	+	+	+		+		+		+				+	+			+	+						+
Клиноцоизит		+	+	+	+		+								+	+	+		+		+					+
Эпидот		+	+	+	+				+						+	+	+		+		+					+
Ортит	+	+	+	+							+	+		+	+	+	+		+	+	+					+
Везувин		+	+				+		+		+	+			+	+		+	+		+		+			
Радиялит		+	+				+			+	+				+	+	+		+		+		+			
Турмалин(черл)		+	+	+					+		+	+			+	+			+	+	+			+	+	
Драцит		+	+				+		+	+	+				+	+			+	+			+	+		
Аксинит		+		+			+	+		+	+				+	+			+							+
Энстатит		+	+				+	+		+	+				+	+	+		+		+				+	
Диопсид		+	+				+		+		+				+	+		+			+				+	+
Аегит		+	+								+	+			+	+		+			+				+	+
Эгирин		+	+	+					+		+	+		+	+	+		+			+				+	+
Рамзаит		+	+		+						+	+		+	+	+		+			+				+	+
Антофиллит		+	+				+		+		+				+	+	+		+		+				+	+
Актинолит		+	+						+						+	+		+			+				+	+
Роговые обманки		+		+					+		+	+		+	+	+		+		+	+				+	+
Щелочные амфиболы		+	+	+			+		+		+	+		+		+	+		+		+				+	+
Биотит				+	+	+				+	+	+		+			+	+		+	+				+	+
Глауконит			+	+	+	+			+		+	+		+			+	+		+	+				+	+
Хлориты				+			+				+			+			+	+		+	+				+	+
Тирохлор		+	+		+				+		+			+	+		+	+		+	+		+		+	+
Колумбит	+	+		+	+						+	+		+		+	+		+		+				+	+
Вольфрамит	+	+		+	+					+	+	+		+		+	+		+		+				+	+
Монацит		+	+	+	+				+	+	+			+		+	+		+	+	+				+	+
Ксенотим		+	+	+			+		+		+	+			+	+			+	+	+		+			+
Людвигит		+	+		+	+			+		+	+	+				+	+		+					+	+
Сидерит			+	+	+		+		+		+	+		+	+			+		+	+			+	+	+
Родохрозит			+	+	+		+			+	+			+	+			+		+	+			+	+	+
Анкерит			+	+	+		+		+		+			+	+			+		+	+			+	+	+
Ярозит		+					+		+		+			+	+			+	+	+	+				+	+
Магнетит	+	+			+						+		+			+	+		+	+	+		+			+
Пирротин	+		+		+						+	+	+			+	+		+	+	+			+		+
Железо	+	+			+						+	+	+		+	+		+	+	+	+		+			+

Оптические свойства минералов электромагнитных фракций

Свойства минералов и их градаций	Минерал изотропный	Двуупреломление				Показатели преломления			Дисперсия заметна	Осность и знак				Значения показателей преломления n, n_o, n_m	
		С. 001-0,010	0,010-0,025	0,025-0,100	Более 0,100	Менее 1,70	1,70-1,80	Более 1,80		Одноосный		Двуосный			
										+	-	+	-		
Минералы															
I	2	3	4	5	6	7	8	9	10	11	12	13	14	15	16
Сфалерит	+							+							2,37-2,43
Рутил					+			+	+		+				2,62
Касситерит				+				+	+		+				2,00
Гематит					+			+	+			+			3,1-3,2
Пикроильменит					+			+				+			2,3-2,5
Гетит				+	+			+	+	+				+	2,1-2,4
Лимонит	+			+				+							2,0-2,4
Манганит					+			+	+	+			+		2,25
Шпинели	+							+	+						1,72-1,85
Хромылинеид	+							+							1,95-2,16
Оливин				+		+	+							+	1,67-1,72
Гортонолит				+			+	+	+					+	1,72-1,86
Циркон			+	+			+	+			+				1,70-1,92
Пироп	+							+							1,705-1,76
Альмандин	+							+	+						1,76-1,83
Анрадит	+	+						+							1,82-1,90
Титан-гранаты	+	+						+							1,90-2,00
Уваровит	+	+						+							1,82-1,88
Ставролит		+	+					+	+				+		1,74-1,75
Сфен				+	+			+	+	+				+	1,91-1,97
Клиноцоизит		+						+		+			+		1,71-1,72
Эпидот			+	+				+		+				+	1,72-1,76
Ортит		+	+			+	+		+	+				+	1,62-1,81
Везувиан		+						+	+			+			1,71-1,74
Эвдиалит	+	+				+			+		+	+			1,59-1,64

I	2	3	4	5	6	7	8	9	10	11	12	13	14	15	I6
Турмалин-шерл			+	+		+			+		+				I,65-I,69
Дравит			+			+			+		+				I,63-I,65
Аксинит		+	+			+				+				+	I,68-I,70
Энстатит		+	+			+	+		+				+		I,66-I,72
Диопсид			+			+	+		+				+		I,67-I,73
Эгирин			+	+			+		+					+	I,73-I,80
Авгит			+				+		+	+			+		I,71-I,75
Рамзаит					+			+	+	+				+	2,0I
Антофиллит		+	+			+			+				+		I,62-I,68
Актинолит		+	+			+								+	I,62-I,67
Роговые обманки			+			+	+		+	+				+	I,64-I,72
Щелочн. амфиболы		+	+			+			+					+	I,62-I,69
Биотит	+	+		+		+			+					+	I,65-I,69
Лепидомелан		+		+		+	+		+					+	I,69-I,75
Глауконит	+	+	+			+			+	+				+	I,57-I,66
Хлориты		+				+			+				+	+	I,59-I,66
Перовскит	+	+						+					+		2,30-2,38
Пироклор	+							+							I,90-2,15
Колумбит					+			+	+				+	+	2,12-2,50
Эшинит	+	+						+							2,15-2,26
Вольфрамит					+			+	+				+		2,20-2,33
Монацит				+				+	+					+	I,787-I,80
Ксенотим				+				+	+		+				I,72I
Людвигит					+			+	+	+			+		I,85-I,89
Сидерит					+	+	+	+				+			I,77-I,87
Родохрозит					+	+	+	+				+			I,80-I,82
Анкерит					+	+	+					+			I,72-I,74
Карбонаты TR				+	+	+	+				+	+			I,65-I,76
Прозит				+	+	+	+		+			+			I,78-I,82

Четвертый способ диагностики шлиховых минералов применяется в наиболее сложных ситуациях, когда выявленных свойств недостаточно для уверенной диагностики или даже не возникает версия о принадлежности к какому-либо минеральному виду. Это имеет место при проявлении нехарактерных для минерала особенностей, при необычном

сочетании свойств, при обнаружении редкого или вообще неизвестного ранее минерала. В подобных случаях главной задачей становится возможно более точное определение нескольких констант минерала, преимущественно оптических. Установив основность, оптический знак, показатели преломления, двупреломление, угол погасания, с помощью определителей минералов по оптическим свойствам (Винчелл и др., 1953; Ларсен и др., 1965; Флейшер и др., 1987) находится минерал, соответствующий установленным признакам.

Для минералов, плохо просвечивающих, непрозрачных, а также с высоким светопреломлением оптические свойства достаточно надежно установить нельзя. В такой ситуации становится неизбежным применение диагностических реакций, качественный анализ (эмиссионный спектральный, микроволновый, рентгено-флуоресцентный), рентгено-структурные исследования; диагностика минерала проводится по соответствующим определителям в зависимости от полноты полученных характеристик.

КОЛИЧЕСТВЕННЫЙ МИНЕРАЛОГИЧЕСКИЙ АНАЛИЗ ШЛИХОВ

Диагностика минералов шлиха дает его качественный состав и представление о фоновых минеральных ассоциациях. Однако в одной и той же питающей провинции видовой состав шлихов будет примерно одинаков, но количественные соотношения минералов могут существенно меняться. Для сопоставления шлихов в корреляционных целях, для выделения фоновых минеральных ассоциаций необходимо учитывать соотношения количеств минералов, их содержание в исходной пробе.

При поисково-съемочных работах и при разведке некоторых месторождений ограничиваются полуколичественным анализом с визуальной оценкой содержания фоновых минералов или с подсчетом числа зерен лишь железных ископаемых в средней пробе (Захарова, 1974; 1989; Озеров, 1959). Полный количественно-минералогический анализ шлиха дает значительно больше информации и позволяет полнее использовать данные шлихового опробования.

При количественном анализе шлихов применяют визуальную оценку содержаний, весовой метод и метод подсчета минеральных зерен. Модификации этих методов позволяют с различной надежностью и разной трудоемкостью оценить содержание в шлихе всех или лишь нескольких разных, но важных минералов.

Применение разнообразных методов разделения минералов дает возможность получать моно- или анхимоминеральные фракции. В этих целях применяется разделение минералов по плотности в разных тяжелых жидкостях, выделение узких фракций при гранулометрической и электромагнитной сепарации, флотация, электросатическое разделение, отбор отдельных минералов под бинокуляр (Берлинский, 1975; Дяхович, 1981 и др.). Выделение мономинеральных фракций - трудоемкая и не всегда результативная работа, но она позволяет достаточно точно оценить содержание минерала в шлихе или исходной пробе.

Содержание может быть рассчитано в весовых (массовых) % по отношению к тяжелой фракции в целом: $X_{\text{вес}} = 100 \cdot C/V$, где C - вес мономинеральной фракции, V - суммарный вес шлиха. При работе с искусственными шлихами (протолочками) нередко приводят абсолютные содержания в г/кг или г/т: $X_{\text{абс}} = C/P$, где C - вес мономинеральной фракции в граммах, P - вес исходной пробы в килограммах (или тоннах).

При дроблении и промывке в воде шлиховых проб имеют место потери шлиховых минералов, возрастающие с уменьшением их плотности и размеров зерен. Такие потери иногда корректируют введением поправочного коэффициента к полученным данным о содержании. Однако эти поправки компенсируют суммарные потери в зависимости от методики обогащения и разделения шлиха, но не учитывают различий в свойствах отдельных минералов. В связи с этим при обработке протолочек отбирают небольшую часть пробы (0,1-0,2 кг), которую сепарацией без предварительной промывки разделяют на фракции и определяют соотношения групп минералов; в основной пробе, обработанной по обычной схеме, уточняют количественные соотношения между отдельными минералами и проводят их детальное изучение.

Применение разнообразных методов фракционирования не всегда позволяет получать мономинеральные фракции, а отбор их под бинокуляр требует много времени. Поэтому такая методика чаще применяется при оценке содержания лишь некоторых минералов, заметно отличающихся по своим свойствам. Наиболее доступно получение мономинеральных фракций цирконя, апатита, пирита, монацита, гранатов, ильменита, гематита, биотита, пироксенов, амфиболов, магнетита. Для этих

минералов весовой метод количественного анализа применяется часто, дает хорошо сопоставимые результаты и обычен при исследовании акцессорных минералов из протолочных проб магматических пород.

Визуальная оценка содержания минералов

Ориентировочная оценка содержания минералов в шлихе проводится достаточно быстро, но не всегда дает удовлетворительные результаты. Погрешность этого метода составляет 8-10 % относительно истинного содержания и лишь при наличии специально составленных эталонов она может не превысить 5 %. Визуальную оценку содержания можно давать с использованием грубых порядковых градаций - минерала очень много, много, немного, мало и очень мало. Визуальная оценка содержания минерала дается иногда и в процентах, хотя это применимо только для каждой фракции отдельно. При разном объеме или весе соответствующих фракций в нескольких шлихах сопоставление содержания возможно только при пересчете количеств каждого минерала относительно всего шлиха в целом. Так как в любой фракции количество минерала оценивается в объемных %, а соотношение фракций в шлихе по весу, то итоговая величина - количество минерала в шлихе - получается в объемно-весовых процентах:

$$X_{\text{об-вес}} = 0,01(C_1A_1 + C_2A_2 + C_3A_3 + \dots),$$

где C - содержание минерала в объемных % относительно каждой фракции, где он присутствует; A - доля данной фракции относительно всего шлиха в весовых процентах. Схема расчета содержания одного минерала в шлихе приведена в табл. 16.

Т а б л и ц а 16

Расчет содержания минерала в шлихе при визуальной оценке

Фракция Параметры фракции	н/м	сл. в/м	ср. в/м	м/ф	Весь шлих
Вес фракции (г)	0,27	1,30	0,68	0,75	3,00
Доля фракции (вес.%)	9,0	43,3	22,7	25,0	100,0
Содержание минерала во фракции (объемн.%)	10,0	3,0	1,0	0,0	-
Содержание минерала в шлихе (объем.-вес. %)	0,9	1,3	0,23	0,0	2,43

Рассмотренная схема расчета может оказаться проще, если минерал присутствует только в одной фракции, но в любом случае такой расчет должен проводиться для каждого минерала, встречающегося в шлихе. При разделении шлиха на большое (10-12) количество фракций каждая из них имеет более простой состав, точность визуальной оценки содержания минералов в связи с этим несколько повышается, но расчеты усложняются.

В ряде производственных лабораторий содержание минералов оценивается визуально в процентах относительно каждой фракции, что проще, но без пересчета по отношению ко всему шлиху. Тогда при анализе, например, трех фракций общая сумма количества всех минералов составляет 300 %. Так как соотношение фракций в каждом шлихе разное, сравнивать по таким данным шлихи невозможно. Пересчет к 100 % по отношению ко всему шлиху проводится с учетом весовой доли каждой фракции (табл. 17).

Т а б л и ц а 17

Пересчет содержаний минералов по фракциям к 100 % в шлихе

Фракции, их доля в шлихе и оценка содержания минералов	н/м 0,35г(14,6%)		з/м 1,40г(58,3)		м/ф 0,65г(27,1%)		Весь шлих 2,40г (100%)
	об.%	объем.- вес.%	об.%	объем.- вес.%	об.%	объем.- вес.%	
Минерал							
Циркон	30	4,38	-	-	-	-	4,4
Рутил	30	4,38	3	1,75	-	-	6,1
Кизанит	40	5,84	7	4,07	-	-	9,9
Ставролит	-	-	25	14,60	4	1,08	15,7
Альмандин	-	-	30	17,50	4	1,08	18,6
Ильменит	-	-	15	8,75	10	2,71	11,4
Роговая обманка	+	+	20	11,65	2	0,54	12,2
Магнетит	-	-	-	-	90	21,65	21,7
Сумма	100	14,60	100	58,32	100	27,06	100,0

Окончательные данные в объемно-весовых процентах (правая колонка табл. 17) округляются до десятых долей или даже до целых процентов, учитывая погрешности при оценке количества минерала.

Ошибки при визуальной оценке содержания зависят от различных причин, влияние которых трудно устранить. Главные ошибки: 1) зависимость от количества минерала - разница между 5 и 10 % установ-

ливается легче, чем между 40 и 60 %; 2) зависимость от окраски минерала - из-за контрастности цвета в светлосокращенной фракции увеличивается количество черных зерен, а во фракции с преобладанием темноокрашенных минералов кажется более высоким содержание белых, желтых или розовых; 3) зависимость от размеров и формы зерен - количество более мелких по сравнению с основной массой зерен увеличивается; таблитчатые зерна занимают больше площади при том же объеме; 4) зависимость от сходства минералов по внешнему виду - индивидуальные ошибки в диагностике зерен уменьшаются по мере накопления опыта.

Визуальная оценка содержания минералов в шлихе чаще всего используется для группировки шлихов по фоновым минеральным ассоциациям при составлении шлиховых карт, а также для предварительной оценки содержания полезных минералов непосредственно в поле.

Методы точечного подсчета зерен

Подсчет какого-то числа зерен разных минералов в шлихе или по фракциям позволяет оценить их количественные соотношения, если размер зерен примерно одинаковый, а отобранная для подсчета средняя проба по своему составу аддитивна составу шлиха или фракции в целом. Метод точечного подсчета зерен имеет несколько модификаций, различающихся способом подготовки препаратов для подсчета и числом минералов, для которых дается количественная оценка.

Способ закрепленных зерен применяется чаще при литологических исследованиях и при корреляции толщ по шлам буровых скважин. Средняя проба или вся фракция закрепляется в канадском бальзаме или другом цементирующем веществе, а затем из нее готовится прозрачный петрографический шлиф. В нем уточняется диагностика и ведется подсчет числа зерен разных минералов, площадей, занятых зернами, с помощью окулярной сетки или подсчет суммарной длины отрезков прямых по профилям, пересекающим минеральные зерна, обычно с помощью интегратора.

Разновидностью этого способа является использование иммерсионного препарата, содержащего зерна похожих минералов или пробу фракции. Для оценки количественных соотношений проводится подсчет числа зерен минералов, которые различаются под микроскопом по двупреломлению, рельефу в какой-то жидкости или по появлению цветовых

дисперсионных эффектов у зерен одного из минералов в жидкости с близким показателем преломления. При смене жидкости такой эффект может быть у зерен другого минерала.

Способ узких фракций используется при оценке содержания ряда минералов - полезных компонентов (Захарова, 1974). Разделение шлиха на 10-15 фракций проводят разными способами и используют лишь те, где концентрируется исследуемый минерал. Содержание этого минерала во фракции оценивается визуально, но так как доля фракции относительно всего шлиха обычно невелика, ошибка такой оценки снижается. Подсчитывается и количество зерен этого минерала на несколько сотен всех зерен. Расчет содержания минерала проводится по схеме, которая рассмотрена в табл. 16.

Способ полей (квадратов) удобен для оценки содержания нескольких минералов, не являющихся преобладающими. Фракцию рассыпают тонким равномерным слоем на большом предметном стекле и выделяют несколько квадратов размером 5x5 или 10x10 мм в зависимости от крупности зерен. Суммарное число всех зерен в каждом квадрате находят при подсчете зерен на двух смежных или противоположных сторонах (Озеров, 1959). По всей площади использованных квадратов подсчитывается число зерен интересующего минерала, затем другого. Оценку соотношений дают как средние по нескольким квадратам.

Содержание минерала в объемных процентах находится по схеме $X_{об} = (n \cdot 100\%) / N$, где n - число подсчитанных зерен данного минерала, N - общее количество зерен на анализированной площади. При наличии минерала в нескольких фракциях используют весовую или объемную долю каждой фракции относительно шлиха. Рассмотренный способ наиболее пригоден для оценки содержания хорошо заметных и относительно редких в шлихе минералов. Подсчет зерен фоновых минералов по площади не исключает вероятность повторного учета одних и тех же зерен.

Способ подсчета зерен в дорожке применяется наиболее часто, так как он позволяет оценить количественные соотношения всех минералов шлиха (что важно при комплексных шлиховых поисках, при корреляции пород и др.), не требует особой подготовки шлиха и дает сравнительно небольшую погрешность в оценке содержаний. Суть этого способа количественного анализа заключается в подсчете суммарно по всем фракциям 1000-1200 зерен отдельно всех присутству-

ющих в шлихе минералов. В средней пробе из каждой фракции, расположенной в виде узкой дорожки, подсчитывается по 300-500 зерен, пересчет на весь шлик проводится с учетом весовой доли каждой фракции (Кухаренко, 1961).

Подсчет зерен начинают с немагнитной фракции; всю фракцию после диагностики минералов высыпают на большое предметное стекло, тщательно перемешивают, вытягивают в полоску и в случае большого объема сокращают путем поочередного смещения отрезков полоски в противоположные стороны. Одну половину укладывают в пакет, а другую снова перемешивают, располагают узкой полоской и снова сокращают вдвое. Эта операция повторяется до тех пор, пока средняя проба не предстанет в виде очень узкой полоски-дорожки длиной 6-8 см и шириной в 1-2 зерна. Если фракция крупнозернистая (диаметр зерен более 0,5 мм), общая длина 2-3 дорожек должна быть не менее 20 см.

Подсчет начинают с зерен наиболее распространенного и хорошо различного минерала. Например, фракция, в которой в сумме надо подсчитать 400-450 зерен, наполовину сложена цирконом. Тогда от начала дорожки отсчитывают 200 зерен только одного циркона, перемещая стекло с дорожкой в поле зрения бинокля; остаток дорожки больше не нужен и его можно сдвинуть в сторону. При условии, что оценка содержания фоновых минералов (циркона) сделана без больших ошибок, на участке дорожки, где уже пересчитаны его зерна, суммарно и окажется около 400 зерен всех имеющихся минералов. Следовательно, фоновый минерал используется и как масштаб для измерения необходимой длины дорожки. Неоднократно перемещая выделенный участок дорожки, поочередно подсчитывают зерна всех имеющихся минералов. Если фоновый минерал 2/3 фракции, отсчитывают 250 или 300 его зерен, а если его 1/4 - 100 или 150 зерен, принимая во внимание и долю фракции относительно шлика. Чем больше фракция, тем больше зерен в ней необходимо подсчитать для сохранения точности оценки.

Допустим, в немагнитной фракции резко преобладает апатит - отсчитываем 350 его зерен, на этом же отрезке дорожки находим 28 зерен пирита, 35 - тремолита, 12 - циркона, 9 зерен сфена, 7 - лейкоксена и не обнаруживаем здесь ни одного кристалла пироксена, хотя этот минерал и был диагностирован при изучении фракции. Его количество столь незначительно (редкие или единичные зерна), что оценить эту величину невозможно при данном объеме анализируемой

средней пробы (дорожки). Всего подсчитано в дорожке 44I зерно; результаты анализа отражают количественные соотношения минералов во фракции по объему (числу) зерен, а сама фракция составляет по весу от массы всего шлиха 31,5 %. Следовательно, подсчитанные зерна являются „полноочными" представителями данной фракции в шлихе и на одно учтенное зерно приходится $31,5 / 44I = 0,0714$ объемно-весовых процента относительно шлиха. Весь расчет приводят в рабочей таблице количественного анализа шлиха (табл. 18).

Аналогично, начиная с какого-либо фонового минерала, ведется подсчет зерен и в электромагнитной фракции. Если встречаются зерна внешне похожих минералов, первоначально их можно подсчитать совместно, а затем пересчитать зерна одного минерала и по разности найти количество второго. Разбраковка таких пар минералов как барит и сфен, сфен и шеслит, хромит и ильменит, монацит и ставродит и др. с подсчетом числа зерен одного из них или обоих может проводиться под бинокляром, в иммерсионных препаратах под микроскопом или в части фракции, изученной с применением качественных реакций.

После пересчета зерен фонового минерала на том же отрезке дорожки учитывают число зерен каждого изученного минерала, перемещая среднюю пробу в поле зрения бинокляра. Иногда зерна минерала поворачивают для обнаружения спайности или проверки тона окраски; тогда их можно отодвинуть от дорожки и пересчитать. Нет никакой необходимости сначала отсчитывать сотни зерен, а затем вести пересчет для каждого минерала, такая двойная работа излишняя.

Труднее вести такой подсчет в магнитной фракции, так как зерна ферромагнетиков агрегируют, притягиваются друг к другу и при разделении захватывают чужеродные зерна. В средней пробе магнитной фракции дорожка получается широкой и подсчет нередко приходится вести десятками зерен. Так как сама фракция составляет иногда лишь незначительную часть шлиха, возникающая в результате приближенного подсчета ошибка не выходит за приемлемые пределы. Чем чище магнитная фракция, тем проще вести подсчет, а в мономинеральной она и не требуется.

При наличии сростаний минералов или псевдоморфоз их можно подсчитать отдельно, обязательно характеризуя их при описании минералов шлиха. Попадающие в дорожки нешлиховые минералы и разные загрязнения (кварц, полевые шпаты, железная стружка и т.п.) также

подсчитываются. - фракции взвешивались с ними. Встречающиеся в дорожках для подсчета зерна шлиховых минералов из других фракций также учитываются.

Таким образом, в каждой фракции количественные соотношения минералов оцениваются по числу зерен, то есть по объему, а доля каждой фракции определяется по весу. Для этого число подсчитанных в каждой фракции зерен приравнивается доле фракции по весу и итоговая оценка количества минерала получается в объемно-весовых процентах относительно шлиха. Пример расчета состава шлиха дан в табл. 18. Сначала в ней заполняются, как правило, колонки с указанием числа подсчитанных зерен, а затем проводится окончательный пересчет; используются лишь итоговые результаты.

Т а б л и ц а 18

Схема расчета содержания минералов в шлихе

Фракции и их доля в шлихе	н/м		а/м		м/ф		Весь шлик	
	0,85г(27,4%)		1,48г(47,8%)		0,77г(24,8%)		3,10г(100,0%)	
Минерал	Число подсчитанных зерен и их содержание в шлихе в объемно-весовых %						Всего	Без примес.
Рутил	200	13,94	20	1,82	-	-	15,76	16,4
Циркон	46	3,21	-	-	-	-	3,21	3,4
Турмалин	8	0,56	8	0,73	-	-	1,29	1,3
Кианит	112	7,81	3	0,27	5	0,50	8,58	9,0
Силлиманит	Р.з.	Р.з.	-	-	-	-	Р.з.	Р.з.
(Кварц)	27	1,88	-	-	23	2,88	4,16	-
Альмандин	-	-	300	27,26	4	0,40	27,66	28,9
Амфиболы	-	-	88	8,00	-	-	8,00	8,3
Ставролит	-	-	67	6,09	3	0,30	6,39	6,7
Ильменит	-	-	40	3,63	15	1,49	5,12	5,3
Магнетит	-	-	-	-	200	19,84	19,84	20,7
Сумма	393	27,40	526	47,80	250	24,81	100,0	100,0

Количество минерала в данной фракции находится по схеме $X = n \cdot A/N$, где n - число подсчитанных зерен данного минерала, N - суммарное число подсчитанных во фракции зерен, A - доля фракции в шлихе (весовые %). Величина A/N постоянная для всех минералов данной фракции; чем эти величины по фракциям ближе друг к другу, тем более равномерно и распределение возможных ошибок. По данным табл. 18, в частности, ошибка при подсчете в одно зерно в

в немагнитной фракции приводит к ошибке в 0,07 %, а в электромагнитной - в 0,09 % ($27,40:393=0,0697$ и $47,80:526=0,09087$ соответственно). Для сохранения одинаковой надежности оценки по разновеликим фракциям при общем числе зерен 1000-1200 в большей по весу фракции желательно подсчитывать больше зерен (до 500-700).

Зерна лещиловых минералов или загрязнения, приобретенные при обработке шлиха, при подсчете дорожки также учитываются. Однако их количество в каждом шлихе может быть разное, иногда значительное, что затрудняет сравнение серии проб. Поэтому окончательные данные приводятся к 100 % без примесей (см. табл. 18) по схеме $X_{ист} = X_{выч} \cdot 100\% / (100 - \text{примеси})$. В рассмотренном примере данные правой колонки получены путем деления построчных цифр на 95,84 (сумма содержаний минералов без кварца). Таким же способом можно пересчитать состав шлиха, если в нем содержатся аутигенные минералы, маскирующие количественные соотношения первичных обломочных зерен в серии шлихов.

Так как количество подсчитанных зерен и весовые доли фракций в шлихе, как правило, различны, то присутствие минерала в другой фракции даже в виде немногих зерен может существенно повлиять на суммарное содержание его в шлихе. Турмалин, например (см. табл. 18), встречен в двух фракциях, но доля его в электромагнитной фракции больше за счет массы самой фракции. Характер распределения одного и того же минерала по разным фракциям несет свою информацию - о переменности состава минерала, о наличии ферромагнитных включений, о степени изменения минерала при образовании псевдоморфоз и т.д.

Ошибки в оценке содержания минерала при количественном анализе рассматриваемым способом зависят от представительности средней пробы (дорожки), от равномерности зернистости фракции, от содержания минерала, количества подсчитанных зерен и правильности диагностики в процессе подсчета. Ошибки, обусловленные неаддитивностью, средней пробы, уменьшаются при ее тщательном отборе. Методические ошибки увеличиваются, если зерна разных минералов имеют различный размер (объем). В подобной ситуации крупные зерна можно считать за 2-3 стандартных, медианных зерна, а мелкие - по 2-4 за одно средних размеров. В ответственных случаях подсчет следует проводить по отдельным гранулометрическим фракциям после их взвешивания с сохранением примерно того же суммарного числа подсчитанных зерен.

При альтернативном распределении (содержание изучаемого минерала и количество остальных) среднее квадратическое отклонение будет иметь максимальное значение при 50%-ном содержании минерала и закономерно уменьшается при увеличении и уменьшении его количества. Если абсолютную вероятную ошибку в оценке принять за 1 % (вероятность такой ошибки - в 2/3 случаев), то для достижения этого уровня при содержании минерала в 50 % необходимо подсчитать в шлихе 1111 зерен (1000-1200). Следует учесть, что при подсчете в каждой из трех обычных фракций по 350-400 зерен вероятная ошибка будет уменьшаться с изменением количества минерала (до 0,6 % при содержании в 90 и 10 %; до 0,2 - в 99 и 1 %).

Учет доли фракций при распределении нужного числа подсчитываемых зерен выравнивает вероятную ошибку по частям шлиха. При разделении на большое число фракций в каждой из них количество подсчитываемых зерен может быть уменьшено при сохранении общей суммы. При подсчете в целом по шлиху лишь 500 зерен вероятная ошибка увеличивается до 1,5 %, а при 300 - до 2 %.

Переход от объемно-весовых к весовым процентам осуществляется с учетом числа зерен минерала, их среднего объема и плотности. Если фракция сложена минералами с близкой плотностью, то содержания, выраженные в разных процентах, сближаются. В подобных случаях возможен упрощенный переход к содержанию минерала в исходной породе, если известен выход тяжелой фракции и нет больших потерь в процессе обработки шлиха: $T = (X \cdot M) / 100$, где T - содержание минерала в породе в тех же единицах, что и выход тяжелой фракции (M , чаще в г/кг), X - содержание минерала в шлихе (объемно-весовые %). Иногда вводят поправочный коэффициент $смнв$ (в среднем 1,5 - 2,0), который различается для разных минералов.

Итогом количественного анализа минерального состава шлиха является сводная таблица, в которой приведены данные о содержании каждого минерала по всем шлихам (пересчет без примесей) и сведения о выходе тяжелой фракции. К таблице прилагается описание минералов, что важно при интерпретации результатов шлихового опробования.

ЛИТЕРАТУРА

- Бергер Г.С., Ефимов И.А. Методы выделения мономинеральных фракций. М., 1963.
- Берлинский А.И. Разделение минералов. М., 1975.
- Винчелл А.Н., Винчелл Г. Оптическая минералогия. М., 1953.
- Захарова Е.М. Шлиховые поиски и анализ шлихов. М., 1974.
- Захарова Е.М. Шлиховой метод поисков полезных ископаемых. М., 1989.
- Ильинский Г.А. Определение плотности минералов. Л., 1975.
- Колченова Е.В. Минералогический анализ шлихов и рудных концентратов. М., 1979.
- Кухаренко А.А. Минералогия россыпей. М., 1961.
- Ларсен Е., Берман Г. Определение прозрачных минералов под микроскопом. М., 1965.
- Ляхович В.В. Акцессорные минералы горных пород. М., 1979.
- Ляхович В.В. Методы сепарации акцессорных минералов. М., 1981.
- Методические указания по минералогическому анализу шлихов /Сост. Г.А.Ильинский. Л., 1983.
- Методические указания по диагностике шлиховых минералов /Сост. Г.А.Ильинский. Л., 1983.
- Методические указания по интерпретации результатов шлихового опробования /Сост. Г.А.Ильинский. Л., 1986.
- Озеров Н.М. Шлиховая съемка и анализ шлихов. Л., 1959.
- Осовецкий Б.М. Шлиховой метод (современное состояние и перспективы). Пермь, 1985.
- Родыгина В.Г. Введение в шлиховой метод. Томск, 1985.
- Сахарова И.С., Черкасов Ю.А. Иммерсионный метод минералогических исследований. М., 1970.
- Татарский В.Б. Кристаллооптика и иммерсионный метод. М., 1965.
- Трёгер В.Е. Оптическое определение породобразующих минералов. М., 1968.
- Флейшер М., Уилкокс Р., Матцко Дж. Микроскопическое определение прозрачных минералов. Л., 1987.

С о д е р ж а н и е

Предисловие	I
ЛАБОРАТОРНАЯ ОБРАБОТКА ШЛИХОВЫХ ПРОБ	2
Подготовка шлиха к фракционированию	3
Фракционирование в тяжелых жидкостях	4
Магнитная и электромагнитная сепарация	6
ДИАГНОСТИЧЕСКИЕ СВОЙСТВА ШЛИХОВЫХ МИНЕРАЛОВ	10
Визуальная оценка свойств минерала	-
Изучение механических свойств минерала	12
Определение свойств минералов под микроскопом	14
Люминесценция минералов	19
Диагностические реакции	21
МИНЕРАЛЫ НЕМАГНИТНОЙ ФРАКЦИИ	24
Простые вещества и сульфиды	-
Оксиды, гидроксиды	29
Силикаты	36
Фосфаты, сульфаты, карбонаты, фториды	42
МИНЕРАЛЫ ЭЛЕКТРОМАГНИТНЫХ ФРАКЦИЙ	46
Металлы, оксиды и гидроксиды	-
Силикаты	51
Фосфаты, вольфраматы, карбонаты	63
МИНЕРАЛЫ МАГНИТНОЙ ФРАКЦИИ	68
МЕТОДЫ ДИАГНОСТИКИ ШЛИХОВЫХ МИНЕРАЛОВ	70
КОЛИЧЕСТВЕННЫЙ МИНЕРАЛОГИЧЕСКИЙ АНАЛИЗ ШЛИХОВ	88
Весовые методы количественного анализа	89
Визуальная оценка содержания минералов	90
Методы точечного подсчета зерен	92
ЛИТЕРАТУРА	99